

## S.S. 389 TRONCO VILLANOVA – LANUSEI – TORTOLI LOTTO BIVIO VILLAGRANDE – SVINCOLO DI ARZANA DAL Km 51+100,00 DELLA S.S. 389 VAR AL Km 177+930,00 DELLA S.S. 389

**PROGETTO DEFINITIVO**

COD. CA22

PROGETTAZIONE: ANAS – DIREZIONE PROGETTAZIONE E REALIZZAZIONE LAVORI

**PROGETTISTA E RESPONSABILE INTEGRATORE PRESTAZIONI SPECIALISTICHE**

Ing. M. RASIMELLI  
Ordine Ingegneri Provincia di Perugia n. A632

**GRUPPO DI PROGETTAZIONE**

Ing. D. BONADIES  
Ing. P. LOSPENNATO  
Ing. S. PELLEGRINI  
Ing. A. POLLI  
Ing. M. MARELLI  
Ing. A. LUCIA

Ing. M. PROCACCI  
Ing. R. CERQUIGLINI  
Ing. M. CARAFFINI  
Geom. M. BINAGLIA

**IL RESPONSABILE DEL S.I.A.**

Arch. E. RASIMELLI

**IL GEOLOGO**

Dott. S. PIAZZOLI

**COORDINATORE PER LA SICUREZZA IN FASE DI PROGETTAZIONE**

Ing. L. IOVINE

**VISTO: IL RESP. DEL PROCEDIMENTO**

Ing. F. RUGGIERI

PROTOCOLLO

DATA:

**IL GRUPPO DI PROGETTAZIONE:**



MANDATARIA



**PINI SWISS ENGINEERS SA**  
Via Besso 7 - 6900 Lugano - Svizzera

MANDANTE



**PINI SWISS ENGINEERS Srl**  
Via Cavour 2 - 22074 Lomazzo (CO) - Italia

MANDANTE

## OPERE D'ARTE MAGGIORI Opere d'arte maggiori – Viadotto VI02 Relazione di calcolo impalcato

CODICE PROGETTO

PROGETTO

LIV. PROG.

N. PROG.

D P C A 2 2    D    2 0 0 2

NOME FILE

T00\_VI02\_STR\_RE01\_A

CODICE ELAB.

T 0 0    V I 0 2    S T R    R E 0 1

REVISIONE

PAG.

A

1 di 122

D					
C					
B					
A	PRIMA EMISSIONE	AGOSTO 2020	MARELLI	POLLI	RASIMELLI
REV.	DESCRIZIONE	DATA	REDATTO	VERIFICATO	APPROVATO

<p>ANAS S.p.A.  S.S. 389 TRONCO VILLANOVA – LANUSEI – TORTOLI  LOTTO BIVIO VILLAGRANDE – SVINCOLO DI ARZANA  DAL Km 51+100,00 DELLA S.S. 389 VAR AL Km 177+930,00 DELLA S.S. 389  <b>Viadotto VI02 - Relazione di calcolo impalcato</b></p>	<p>File: T00_VI02_STR_RE01_A  Data: Agosto 2020  Pag. 1 di 122</p>
---	--

**INDICE**

**1. PREMESSA.....3**

**2. RIFERIMENTI NORMATIVI.....5**

**3. CARATTERISTICHE DEI MATERIALI.....6**

**3.1 CONGLOMERATI CEMENTIZI ..... 6**

**3.2 ACCIAIO AD ADERENZA MIGLIORATA ..... 7**

**3.3 ACCIAIO DA CARPENTERIA..... 7**

**3.4 CONTROVENTI ..... 8**

**3.5 BULLONI AD ALTA RESISTENZA..... 8**

        3.5.1 Coppia di Serraggio dei Bulloni ..... 9

**3.6 PIOLI CON TESTA TIPO “NELSON” ..... 9**

**3.7 SALDATURE ..... 10**

**4. CRITERI DI CALCOLO ..... 11**

**4.1 CODICI DI CALCOLO ..... 11**

**4.2 METODOLOGIA DI ANALISI ..... 11**

        4.2.2 Statica trasversale ..... 13

**5. CRITERI DI VERIFICA ..... 14**

**5.1 PREMESSA ..... 14**

**5.2 VERIFICHE CONSIDERATE ..... 14**

        5.2.1 Verifiche agli SLU ..... 14

        5.2.2 Verifiche agli SLE ..... 14

        5.2.3 Verifiche allo SLF ..... 14

**5.3 PROPRIETÀ DELLE SEZIONI RESISTENTI..... 15**

**5.4 AZIONI AGENTI – ANALISI DEI CARICHI ..... 17**

        5.4.1 Pesoproprio ..... 18

        5.4.2 Sovraccarichi permanenti ..... 18

        5.4.3 Ritiro ..... 19

        5.4.4 Variazioni termiche differenziali ..... 21

        5.4.5 Vento ..... 22

        5.4.6 Carichi variabili da traffico ..... 24

        5.4.7 Carichi variabili da traffico pesante per analisi della fatica ..... 27

        5.4.8 Azione longitudinale di frenamento ..... 27

        5.4.9 Azione centrifuga ..... 28

<p>ANAS S.p.A.  S.S. 389 TRONCO VILLANOVA – LANUSEI – TORTOLÌ  LOTTO BIVIO VILLAGRANDE – SVINCOLO DI ARZANA  DAL Km 51+100,00 DELLA S.S. 389 VAR AL Km 177+930,00 DELLA S.S. 389  <b>Viadotto VI02 - Relazione di calcolo impalcato</b></p>	<p>File: T00_VI02_STR_RE01_A  Data: Agosto 2020  Pag. 2 di 122</p>
---	--

5.4.10	Azione sismica.....	28
5.4.11	Resistenze passive dei vincoli.....	29
<b>5.5</b>	<b>COMBINAZIONI DEI CARICHI .....</b>	<b>29</b>
<b>6.</b>	<b>ANALISI E VERIFICHE SLU .....</b>	<b>32</b>
6.1	VERIFICHE DI RESISTENZA AGLI SLU.....	32
6.2	CONNESSIONE SOLETTA-TRAVI - RESISTENZA PIOLI TIPO “NELSON” .....	33
6.3	COMBINAZIONI DI CARICO.....	34
6.4	ANALISI MODALE .....	34
6.5	VERIFICA DELL'IMPALCATO ACCIAIO-CLS .....	37
6.5.1	Sollecitazioni - SLU.....	37
6.5.2	Risultati dell'analisi.....	40
6.5.3	Pioli .....	42
<b>7.</b>	<b>ANALISI E VERIFICHE IN ESERCIZIO .....</b>	<b>45</b>
7.1	VERIFICHE “A RESPIRO” DELLE ANIME .....	45
7.2	VERIFICHE DI RESISTENZA PER LO STATO LIMITE DI FATICA .....	45
7.2.1	Risultati – SLF .....	51
7.3	ABBASSAMENTI .....	55
<b>8.</b>	<b>VERIFICA ELEMENTI SECONDARI.....</b>	<b>57</b>
8.1	TRAVERSI.....	57
8.1.1	Verifica SLU-SLV.....	57
8.1.2	Giunto flangiato H=1200 .....	64
8.1.3	Giunto flangiato H=1600 .....	69
8.2	CONTROVENTI A K.....	75
8.2.1	Verifica SLU-SLV.....	75
8.3	CONTROVENTI DI FALDA .....	76
8.4	SOLETTA .....	78
8.4.1	Analisi dei carichi .....	79
8.4.2	Urto di veicolo in svio.....	92
8.5	VERIFICA PREDALLE IN FASE DI GETTO .....	98
8.6	APPOGGI E GIUNTI.....	103
<b>9.</b>	<b>GIUDIZIO MOTIVATO DI ACCETTABILITÀ.....</b>	<b>121</b>



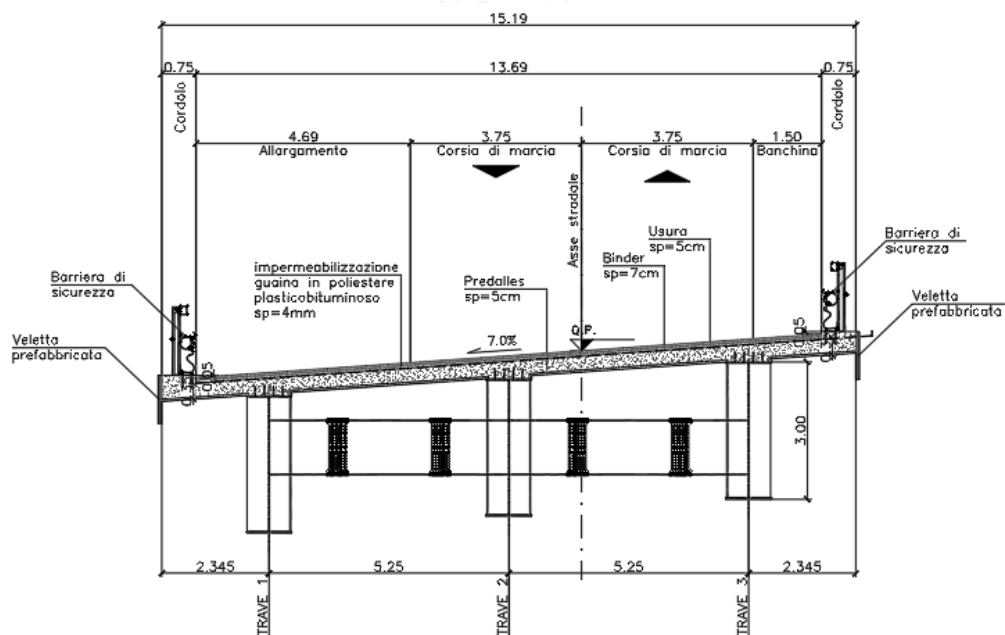


Figura 1.2 - Sezione trasversale dell'impalcato – campata 45m

L'impalcato ha una larghezza complessiva variabile tra 15.19 e 16.29m, così suddivisa:

- due corsie di marcia da 3,75 m, due banchine da 1,50 m ed allargamento da 3.19-4.29 m che costituiscono la sede stradale;
- un cordolo da 0,75 m per l'alloggiamento della barriera di sicurezza;

Le travi metalliche sono ad altezza variabile con valore pari a 4,0 e 3,0 m. Le travi sono collegate da traversi posizionati ad interasse costante di circa 5,0 m. L'interasse tra le travi è pari a 5,25 m. Gli sbalzi laterali hanno lunghezza variabile di 2.35-2.89 m.

La soletta ha spessore costante di 35cm e verrà gettata su predalles autoportanti aventi spessore di 5 cm. La solidarizzazione della soletta alla trave metallica sarà garantita tramite connettori a piolo tipo Nelson.

<p>ANAS S.p.A. S.S. 389 TRONCO VILLANOVA – LANUSEI – TORTOLI LOTTO BIVIO VILLAGRANDE – SVINCOLO DI ARZANA DAL Km 51+100,00 DELLA S.S. 389 VAR AL Km 177+930,00 DELLA S.S. 389 <b>Viadotto VI02 - Relazione di calcolo impalcato</b></p>	<p>File: T00_VI02_STR_RE01_A Data: Agosto 2020 Pag. 5 di 122</p>
---	--

## 2. RIFERIMENTI NORMATIVI

Le analisi delle azioni e le verifiche di sicurezza sono state condotte facendo riferimento alle seguenti normative:

- *D.M. 17/01/2018* “Norme Tecniche per le Costruzioni”;
- *Circ. Min. Infrastrutture e Trasporti 21/01/2019, n. 7* “Istruzioni per l’applicazione delle «Norme tecniche per le costruzioni» di cui al decreto ministeriale 17 gennaio 2018”;
- *EN 1991-1-4:2005 Parte 1-4*: Azioni del vento;
- *EN 1993-1-5:2007 Parte 1-5*: Elementi strutturali a lastra;
- *EN 1993-2:2007 Parte 2*: Ponti di acciaio;
- *EN 1994-2:2006 Parte 2*: Regole generali e regole per i ponti;
- *UNI EN 206-1:2006 Parte 1*: Calcestruzzo-Specificazione, prestazione, produzione e conformità;
- *UNI 11104: 2004*: Calcestruzzo-Specificazione, prestazione, produzione e conformità – istruzioni complementari per l’applicazione della. EN 206-1.

### 3.CARATTERISTICHE DEI MATERIALI

#### 3.1 Conglomerati cementizi

**SOLETTE:**

- Classe di resistenza ..... C32/40
- Classe di esposizione ..... XC4

<b>Classe di resistenza:</b>	<b>C32/40</b>	
Resistenza a compressione cubica caratteristica	$R_{ck} =$	40 N/mm <sup>2</sup>
Resistenza a compressione cilindrica caratteristica	$f_{ck} =$	33.2 N/mm <sup>2</sup>
Resistenza a compressione cilindrica media	$f_{cm} =$	41.2 N/mm <sup>2</sup>
Resistenza a trazione semplice	$f_{ctm} =$	3.10 N/mm <sup>2</sup>
Resistenza a trazione per flessione	$f_{ctm} =$	3.72 N/mm <sup>2</sup>
Modulo elastico secante medio	$E_{cm} =$	33643 N/mm <sup>2</sup>
Resistenza caratteristica a trazione semplice (5%)	$f_{ctk} =$	2.17 N/mm <sup>2</sup>
Resistenza caratteristica a trazione semplice (95%)	$f_{ctk} =$	4.03 N/mm <sup>2</sup>
<i>Coefficiente di sicurezza SLU:</i>	$\gamma_c =$	1.5
Resistenza di calcolo a compressione cilindrica SLU:	$f_{cd} =$	18.8 N/mm <sup>2</sup>
Resistenza di calcolo a trazione semplice (5%) - SLU:	$f_{ctd} =$	1.45 N/mm <sup>2</sup>

**CORDOLI E VELETTE:**

- Classe di resistenza ..... C32/40
- Classe di esposizione ..... XC4

<b>Classe di resistenza:</b>	<b>C32/40</b>	
Resistenza a compressione cubica caratteristica	$R_{ck} =$	40 N/mm <sup>2</sup>
Resistenza a compressione cilindrica caratteristica	$f_{ck} =$	33.2 N/mm <sup>2</sup>
Resistenza a compressione cilindrica media	$f_{cm} =$	41.2 N/mm <sup>2</sup>
Resistenza a trazione semplice	$f_{ctm} =$	3.10 N/mm <sup>2</sup>
Resistenza a trazione per flessione	$f_{ctm} =$	3.72 N/mm <sup>2</sup>
Modulo elastico secante medio	$E_{cm} =$	33643 N/mm <sup>2</sup>
Resistenza caratteristica a trazione semplice (5%)	$f_{ctk} =$	2.17 N/mm <sup>2</sup>
Resistenza caratteristica a trazione semplice (95%)	$f_{ctk} =$	4.03 N/mm <sup>2</sup>
<i>Coefficiente di sicurezza SLU:</i>	$\gamma_c =$	1.5
Resistenza di calcolo a compressione cilindrica SLU:	$f_{cd} =$	18.8 N/mm <sup>2</sup>
Resistenza di calcolo a trazione semplice (5%) - SLU:	$f_{ctd} =$	1.45 N/mm <sup>2</sup>

**PREDALLES:**

- Classe di resistenza ..... C40/50
- Classe di esposizione ..... XC4

<p>ANAS S.p.A.  S.S. 389 TRONCO VILLANOVA – LANUSEI – TORTOLI  LOTTO BIVIO VILLAGRANDE – SVINCOLO DI ARZANA  DAL Km 51+100,00 DELLA S.S. 389 VAR AL Km 177+930,00 DELLA S.S. 389  <b>Viadotto VI02 - Relazione di calcolo impalcato</b></p>	<p>File: T00_VI02_STR_RE01_A  Data: Agosto 2020  Pag. 7 di 122</p>
---	--

**Classe di resistenza:**

**C40/50**

Resistenza a compressione cubica caratteristica	$R_{ck} =$	50	N/mm <sup>2</sup>
Resistenza a compressione cilindrica caratteristica	$f_{ck} =$	41.5	N/mm <sup>2</sup>
Resistenza a compressione cilindrica media	$f_{cm} =$	49.5	N/mm <sup>2</sup>
Resistenza a trazione semplice	$f_{ctm} =$	3.60	N/mm <sup>2</sup>
Resistenza a trazione per flessione	$f_{ctm} =$	4.32	N/mm <sup>2</sup>
Modulo elastico secante medio	$E_{cm} =$	35547	N/mm <sup>2</sup>
Resistenza caratteristica a trazione semplice (5%)	$f_{ctk} =$	2.52	N/mm <sup>2</sup>
Resistenza caratteristica a trazione semplice (95%)	$f_{ctk} =$	4.67	N/mm <sup>2</sup>
<i>Coefficiente di sicurezza SLU:</i>	$\gamma_c =$	1.5	
Resistenza di calcolo a compressione cilindrica SLU:	$f_{cd} =$	23.5	N/mm <sup>2</sup>
Resistenza di calcolo a trazione semplice (5%) - SLU:	$f_{ctd} =$	1.68	N/mm <sup>2</sup>

**VALORI MINIMI DEL COPRIFERRO PER LE ARMATURE**

- Predalle ..... 35 mm
- Solette ..... 40 mm
- Marciapiedi e cordoli..... 40 mm

**3.2 Acciaio ad aderenza migliorata**

Le armature da porre in opera non dovranno presentare tracce di ossidazione, corrosione e di qualsiasi altra sostanza che possa ridurne l'aderenza al conglomerato; dovranno inoltre presentare sezione integra e priva di qualsiasi difetto.

Si utilizzeranno barre ad aderenza migliorata tipo **B 450 C** controllato in stabilimento conforme alle **UNI EN ISO 15360-1:2004** (accertamento proprietà meccaniche), aventi le seguenti caratteristiche:

- tensione caratteristica di snervamento  $f_{sk} \geq f_{y,nom} = 450$  MPa
- tensione caratteristica di rottura  $f_{tk} \geq f_{t,nom} 540$  MPa
- allungamento percentuale  $A_{gt,k} \geq 7,5$  %
- modulo elastico  $E_s = 210.000$  MPa

**3.3 Acciaio da carpenteria**

La carpenteria metallica sarà realizzata in acciaio tipo "COR TEN"

- tipo **S355J2W+N - UNI EN 10025-5** per spessori  $\leq 40$  mm.
- tipo **S355K2W+N - UNI EN 10025-5** per spessori  $> 40$  mm.

Entrambi gli acciai devono essere conformi alle prescrizioni del D.M. 17.1.2018 e presentare le seguenti caratteristiche:

- tensione di rottura a trazione  $f_t \geq 510$  MPa



<p>ANAS S.p.A.</p> <p>S.S. 389 TRONCO VILLANOVA – LANUSEI – TORTOLI</p> <p>LOTTO BIVIO VILLAGRANDE – SVINCOLO DI ARZANA</p> <p>DAL Km 51+100,00 DELLA S.S. 389 VAR AL Km 177+930,00 DELLA S.S. 389</p> <p><b>Viadotto VI02 - Relazione di calcolo impalcato</b></p>	<p>File: T00_VI02_STR_RE01_A</p> <p>Data: Agosto 2020</p> <p>Pag. 8 di 122</p>
---	--

- tensione di snervamento  $f_y \geq 355$  MPa
- allungamento (lamiera)  $\epsilon_t \geq 21\%$
- modulo elastico  $E_a = 210.000$  MPa

Classe di esecuzione **EXC3** secondo UNI EN 1090-2:

Table C.1 - Choice of execution class (EXC)		
Reliability Class (RC) or Consequences Class (CC)	Type of loading	
	Static, quasi-static or seismic DCL <sup>a</sup>	Fatigue <sup>b</sup> or seismic DCM or DCH <sup>a</sup>
RC3 or CC3	EXC3 <sup>c</sup>	EXC3 <sup>c</sup>
RC2 or CC2	EXC2	EXC3
RC1 or CC1	EXC1	EXC2

<sup>a</sup> Seismic ductility classes are defined in EN 1998-1: Low=DCL; Medium=DCM; High=DCH.  
<sup>b</sup> See EN 1993-1-9.  
<sup>c</sup> EXC4 may be specify for structures with extreme consequences of structural failure.

Tutte le giunzioni per l'assemblaggio dei conci delle travi portanti, sia quelle da eseguire in officina che quelle in cantiere, saranno di tipo saldato a completa penetrazione.

I traversi intermedi di pila e di spalla saranno collegati alle travi principali attraverso giunzioni bullonate ad attrito.

### 3.4 Controventi

Le aste del controvento orizzontale ed i relativi elementi di collegamento saranno realizzati in acciaio tipo **S355J0W+N - UNI EN 10025-5**, conforme alle prescrizioni del D.M. 17.1.2018, ovvero con le seguenti caratteristiche:

- tensione di rottura a trazione  $f_t \geq 510$  MPa
- tensione di snervamento  $f_y \geq 355$  MPa
- allungamento (lamiera)  $\epsilon_t \geq 21\%$
- modulo elastico  $E_a = 210.000$  MPa

### 3.5 Bulloni ad alta resistenza

Le giunzioni bullonate saranno realizzate con bulloni ad alta resistenza per giunzioni ad attrito conformi alle specifiche contenute nelle UNI EN 14399:

- vite classe 10.9
- dado classe 10
- rosette classe C50

I bulloni dovranno essere montati con una rosetta sotto la testa della vite e una rosetta sotto il dado, inoltre dovranno essere contrassegnati con le indicazioni del produttore, la classe di resistenza e la marcatura C.E.

I bulloni disposti verticalmente avranno la testa della vite rivolta verso l'alto e il dado verso il basso.

<p>ANAS S.p.A.</p> <p>S.S. 389 TRONCO VILLANOVA – LANUSEI – TORTOLI</p> <p>LOTTO BIVIO VILLAGRANDE – SVINCOLO DI ARZANA</p> <p>DAL Km 51+100,00 DELLA S.S. 389 VAR AL Km 177+930,00 DELLA S.S. 389</p> <p><b>Viadotto VI02 - Relazione di calcolo impalcato</b></p>	<p>File: T00_VI02_STR_RE01_A</p> <p>Data: Agosto 2020</p> <p>Pag. 9 di 122</p>
---	--

### 3.5.1 Coppia di Serraggio dei Bulloni

I bulloni ad alta resistenza della classe 10.9, precaricati con serraggio controllato, per giunzioni ad attrito devono essere conformi alla norma armonizzata UNI EN 13499-1 e recare la marchiatura CE. Al p.to 4.3 la norma armonizzata UNI EN 13499-1 prescrive che viti, dadi e rondelle siano forniti dal medesimo produttore.

La coppia di serraggio per i bulloni delle giunzioni ad attrito è quella indicata sulle targhette confezioni dei bulloni.

Nel caso che la coppia di serraggio non sia riportata sulle targhette delle confezioni, ma compaia il solo fattore k secondo la classe funzionale, la coppia di serraggio è pari a:

$$M = k \cdot d \cdot F_{p,C} = k \cdot d \cdot 0,7 \cdot A_{res} \cdot f_{tb}$$

dove:

- d è il diametro nominale della vite;
- $A_{res}$  è l'area resistente della vite;
- $f_{tb}$  è la resistenza a ultima a trazione del bullone.

Nella tabella seguente, riportata al p.to C4.2.8.1.1.1 delle Istruzioni per l' applicazione delle NTC 2018 (Circolare n. 7 /19) , sono contenuti i valori della coppia di serraggio al variare del valore di k per diversi diametri dei bulloni.

Tabella C4.2.XXI Coppie di serraggio per bulloni 10.9

Viti 10.9 – Momento di serraggio M [N m]									
VITE	k=0.10	k=0.12	k=0.14	k=0.16	k=0.18	k=0.20	k=0.22	$F_{p,C}$ [kN]	$A_{res}$ [mm <sup>2</sup> ]
M12	70.8	85.0	99.1	113	128	142	156	59.0	84.3
M14	113	135	158	180	203	225	248	80.5	115
M16	176	211	246	281	317	352	387	110	157
M18	242	290	339	387	435	484	532	134	192
M20	343	412	480	549	617	686	755	172	245
M22	467	560	653	747	840	933	1027	212	303
M24	593	712	830	949	1067	1186	1305	247	353
M27	868	1041	1215	1388	1562	1735	1909	321	459
M30	1178	1414	1649	1885	2121	2356	2592	393	561
M36	2059	2471	2882	3294	3706	4118	4529	572	817

### 3.6 Pioli con testa tipo “nelson”

Acciaio tipo S235J2+C450 secondo EN ISO 13918 avente le seguenti caratteristiche meccaniche:

- tensione di snervamento  $f_{yk} \geq 350$  Mpa
- tensione di rottura a trazione  $f_u \geq 450$  Mpa

<p style="text-align: center;"><i>ANAS S.p.A.</i> S.S. 389 TRONCO VILLANOVA – LANUSEI – TORTOLI LOTTO BIVIO VILLAGRANDE – SVINCOLO DI ARZANA DAL Km 51+100,00 DELLA S.S. 389 VAR AL Km 177+930,00 DELLA S.S. 389 <b>Viadotto VI02 - Relazione di calcolo impalcato</b></p>	<p>File: T00_VI02_STR_RE01_A Data: Agosto 2020 Pag. 10 di 122</p>
--	---

### **3.7 Saldature**

Procedimenti di saldatura omologati e qualificati secondo D.M. 17.01.2018.

Tutte le giunzioni per l'unione dei conci delle travi principali saranno eseguite con saldature testa a testa a completa penetrazione.

<p>ANAS S.p.A.  S.S. 389 TRONCO VILLANOVA – LANUSEI – TORTOLI  LOTTO BIVIO VILLAGRANDE – SVINCOLO DI ARZANA  DAL Km 51+100,00 DELLA S.S. 389 VAR AL Km 177+930,00 DELLA S.S. 389  <b>Viadotto VI02 - Relazione di calcolo impalcato</b></p>	<p>File: T00_VI02_STR_RE01_A  Data: Agosto 2020  Pag. 11 di 122</p>
---	---

## 4.CRITERI DI CALCOLO

### 4.1 Codici di calcolo

Tutti i codici di calcolo automatico per l'analisi e la verifica delle strutture sono di sicura ed accertata validità e sono stati impiegati conformemente alle loro caratteristiche.

#### **SAP2000**

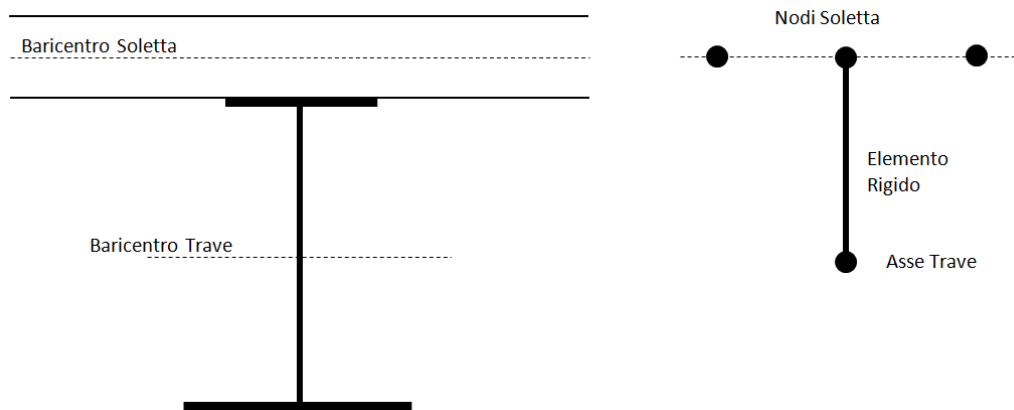
Codice di calcolo strutturale agli elementi finiti commercializzato dalla CSI Italia Srl e realizzato dall'università di Berkeley negli USA. Consente il calcolo di strutture spaziali composte da elementi mono- e/o bi-dimensionali anche con non linearità di materiale o con effetti dinamici. (Licenza 641d393f-9df6-4397-95c7-96796027e51c)

#### **RC-SEC 2020**

Le verifiche delle sezioni in c.a. sono state condotte per mezzo del software RC-SEC2020 sviluppato dalla Geostru

### 4.2 Metodologia di analisi

La struttura è rappresentata da un modello tridimensionale, in cui si sono considerati tutti gli elementi strutturali opportunamente modellati. Il comportamento della soletta di calcestruzzo, per la diffusione dei carichi applicati, è stato considerato con degli elementi shell e le travi sono state schematizzate tramite elementi frame. Le connessioni, invece, tra i nodi delle travi con quelli della soletta vengono rappresentate mediante link rigidi per permettere il trasferimento degli sforzi tra i due elementi resistenti.



I controventi sono stati considerati incernierati alle estremità, le aste dei trasversi incastrate alle estremità. Infine per tener conto degli effetti a lungo termine dovuti alla viscosità, si è ridotto il modulo elastico del calcestruzzo per un fattore proporzionale al coefficiente di viscosità, ovvero  $(1+\phi)$ .

L'analisi delle sollecitazioni nelle diverse fasi è stata condotta su 3 modelli FEM, aventi in comune la geometria e i vincoli a terra. Le azioni, le caratteristiche geometriche delle sezioni nonché gli eventuali spostamenti ai vincoli imposti, sono stati assegnati ai diversi modelli in funzione delle fasi di analisi considerate, con riferimento a quanto esposto al § 5.2.

Tutti i modelli di analisi hanno in comune il fatto che sono grigliati di travi, cioè:

<p>ANAS S.p.A.</p> <p>S.S. 389 TRONCO VILLANOVA – LANUSEI – TORTOLI          LOTTO BIVIO VILLAGRANDE – SVINCOLO DI ARZANA          DAL Km 51+100,00 DELLA S.S. 389 VAR AL Km 177+930,00 DELLA S.S. 389  <b>Viadotto VI02 - Relazione di calcolo impalcato</b></p>	<p>File: T00_VI02_STR_RE01_A          Data: Agosto 2020          Pag. 12 di 122</p>
---	---

- le travi principali (con, eventualmente, la soletta collaborante in cls) sono modellate come travi (elementi finiti tipo “beam”) continue;
- gli elementi secondari “controventi” sono modellati come bielle (solo sforzo assiale) e sono presenti in tutti i modelli di analisi, i trasversi sono modellati come travi (elementi finiti tipo “beam”).
- la soletta è presente, a partire dal momento in cui è efficace (dopo l’indurimento), solo come elemento di ripartizione dei carichi, sotto forma di strisce trasversali di travi.

Nell’analisi strutturale si tiene conto delle fasi transitorie e di esercizio e si opera con i seguenti modelli:

**Modello 1:** Varo delle travi e getto della soletta collaborante. La sezione reagente è costituita dalla sola struttura metallica mentre i carichi agenti sono il peso proprio della struttura, quello della soletta in calcestruzzo e delle lastre predalles. I moduli elastici utilizzati sono: per l’acciaio  $E_a=210000$  MPa e  $E_c=0$  MPa

**Modello 2:** Azione dei carichi permanenti portati. La struttura reagente è costituita da trave composta acciaio-calcestruzzo omogeneizzata con il coefficiente  $n_g= 17.19$ . I carichi agenti in questa fase sono i carichi permanenti portati ossia: pavimentazione, marciapiede, guard-rail, parapetto e veletta ed il ritiro. I moduli elastici utilizzati sono: per l’acciaio  $E_a=210000$  MPa e per il calcestruzzo  $E_c= E_a/n_g= 12844.8$  MPa.

**Modello 3:** Azioni di breve durata quali carichi da traffico, temperatura, vento e azione sismica. La sezione reagente è la trave acciaio-calcestruzzo con coefficiente di omogeneizzazione  $n_0=6.242$ . I moduli elastici utilizzati sono: per l’acciaio  $E_a=210000$  MPa e per il calcestruzzo  $E_c= E_a/n_0=33643$  MPa.

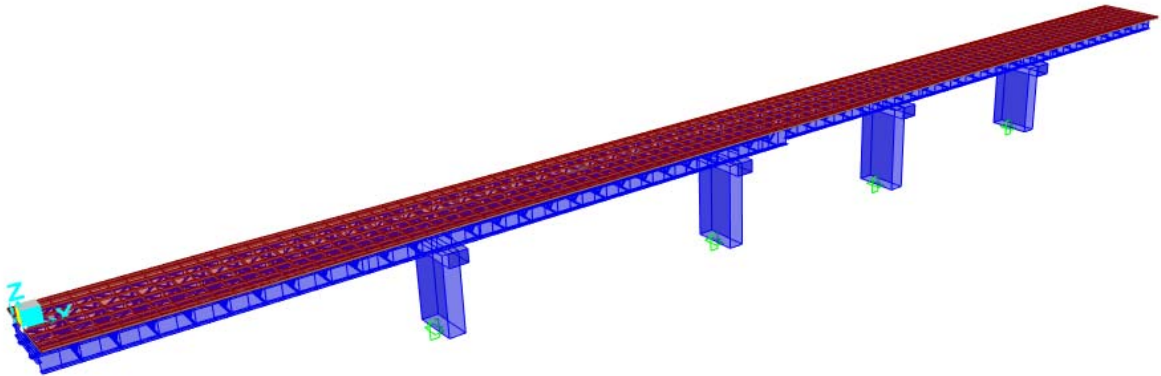


Figura 4.1 -. Modello di FEM

#### 4.2.1.1 Larghezza collaborante della soletta

La valutazione della larghezza collaborante della soletta, sia in fase di modellazione che in fase di verifica, è effettuata con riferimento alle indicazioni del punto 4.3.2.3 del DM 2018.

La larghezza collaborante  $b_{eff}$  si ottiene come somma delle due aliquote  $b_{e1}$  e  $b_{e2}$  ai due lati dell'asse della trave e della larghezza  $b_0$  impegnata direttamente dai connettori:

$$b_{eff} = b_{e1} + b_{e2} + b_0$$

dove  $b_0$  è la distanza tra gli assi dei connettori e le aliquote  $b_{e1}$  e  $b_{e2}$  ( $b_{ei}; i=1,2$ ), che costituiscono il valore della larghezza collaborante da ciascun lato della sezione composta, si assumono pari a:

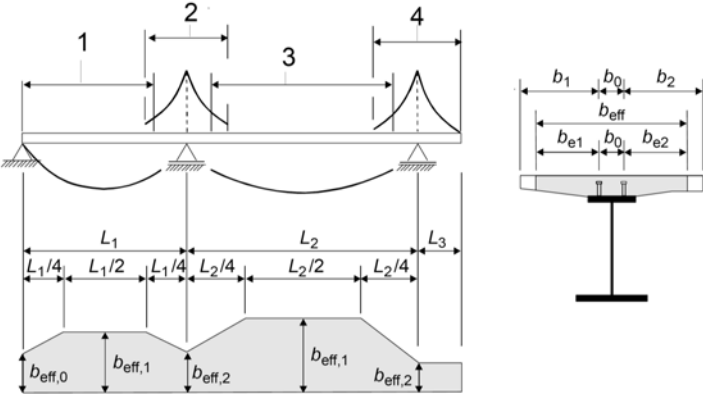
$$b_{ei} = \min \left[ \frac{L_e}{8}; b_i - \frac{b_0}{2} \right].$$

Il valore di  $L_e$  nelle travi semplicemente appoggiate coincide con la luce della trave; nelle travi continue  $L_e$  è la distanza indicata in Figura 4.2.

Negli appoggi d'estremità la determinazione della larghezza collaborante  $b_{eff}$  si ottiene con la formula:

$$b_{eff} = \beta_1 b_{e1} + \beta_2 b_{e2} + b_0$$

dove  $\beta_i = \left( 0,55 + 0,025 \frac{L_e}{b_{ei}} \right)$ .



**Legenda:**

- 1  $L_e = 0,85 L_1$  for  $b_{eff,1}$
- 2  $L_e = 0,25(L_1 + L_2)$  for  $b_{eff,1}$
- 3  $L_e = 0,70 L_2$  for  $b_{eff,1}$
- 4  $L_e = 2 L_3$  for  $b_{eff,2}$

Figura 4.2 – Luci equivalenti ( $L_e$ ) per il calcolo della larghezza efficace della soletta per travi continue

**4.2.2 Statica trasversale**

Il calcolo della soletta è stato effettuato mediante analisi agli elementi finiti.

Per le caratteristiche delle sollecitazioni e i particolari delle verifiche effettuate sulla soletta si rimanda al paragrafo dedicato.

<p>ANAS S.p.A.</p> <p>S.S. 389 TRONCO VILLANOVA – LANUSEI – TORTOLI          LOTTO BIVIO VILLAGRANDE – SVINCOLO DI ARZANA          DAL Km 51+100,00 DELLA S.S. 389 VAR AL Km 177+930,00 DELLA S.S. 389  <b>Viadotto VI02 - Relazione di calcolo impalcato</b></p>	<p>File: T00_VI02_STR_RE01_A          Data: Agosto 2020          Pag. 14 di 122</p>
---	---

## 5.CRITERI DI VERIFICA

### 5.1 Premessa

L'analisi delle azioni agenti e le verifiche vengono eseguite sulla base di una suddivisione del comportamento dell'impalcato in tre macro-fasi, corrispondenti al grado di maturazione del getto di calcestruzzo e, quindi, ai diversi livelli di rigidità e caratteristiche statiche delle sezioni.

FASE 1: Considera il peso proprio della struttura metallica, delle lastre prefabbricate e del getto della soletta che, in questa fase, è ancora inerte. La sezione resistente corrisponde alla sola parte metallica.

FASE 2: Ai successivi carichi permanenti applicati alla struttura (ritiro, pavimentazione, barriere, ecc.) corrisponde invece una sezione resistente mista acciaio-calcestruzzo. Per tenere in considerazione i fenomeni "lenti" che accompagnano questa fase (viscosità e ritiro) si adotta, per il calcestruzzo, un valore del modulo elastico effettivo in accordo con § 5.4.2.2 della norma [27].

FASE 3: Corrisponde al transito dei carichi da traffico stradale e alle azioni variabili (vento, variazioni termiche, etc.). La sezione resistente acciaio-calcestruzzo viene calcolata considerando il rapporto tra i moduli elastici effettivi dei due materiali (per il cls si assume il modulo elastico medio a 28 gg).

### 5.2 Verifiche considerate

Il quadro normativo di cui al § 3 prevede le verifiche sotto riportate.

#### 5.2.1 Verifiche agli SLU

Agli Stati Limite Ultimi sono condotte le verifiche:

- a) di resistenza globale della sezione composta (stato limite elastico) con riferimento alle tensioni normali e tangenziali sugli elementi della trave metallica e sulle fibre della soletta c.a, tenendo conto delle instabilità locali per compressione e taglio di anima e piattabande (sez. di classe 4 con irrigidimenti longitudinali e trasversali) e delle armature longitudinali presenti nella larghezza collaborante
- b) di resistenza della connessione tra travi e soletta, con riferimento alle caratteristiche resistenti dei connettori, delle armature e del calcestruzzo

#### 5.2.2 Verifiche agli SLE

Agli Stati Limite di Esercizio sono condotte le verifiche:

- c) Abbassamenti
- d) di web-breathing - limitazione dello sfogo dell'anima (SLE F).

#### 5.2.3 Verifiche allo SLF

Allo Stato Limite di Fatica sono condotte le verifiche:

- e) Verifica a vita illimitata dei giunti saldati a completa penetrazione longitudinali
- f) Verifica dei pioli a danneggiamento equivalente

<p>ANAS S.p.A.  S.S. 389 TRONCO VILLANOVA – LANUSEI – TORTOLI  LOTTO BIVIO VILLAGRANDE – SVINCOLO DI ARZANA  DAL Km 51+100,00 DELLA S.S. 389 VAR AL Km 177+930,00 DELLA S.S. 389  <b>Viadotto VI02 - Relazione di calcolo impalcato</b></p>	<p>File: T00_VI02_STR_RE01_A  Data: Agosto 2020  Pag. 15 di 122</p>
---	---

### 5.3 Proprietà delle sezioni resistenti

TABLE: SteellCompUltimate-Prop										
Station	Girder	ThSlab	WSlabEff	ThFlgTop	WdthFlgTop	ThFlgBot	WdthFlgBot	AeFlgBotNeg	DepthWeb	ThickWeb
m	Text	m	m	m	m	m	m	m2	m	m
0.00	Girder	0.35	5.18	0.03	1.00	0.03	1.00	0.02	3.94	0.02
2.50	Girder	0.35	5.20	0.03	1.00	0.03	1.00	0.02	3.94	0.02
5.00	Girder	0.35	5.23	0.03	1.00	0.03	1.00	0.02	3.94	0.02
7.50	Girder	0.35	5.26	0.03	1.00	0.03	1.00	0.02	3.94	0.02
10.00	Girder	0.35	5.29	0.03	1.00	0.03	1.00	0.02	3.94	0.02
12.50	Girder	0.35	5.32	0.03	1.00	0.03	1.00	0.02	3.94	0.02
15.00	Girder	0.35	5.35	0.03	1.00	0.03	1.00	0.02	3.94	0.02
17.50	Girder	0.35	5.38	0.03	1.00	0.03	1.00	0.02	3.94	0.02
20.00	Girder	0.35	5.41	0.03	1.00	0.03	1.00	0.02	3.94	0.02
22.50	Girder	0.35	5.44	0.03	1.00	0.03	1.00	0.02	3.94	0.02
25.00	Girder	0.35	5.47	0.03	1.00	0.03	1.00	0.02	3.94	0.02
27.50	Girder	0.35	5.50	0.03	1.00	0.03	1.00	0.02	3.94	0.02
30.00	Girder	0.35	5.53	0.03	1.00	0.03	1.00	0.02	3.94	0.02
32.50	Girder	0.35	5.49	0.03	1.00	0.03	1.00	0.02	3.94	0.02



35.00	Girder	0.35	5.46	0.03	1.00	0.03	1.00	0.02	3.94	0.02
37.50	Girder	0.35	5.43	0.03	1.00	0.03	1.00	0.02	3.94	0.02
40.00	Girder	0.35	5.39	0.03	1.00	0.03	1.00	0.02	3.94	0.02
42.50	Girder	0.35	5.36	0.03	1.00	0.03	1.00	0.02	3.94	0.02
45.00	Girder	0.35	5.33	0.03	1.00	0.03	1.00	0.02	3.94	0.02
47.50	Girder	0.35	5.29	0.03	1.00	0.04	1.00	0.04	3.93	0.03
50.00	Girder	0.35	5.26	0.03	1.00	0.04	1.00	0.04	3.93	0.03
52.50	Girder	0.35	5.23	0.03	1.00	0.04	1.00	0.04	3.93	0.03
55.00	Girder	0.35	5.19	0.04	1.10	0.08	1.10	0.09	3.88	0.03
57.50	Girder	0.35	5.16	0.04	1.10	0.08	1.10	0.09	3.88	0.03
60.00	Girder	0.35	5.13	0.04	1.10	0.08	1.10	0.09	3.88	0.03
62.50	Girder	0.35	5.12	0.04	1.10	0.08	1.10	0.09	3.88	0.03
65.00	Girder	0.35	5.11	0.04	1.10	0.08	1.10	0.09	3.88	0.03
67.50	Girder	0.35	5.11	0.03	1.00	0.04	1.00	0.04	3.93	0.03
70.00	Girder	0.35	5.10	0.03	1.00	0.04	1.00	0.04	3.93	0.03
72.50	Girder	0.35	5.09	0.03	1.00	0.03	1.00	0.02	3.94	0.02
75.00	Girder	0.35	5.09	0.03	1.00	0.03	1.00	0.02	3.94	0.02
77.50	Girder	0.35	5.08	0.03	1.00	0.03	1.00	0.02	3.94	0.02
80.00	Girder	0.35	5.08	0.03	1.00	0.03	1.00	0.02	3.94	0.02
82.50	Girder	0.35	5.07	0.03	1.00	0.03	1.00	0.02	3.94	0.02
85.00	Girder	0.35	5.06	0.03	1.00	0.03	1.00	0.02	3.94	0.02
87.50	Girder	0.35	5.06	0.03	1.00	0.03	1.00	0.02	3.94	0.02
90.00	Girder	0.35	5.05	0.03	1.00	0.03	1.00	0.02	3.94	0.02
92.50	Girder	0.35	5.04	0.03	1.00	0.03	1.00	0.02	3.94	0.02
95.00	Girder	0.35	5.04	0.03	1.00	0.03	1.00	0.02	3.94	0.02
97.50	Girder	0.35	5.03	0.03	1.00	0.03	1.00	0.02	3.94	0.02
100.00	Girder	0.35	5.03	0.03	1.00	0.03	1.00	0.02	3.94	0.02
102.50	Girder	0.35	5.02	0.03	1.00	0.03	1.00	0.02	3.94	0.02
105.00	Girder	0.35	5.01	0.03	1.00	0.03	1.00	0.02	3.94	0.02
107.50	Girder	0.35	5.01	0.03	1.00	0.03	1.00	0.02	3.94	0.02
110.00	Girder	0.35	5.00	0.03	1.00	0.04	1.00	0.04	3.93	0.03
112.50	Girder	0.35	4.99	0.03	1.00	0.04	1.00	0.04	3.93	0.03
115.00	Girder	0.35	4.99	0.04	1.00	0.07	1.00	0.07	3.89	0.03
117.50	Girder	0.35	4.98	0.04	1.00	0.07	1.00	0.07	3.89	0.03
120.00	Girder	0.35	4.98	0.04	1.00	0.07	1.00	0.07	3.89	0.03
122.50	Girder	0.35	4.98	0.04	1.00	0.07	1.00	0.07	3.89	0.03
125.00	Girder	0.35	4.98	0.04	1.00	0.07	1.00	0.07	3.89	0.03
127.50	Girder	0.35	4.98	0.03	1.00	0.04	1.00	0.04	3.93	0.02
130.00	Girder	0.35	4.98	0.03	1.00	0.04	1.00	0.04	3.93	0.02
132.50	Girder	0.35	4.98	0.03	1.00	0.03	1.00	0.02	2.94	0.02
135.00	Girder	0.35	4.98	0.03	1.00	0.03	1.00	0.02	2.94	0.02
137.50	Girder	0.35	4.98	0.03	1.00	0.03	1.00	0.02	2.94	0.02
140.00	Girder	0.35	4.98	0.03	1.00	0.03	1.00	0.02	2.94	0.02
142.50	Girder	0.35	4.98	0.03	1.00	0.03	1.00	0.02	2.94	0.02
145.00	Girder	0.35	4.98	0.03	1.00	0.03	1.00	0.02	2.94	0.02
147.50	Girder	0.35	4.98	0.03	1.00	0.03	1.00	0.02	2.94	0.02
150.00	Girder	0.35	4.98	0.03	1.00	0.03	1.00	0.02	2.94	0.02
152.50	Girder	0.35	4.98	0.03	1.00	0.03	1.00	0.02	2.94	0.02
155.00	Girder	0.35	4.98	0.03	1.00	0.03	1.00	0.02	2.94	0.02
157.50	Girder	0.35	4.98	0.03	1.00	0.03	1.00	0.02	2.94	0.02
160.00	Girder	0.35	4.98	0.04	1.00	0.06	1.00	0.06	2.90	0.02
162.50	Girder	0.35	4.98	0.04	1.00	0.06	1.00	0.06	2.90	0.02
165.00	Girder	0.35	4.98	0.04	1.00	0.06	1.00	0.06	2.90	0.02
167.50	Girder	0.35	4.98	0.04	1.00	0.06	1.00	0.06	2.90	0.02
170.00	Girder	0.35	4.98	0.04	1.00	0.06	1.00	0.06	2.90	0.02
172.50	Girder	0.35	4.98	0.03	1.00	0.03	1.00	0.02	2.94	0.02
175.00	Girder	0.35	4.98	0.03	1.00	0.03	1.00	0.02	2.94	0.02
177.50	Girder	0.35	4.98	0.03	1.00	0.03	1.00	0.02	2.94	0.02
180.00	Girder	0.35	4.98	0.03	1.00	0.03	1.00	0.02	2.94	0.02
182.50	Girder	0.35	4.98	0.03	1.00	0.03	1.00	0.02	2.94	0.02
185.00	Girder	0.35	4.98	0.03	1.00	0.03	1.00	0.02	2.94	0.02
187.50	Girder	0.35	4.98	0.03	1.00	0.03	1.00	0.02	2.94	0.02
190.00	Girder	0.35	4.98	0.03	1.00	0.03	1.00	0.02	2.94	0.02

<p>ANAS S.p.A.  S.S. 389 TRONCO VILLANOVA – LANUSEI – TORTOLÌ  LOTTO BIVIO VILLAGRANDE – SVINCOLO DI ARZANA  DAL Km 51+100,00 DELLA S.S. 389 VAR AL Km 177+930,00 DELLA S.S. 389  <b>Viadotto VI02 - Relazione di calcolo impalcato</b></p>	<p>File: T00_VI02_STR_RE01_A  Data: Agosto 2020  Pag. 17 di 122</p>
---	---

192.50	Girder	0.35	4.98	0.03	1.00	0.03	1.00	0.02	2.94	0.02
195.00	Girder	0.35	4.98	0.03	1.00	0.03	1.00	0.02	2.94	0.02
197.50	Girder	0.35	4.98	0.03	1.00	0.03	1.00	0.02	2.94	0.02
200.00	Girder	0.35	4.98	0.03	1.00	0.03	1.00	0.02	2.94	0.02
202.50	Girder	0.35	4.98	0.03	1.00	0.03	1.00	0.02	2.94	0.02
205.00	Girder	0.35	4.98	0.04	1.00	0.06	1.00	0.06	2.90	0.03
207.50	Girder	0.35	4.98	0.04	1.00	0.06	1.00	0.06	2.90	0.03
210.00	Girder	0.35	4.98	0.04	1.00	0.06	1.00	0.06	2.90	0.03
212.50	Girder	0.35	4.98	0.04	1.00	0.06	1.00	0.06	2.90	0.03
215.00	Girder	0.35	4.98	0.04	1.00	0.06	1.00	0.06	2.90	0.03
217.50	Girder	0.35	4.98	0.03	1.00	0.03	1.00	0.02	2.94	0.02
220.00	Girder	0.35	4.98	0.03	1.00	0.03	1.00	0.02	2.94	0.02
222.50	Girder	0.35	4.98	0.03	1.00	0.03	1.00	0.02	2.94	0.02
225.00	Girder	0.35	4.98	0.03	1.00	0.03	1.00	0.02	2.94	0.02
227.50	Girder	0.35	4.98	0.03	1.00	0.03	1.00	0.02	2.94	0.02
230.00	Girder	0.35	4.98	0.03	1.00	0.03	1.00	0.02	2.94	0.02
232.50	Girder	0.35	4.98	0.03	1.00	0.03	1.00	0.02	2.94	0.02
235.00	Girder	0.35	4.98	0.03	1.00	0.03	1.00	0.02	2.94	0.02
237.50	Girder	0.35	4.98	0.03	1.00	0.03	1.00	0.02	2.94	0.02
240.00	Girder	0.35	4.98	0.03	1.00	0.03	1.00	0.02	2.94	0.02
242.50	Girder	0.35	4.98	0.03	1.00	0.03	1.00	0.02	2.94	0.02
245.00	Girder	0.35	4.97	0.03	1.00	0.03	1.00	0.02	2.94	0.02
247.50	Girder	0.35	4.96	0.03	1.00	0.03	1.00	0.02	2.94	0.02
250.00	Girder	0.35	4.95	0.03	1.00	0.03	1.00	0.02	2.94	0.02
252.50	Girder	0.35	4.94	0.03	1.00	0.03	1.00	0.02	2.94	0.02

## 5.4 Azioni agenti – analisi dei carichi

Le azioni prese in considerazione ai fini delle verifiche dell'impalcato in acciaio-calcestruzzo sono:

<b>G1</b>	<i>Peso permanenti strutturali</i>
<b>G2</b>	<i>Sovraccarichi permanenti (peso marciapiedi, pavimentazione, barriere, finiture, impianti, etc.)</i>
<b>Ritiro</b>	<i>Effetto di ritiro e viscosità a lungo termine</i>
<b>ΔT+</b>	<i>Variazione termica differenziale positiva (T soletta &gt; T acciaio)</i>
<b>ΔT-</b>	<i>Variazione termica differenziale negativa (T soletta &lt; T acciaio)</i>
<b>Vento</b>	<i>Azione trasversale del vento su impalcato in esercizio (carico)</i>
<b>TS</b>	<i>Azione equivalente al traffico stradale - modello di carico 1 - assi di carico</i>
<b>UDL</b>	<i>Azione equivalente al traffico stradale - modello di carico 1 - carico distribuito</i>
<b>LM5</b>	<i>Azione equivalente all'azione della folla su marciapiedi praticabili</i>
<b>LMF3</b>	<i>Azione da traffico stradale - modello di carico 3 equivalente per analisi fatica</i>
<b>Ek</b>	<i>Azione sismica</i>

<p>ANAS S.p.A.</p> <p>S.S. 389 TRONCO VILLANOVA – LANUSEI – TORTOLI</p> <p>LOTTO BIVIO VILLAGRANDE – SVINCOLO DI ARZANA</p> <p>DAL Km 51+100,00 DELLA S.S. 389 VAR AL Km 177+930,00 DELLA S.S. 389</p> <p><b>Viadotto VI02 - Relazione di calcolo impalcato</b></p>	<p>File: T00_VI02_STR_RE01_A</p> <p>Data: Agosto 2020</p> <p>Pag. 18 di 122</p>
---	---

Per la verifica degli elementi secondari (trasversi) dell'impalcato si è presa in considerazione anche l'azione sismica, quando più sfavorevole.

#### 5.4.1 Peso proprio

Il peso proprio delle travi metalliche è valutato in automatico dal software di analisi. Il peso proprio della soletta di calcestruzzo è pari a  $25 \times 0.35 = 8.75 \text{ kN/m}^2$

Sul cordolo  $25 \times 0.55 = 13.75 \text{ kN/m}^2$

#### 5.4.2 Sovraccarichi permanenti

Pavimentazione: $22.00 \times 0.11 = 2.42$ .....	3.00 kN/m <sup>2</sup>
Barriere di sicurezza (su entrambi i lati) .....	2.00 kN/m
Velette (su entrambi i lati) .....	3.00 kN/m
Collettori di drenaggio (su ambo i lati) .....	2.00 kN/m

### 5.4.3 Ritiro

Clis a t=0

$R_{ck}$	=	40	N/mm <sup>2</sup>	Resistenza a compressione cubica caratteristica
$f_{ck}$	=	33.2	N/mm <sup>2</sup>	Resistenza a compressione cilindrica caratteristica
$f_{cm}$	=	41.2	N/mm <sup>2</sup>	Resistenza a compressione cilindrica media
$\alpha$	=	1.0E-05		
$E_{cm}$	=	33643	N/mm <sup>2</sup>	Modulo elastico secante medio

Tempo e ambiente

$t_s$	=	2	gg	età del calcestruzzo in giorni, all'inizio del ritiro per essiccamento
$t_0$	=	28	gg	età del calcestruzzo in giorni al momento del carico
$t$	=	25500000	gg	età del calcestruzzo in giorni
$h_0=2A_c/u$	=	700	mm	dimensione fittizia dell'elemento di cls
$A_c$	=	5425000	mm <sup>2</sup>	sezione dell'elemento
$u$	=	15500	mm	perimetro a contatto con l'atmosfera
$RH$	=	75	%	umidità relativa percentuale

Coefficiente di viscosità  $\phi(t, t_0)$  e modulo elastico  $EC_t$  a tempo "t"

$\phi(t, t_0) = \phi_0 \beta_c(t, t_0) =$	1.982
$\phi_0 = \phi RH \beta_c(f_{cm}) \beta_c(t_0) =$	93.22 coeff nominale di viscosità
$\phi_{RH} = 1 + \left[ \frac{1 - RH/100}{0.1 \sqrt[3]{h_0}} \alpha_1 \right] \alpha_2 =$	1.243 coeff che tiene conto dell'umidità
$\alpha_1 = \begin{cases} (35/f_{cm})^{0.7} & \text{per } f_{cm} > 35MPa \\ 1 & \text{per } f_{cm} \leq 35MPa \end{cases} =$	0.892 coeff per la resistenza del cls
$\alpha_2 = \begin{cases} (35/f_{cm})^{0.2} & \text{per } f_{cm} > 35MPa \\ 1 & \text{per } f_{cm} \leq 35MPa \end{cases} =$	0.968 coeff per la resistenza del cls
$\beta_c(f_{cm}) = \frac{16.8}{\sqrt{f_{cm}}} =$	2.617 coeff che tiene conto della resistenza del cls
$\beta_c(t_0) = \frac{1}{(0.1 + t_0^{0.20})} =$	0.475 coeff. per l'evoluzione della viscosità nel tempo
$t_o = t_0 \left( \frac{9}{2 + t_0^{1.2}} + 1 \right)^\alpha \geq 0.5 =$	32.46 coeff. per la variabilità della viscosità nel tempo
$\alpha =$	1 coeff per il tipo di cemento (-1 per classe S, 0 per classe N, 1 per classe R)

$$\beta_c(t, t_0) = \left[ \frac{(t - t_0)}{(\beta_H + t - t_0)} \right]^{0.3} = 1.000 \quad \text{coeff per la variabilità della viscosità nel tempo}$$

$$\beta_H = 1.5[1 + (0.012 RH)^{18}] h_0 + 250\alpha_3 \leq 1500\alpha_3 = 1382.5 \quad \text{coeff che tiene conto dell'umidità relativa}$$

$$\alpha_3 = \begin{cases} (35/f_{cm})^{0.5} & \text{per } f_{cm} > 35 \text{ MPa} \\ 1 & \text{per } f_{cm} \leq 35 \text{ MPa} \end{cases} = 0.922 \quad \text{coeff per la resistenza del calcestruzzo}$$

Il modulo elastico a tempo "t" è pari a:

$$E_{cm}(t, t_0) = \frac{E_{cm}}{1 + \varphi(t, t_0)} = 11281951 \text{ kN/m}^2$$

Deformazioni di ritiro

$$\varepsilon_s(t, t_0) = \varepsilon_{ca}(t) + \varepsilon_{ca}(t) = 0.000349 \quad \text{deformazione di ritiro } \varepsilon(t, t_0)$$

$$\varepsilon_{ca}(t) = \beta_{ds}(t, t_s) K_b \varepsilon_{ca,0} = 0.000291 \quad \text{deformazione al ritiro per essiccamento}$$

$$\beta_{ds}(t, t_s) = \left[ \frac{(t - t_s)}{(t - t_s) + 0.04 \sqrt{h_0^3}} \right] = 0.999971$$

$$K_h = 0.7 \quad \text{parametro che dipende da } h_0 \text{ secondo il prospetto seguente}$$

Valori di  $k_h$

$h_0$	$k_h$
100	1.0
200	0.85
300	0.75
≥500	0.70

Valori di  $K_h$  intermedi a quelli del prospetto vengono calcolati tramite interpolazione lineare

$$\varepsilon_{ca,0} = 0.85 \left[ (200 + 100 \alpha_{ds1}) \exp(-\alpha_{ds2} \frac{f_{cm}}{f_{cm0}}) \right] 10^{-6} \beta_{RH} = 0.000416$$

$$\beta_{RH} = 1.55 \left[ 1 - \left( \frac{RH}{RH0} \right)^3 \right] = 0.896094$$

$$f_{cm0} = 10 \text{ Mpa}$$

$$RH0 = 100 \%$$

$$\alpha_{ds1} = 6 \quad \text{coeff per il tipo di cemento (3 per classe S, 4 per classe N, 6 per classe R)}$$

$$\alpha_{ds2} = 0.11 \quad \text{coeff per il tipo di cemento (0.13 per classe S, 0.12 per classe N, 0.11 per classe R)}$$

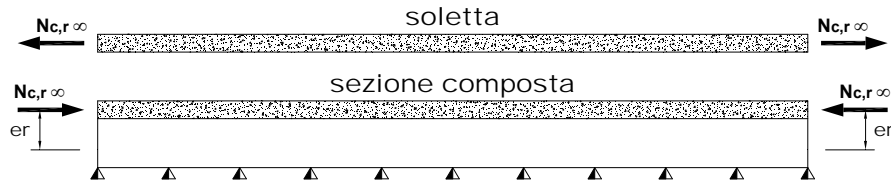
$$\varepsilon_{ca}(t) = \beta_{as}(t) \varepsilon_{ca,0} = 0.000058 \quad \text{deformazione dovuta al ritiro autogeno}$$

$$\beta_{as}(t) = 1 - \exp(-0.2t^{0.5}) = 1$$

$$\varepsilon_{ca,0} = 2.5(f_{ck} - 10)10^{-6} = 0.000058$$

Il ritiro del calcestruzzo è stato schematizzato attraverso le seguenti azioni statiche equivalenti:

- Forza assiale d'estremità.....  $N_{cr} = E_a \times e_c \times A_{collrit} / n_r = -21387$   
kN



Le eccentricità geometriche sono prese in conto direttamente nel modello.

#### 5.4.4 Variazioni termiche differenziali

Ai fini delle verifiche dell'impalcato sono state prese in considerazione due azioni termiche differenziali, in accordo agli schemi proposti nel EC 1991-1-5 cap.6:

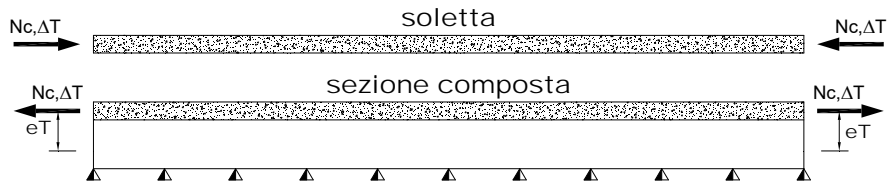
Type of Construction	Temperature Difference ( $\Delta T$ )																									
	(a) Heating	(b) Cooling																								
<p>100mm surfacing</p> <p>100mm surfacing</p> <p>2 Concrete deck on steel box, truss or plate girders</p>	<p>Normal Procedure</p> <table border="1" style="margin-left: auto; margin-right: auto;"> <thead> <tr> <th>h</th> <th><math>\Delta T_1</math></th> <th><math>\Delta T_2</math></th> </tr> <tr> <th>m</th> <th>°C</th> <th>°C</th> </tr> </thead> <tbody> <tr> <td>0.2</td> <td>13</td> <td>4</td> </tr> <tr> <td>0.3</td> <td>16</td> <td>4</td> </tr> </tbody> </table>	h	$\Delta T_1$	$\Delta T_2$	m	°C	°C	0.2	13	4	0.3	16	4	<p>Normal Procedure</p> <table border="1" style="margin-left: auto; margin-right: auto;"> <thead> <tr> <th>h</th> <th><math>\Delta T_1</math></th> <th><math>\Delta T_2</math></th> </tr> <tr> <th>m</th> <th>°C</th> <th>°C</th> </tr> </thead> <tbody> <tr> <td>0.2</td> <td>-3.5</td> <td>-8</td> </tr> <tr> <td>0.3</td> <td>-5.0</td> <td>-8</td> </tr> </tbody> </table>	h	$\Delta T_1$	$\Delta T_2$	m	°C	°C	0.2	-3.5	-8	0.3	-5.0	-8
	h	$\Delta T_1$	$\Delta T_2$																							
m	°C	°C																								
0.2	13	4																								
0.3	16	4																								
h	$\Delta T_1$	$\Delta T_2$																								
m	°C	°C																								
0.2	-3.5	-8																								
0.3	-5.0	-8																								
<p>Simplified Procedure</p> <p><math>\Delta T_2 = 10^\circ\text{C}</math></p>	<p>Simplified Procedure</p> <p><math>\Delta T_2 = -10^\circ\text{C}</math>  <math>h_1 = 0.6h</math>  <math>h_2 = 0.4m</math></p>																									
<p>Note: For composite bridges the simplified procedure given above may be used, giving upper bound thermal effects. Values for <math>\Delta T</math> in this procedure are indicative and may be used unless specific values are given in the National Annex.</p>																										

Gli effetti prodotti dalle variazioni termiche differenziali fra la soletta in calcestruzzo e le travi metalliche sono stati valutati con azioni statiche equivalenti concentrate alle estremità dell'impalcato.

Sono state prese in esame le seguenti variazioni termiche:

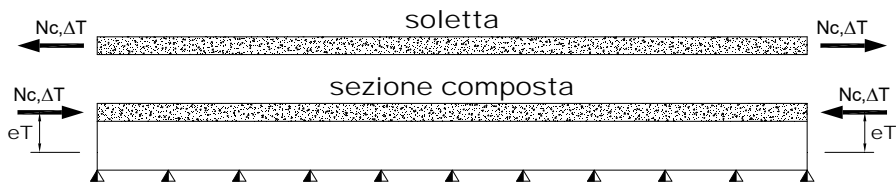
Variazione termica differenziale positiva 10 °C

- Forza assiale d'estremità .....  $N_{cdT+} = E_a \times a \times +10 \times A_{collidT} / n_0 = 18255$  kN



Variazione termica differenziale negativa -10 °C

- Forza assiale d'estremità .....  $N_{cdT+} = E_a \times a \times +10 \times A_{colldT} / n_0 = -18255 \text{ kN}$



avendo assunto:

coefficiente di dilatazione termica.....  $a = 1,00E-05$

coefficiente di omogeneizzazione a  $t_0$  .....  $n_0 = 6,24$

modulo elastico dell'acciaio.....  $E_a = 210000 \text{ MPa}$

area della soletta .....  $A_{colldT} = 5.42E+06 \text{ mm}^2$

Le eccentricità geometriche sono prese in conto direttamente nel modello.

### 5.4.5 Vento

L'azione del vento è stata valutata, secondo quanto specificato nel par. 3.3 del DM 17 gennaio 2018, assimilandola ad un carico orizzontale statico diretto ortogonalmente all'asse del ponte e agente sulla proiezione nel piano verticale delle superfici direttamente investite. La superficie dei carichi transitanti sul ponte esposte al vento si assimila ad una parete rettangolare continua alta 3,0 m dal piano stradale. Tale azione dà luogo ad una sollecitazione torcente che provoca una flessione differenziale dalle travi portanti.

**Azione del Vento - generale - NTC e EC 1-1-4:2005**

Condizione (ponte carico o scarico)		scarico	carico	
Altitudine sul livello del mare	as	800	800	m
Zona	Z	5	5	
Parametri	Vb,0	28	28	m/s
Parametri	ao	750	750	m
Parametri	ks	0.4	0.4	1/s
Velocità di riferimento (Tr=50anni)	vb=vb0 * (1+ ks(as/ao-1)	28.75	28.75	m/s
Periodo di ritorno considerato	TR	100	100	anni
	αR	1.04	1.04	
Velocità di riferimento	Vb(TR)	29.87	29.87	m/s
Densità dell'aria	ρ	1.25	1.25	kg/mc
Pressione cinetica di riferimento	qb=0.5*ρ*vb²	0.56	0.56	kN/mq
Classe di rugosità del terreno		D	D	
Distanza dalla costa		>10	>10	km
Altitudine sul livello del mare		>750	>750	m
Categoria di esposizione del sito	Cat	II	II	

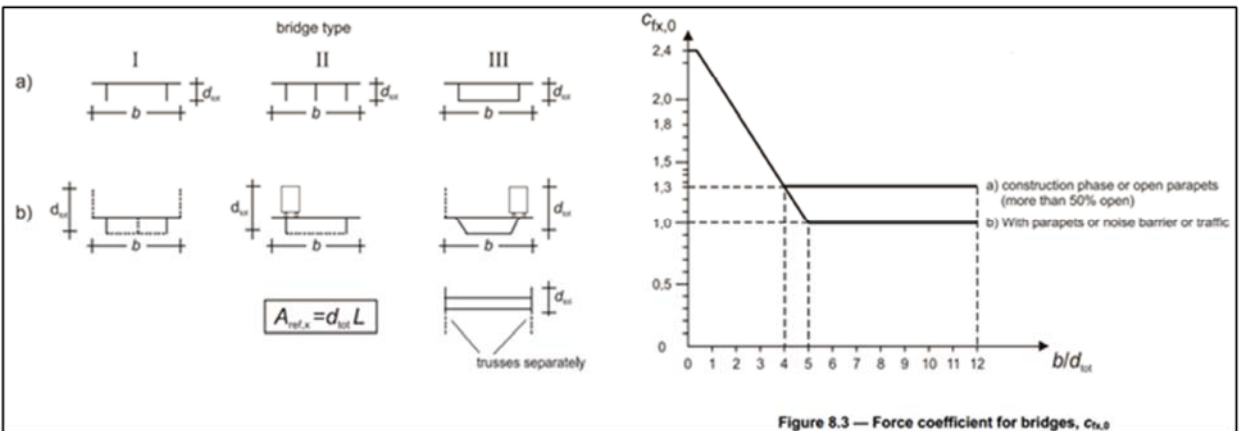
**Componente trasversale**

**Vento su impalcato**

Parametri	kr	0.19	0.19	
Parametri	z0	0.05	0.05	m
Parametri	zmin	4	4	m
Altezza di riferimento per l'impalcato (EC punto 8.3.1(6))	z	22	22	m
Coefficiente di topografia	ct	1	1	
Coefficiente di esposizione (z)	ce(z)	2.88	2.88	
Larghezza impalcato	b	15.5	15.5	m
Altezza impalcato	h1	4.5	4.5	m
Altezza veicoli o parapetto	h2	1.5	3	m
Altezza totale impalcato (comprese le barriere o veicoli)	dtot	6	7.5	m
Rapporto di forma	b/dtot	2.58	2.07	
Coefficiente di forza (figura 8.3 EC)	cfx	1.73	1.88	

**Riepilogo**

Pressione cinetica di riferimento	qb	0.56	0.56	kN/mq
Coefficiente di esposizione	ce	2.88	2.88	
Coefficiente di forza	cfx	1.73	1.88	
Altezza di riferimento (EC punto 8.3.1 (4) e (5))	d	6	7.5	m
Forza statica equivalente a m/l	f=prodotto	16.6	22.6	kN/m
Pressione statica equivalente	p=f/d	2.77	3.02	kN/mq
Forza statica equivalente a m/l considerata	f	16.6	22.6	kN/m



Da cui



<p>ANAS S.p.A.  S.S. 389 TRONCO VILLANOVA – LANUSEI – TORTOLI  LOTTO BIVIO VILLAGRANDE – SVINCOLO DI ARZANA  DAL Km 51+100,00 DELLA S.S. 389 VAR AL Km 177+930,00 DELLA S.S. 389  <b>Viadotto VI02 - Relazione di calcolo impalcato</b></p>	<p>File: T00_VI02_STR_RE01_A  Data: Agosto 2020  Pag. 24 di 122</p>
---	---

$$M_{w,x} = 22.6 \text{ kN/m} \cdot 1 \text{ m} = 22.6 \text{ N}$$

Dove 1m è pari all'eccentricità tra il baricentro della trave ed il punto di applicazione della forza

Carico sulla singola trave =  $22.6 \text{ kN} / 10.5 \text{ m} = \pm 2.15 \text{ kN/m}$  (con 10.5m = distanza travi esterne)

### Componente verticale

$$A_{\text{ref}} = 15.5 \text{ m}^2$$

$$c_{fz} = 0.9$$

$$F_{wz} = A_{\text{ref}} \cdot c_{fz} \cdot c_e \cdot q_{\text{ref}} = 22.4 \text{ kN/m}$$

Carico sulla singola trave =  $22.4 \text{ kN/m} / 3 = 7.46 \text{ kN/m}$  (con 3 = N° di travi)

$$M_{w,z} = 22.4 \cdot 15.5 / 4 = 86.7 \text{ kN}$$
 per eccentricità verticale =  $d/4 = 15.5 / 4 = 3.87 \text{ m}$

Carico sulla singola trave =  $86.7 \text{ kN} / 10.5 \text{ m} = \pm 8.25 \text{ kN/m}$

Carico totale sulla singola trave =  $2.15 + 7.46 - 8.25 = 17.9 \text{ kN/m}$

Carico totale sulla singola trave =  $-2.15 + 7.46 - 8.25 = -3.0 \text{ kN/m}$

### **5.4.6 Carichi variabili da traffico**

Il carico variabile da traffico è multi-componente, ossia si caratterizza sotto forma di gruppo di carico (cfr. tabella sotto) ossia può presentarsi sotto forma di azione GR, 1a, ovvero GR 1b, e così via. Ciascuna componente dei ciascun gruppo è costituita da uno Schema di Carico - o Load Model LM secondo la notazione anglosassone - che può essere o meno presente o eventualmente ridotto a seconda del coefficiente di partecipazione di cui alla tabella 6.1.

<p>ANAS S.p.A.</p> <p>S.S. 389 TRONCO VILLANOVA – LANUSEI – TORTOLI</p> <p>LOTTO BIVIO VILLAGRANDE – SVINCOLO DI ARZANA</p> <p>DAL Km 51+100,00 DELLA S.S. 389 VAR AL Km 177+930,00 DELLA S.S. 389</p> <p><b>Viadotto VI02 - Relazione di calcolo impalcato</b></p>	<p>File: T00_VI02_STR_RE01_A</p> <p>Data: Agosto 2020</p> <p>Pag. 25 di 122</p>
---	---

Tabella 5.1.IV – Valori caratteristici delle azioni dovute al traffico

Carichi sulla carreggiata						Carichi su marciapiedi e piste ciclabili
Carichi verticali				Carichi orizzontali		Carichi verticali
Gruppo di azioni	Modello principale (Schemi di carico 1, 2, 3, 4, 6)	Veicoli speciali	Folla (Schema di carico 5)	Frenatura $q_3$	Forza centrifuga $q_4$	Carico uniformemente distribuito
1	Valore caratteristico					Schema di carico 5 con valore di combinazione $2,5 \text{ kN/m}^2$
2 a	Valore frequente			Valore caratteristico		
2 b	Valore frequente				Valore caratteristico	
3 (*)						Schema di carico 5 con valore caratteristico $5,0 \text{ kN/m}^2$
4 (**)			Schema di carico 5 con valore caratteristico $5,0 \text{ kN/m}^2$			Schema di carico 5 con valore caratteristico $5,0 \text{ kN/m}^2$
5 (***)	Da definirsi per il singolo progetto	Valore caratteristico o nominale				

(\*) Ponti di 3ª categoria  
(\*\*) Da considerare solo se richiesto dal particolare progetto (ad es. ponti in zona urbana)  
(\*\*\*) Da considerare solo se si considerano veicoli speciali

Tabella 1: Gruppi di carico da traffico per ponti stradali

Ai fini della definizione dei diversi LM si considerano fino a tre colonne di carico convenzionali (ciascuna di ingombro trasversale convenzionale pari a 3.00 m) ed una parte rimanente di larghezza pari a  $w - 3 \cdot n_i$ . Si dispongono n. 3 colonne di carico convenzionali, sulla restante parte si dispone un carico distribuito pari a  $2.50 \text{ kN/m}^2$ .

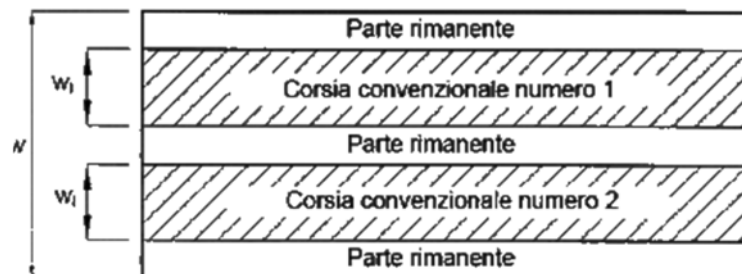


Figura 5.1: Disposizione delle colonne di carico

Allo Schema di carico 1 (LM1), illustrato in figura, si associano per ciascuna corsia le seguenti intensità:

Posizione	Carico asse $Q_{ik}$ [kN]	$q_{ik}$ [kN/m <sup>2</sup> ]
Corsia Numero 1	300	9,00
Corsia Numero 2	200	2,50
Corsia Numero 3	100	2,50
Altre corsie	0,00	2,50

Figura 5.2 Intensità degli assi di carico TS (Qk) e UDL (qk)

I "treni di carico"  $Q_{i,k}$  e  $q_{i,k}$  (per  $i = 1, 2, 3 \dots$ ) che compongono il LM1 sono considerati viaggianti lungo le corsie (convenzionali di carico) allo scopo di massimizzare gli effetti su ciascun elemento o connessione strutturale da verificare.

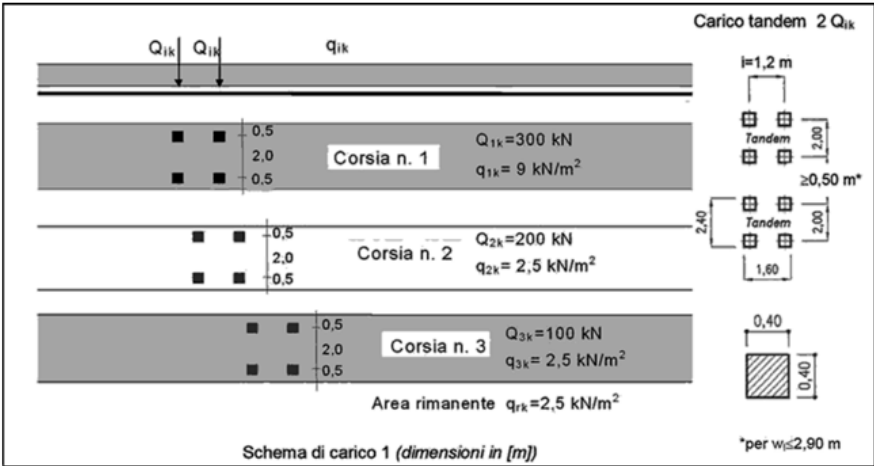


Figura 5.3: Schema di carico 1 (LM1)

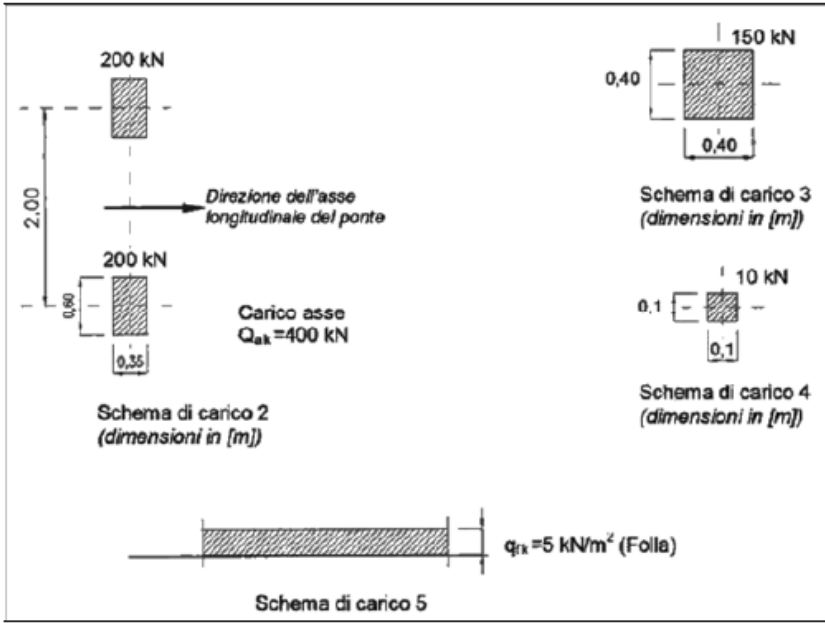


Figura 5.4: Schemi di carico 2, 3 e 4 (LM2, LM3, LM4)

<p>ANAS S.p.A.</p> <p>S.S. 389 TRONCO VILLANOVA – LANUSEI – TORTOLI          LOTTO BIVIO VILLAGRANDE – SVINCOLO DI ARZANA          DAL Km 51+100,00 DELLA S.S. 389 VAR AL Km 177+930,00 DELLA S.S. 389  <b>Viadotto VI02 - Relazione di calcolo impalcato</b></p>	<p>File: T00_VI02_STR_RE01_A          Data: Agosto 2020          Pag. 27 di 122</p>
---	---

Nella figura sono descritti i modelli LM2, LM3 ed LM4. Lo schema di carico 5 (LM5) è rappresentativo dalla folla compatta e si considera agente (qualora necessario per massimizzare le sollecitazioni), sui marciapiedi non adibiti solo a manutenzione; si assume una intensità nominale di 5.0 kN/m<sup>2</sup>, comprensiva degli effetti dinamici, e valore di combinazione pari a 2.5 kN/m<sup>2</sup>. Sull'impalcato in oggetto il cordolo è considerato non transitabile. Si riporta di seguito lo schema rappresentativo delle corsie di carico:

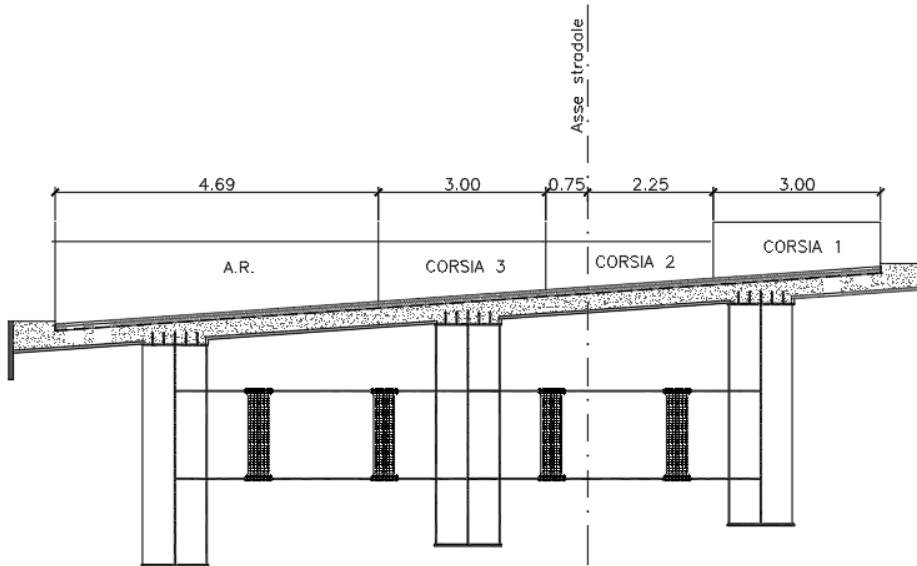


Figura 5.5: Schema di carico

Grazie all'analisi di tipo "Lanes" il software effettua tutte le permutazioni, sia in senso longitudinale che trasversale, delle corsie e dei relativi carichi. Durante l'analisi a carichi mobili vengono generate linee di influenza e superfici di influenza per analizzare la risposta delle strutture soggette all'azione dei veicoli in movimento all'interno di corsie designate.

#### 5.4.7 Carichi variabili da traffico pesante per analisi della fatica

Ai fini delle verifiche a fatica - secondo il criterio della vita illimitata - il modello di carico di fatica 1 è costituito dallo Schema di Carico 1 assumendo il 70% dei carichi concentrati ed il 30% di quelli distribuiti.

#### 5.4.8 Azione longitudinale di frenamento

La forza di frenamento o di accelerazione  $q_3$  è funzione del carico verticale totale agente sulla corsia convenzionale n. 1 ed è uguale a

$$180 \text{ kN} \leq q_3 = 0,6 (2Q_{1k}) + 0,10 q_{1k} W_1 L \leq 900 \text{ kN}$$

Per  $L=255\text{m}$  si ha  $q_3=900 \text{ kN}$

Tale azione, non dimensionante ai fini delle verifiche dell'impalcato, è presa in conto nelle verifiche delle sottostrutture, delle fondazioni e degli apparecchi di appoggio.

<p>ANAS S.p.A.</p> <p>S.S. 389 TRONCO VILLANOVA – LANUSEI – TORTOLI          LOTTO BIVIO VILLAGRANDE – SVINCOLO DI ARZANA          DAL Km 51+100,00 DELLA S.S. 389 VAR AL Km 177+930,00 DELLA S.S. 389  <b>Viadotto VI02 - Relazione di calcolo impalcato</b></p>	<p>File: T00_VI02_STR_RE01_A          Data: Agosto 2020          Pag. 28 di 122</p>
---	---

#### 5.4.9 Azione centrifuga

L'azione centrifuga è stata valutata secondo la tabella seguente. Essa è applicata alla quota della pavimentazione.

Raggio di curvatura [m]	$Q_d$ [kN]
$R < 200$	$0,2 \cdot Q_v$
$200 \leq R \leq 1500$	$40 \cdot Q_v / R$
$1500 \leq R$	0

Tabella 2: azione centrifuga

Centrifuga		
Raggio planimetrico	340	m
n° corsie	3	
$Q_v$	1200	kN
$q^4$	141.2	kN

#### 5.4.10 Azione sismica

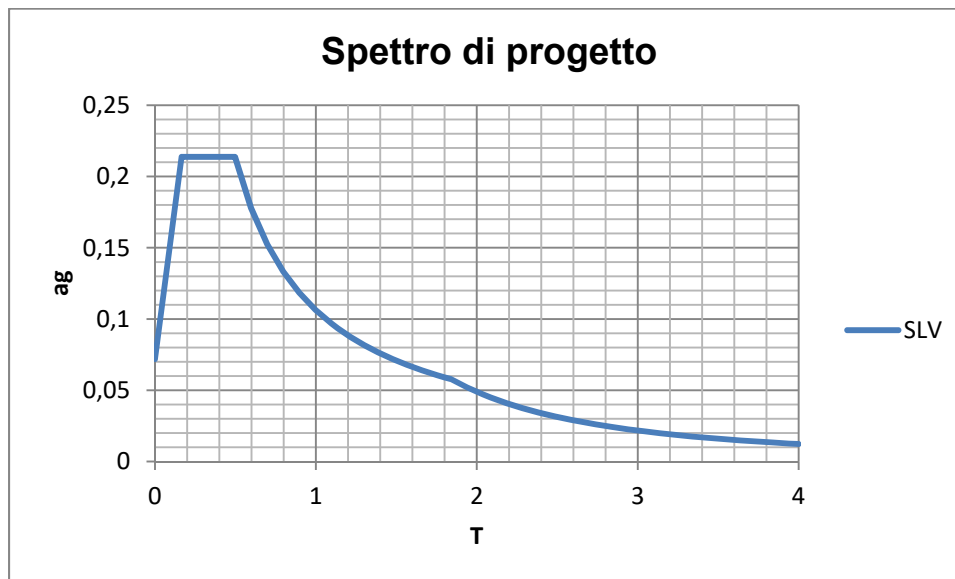
Sulla base delle indicazioni delle NTC2018 si assumono i seguenti valori per determinare l'azione sismica di riferimento nei comuni di Arzana e Villagrande Strisali interessati dall'opera:

- vita nominale:  $VN = 50$  anni (costruzioni con livelli di prestazione ordinari)
- coefficiente d'uso:  $CU = 2$
- periodo di riferimento:  $VR = VN \times CU = 100$  anni:
- stato limite ultimo di salvaguardia della vita, SLV
- probabilità di superamento associata allo stato limite SLV:  $PVR = 10\%$  periodo di ritorno:  $TR = -VR / \ln(1 - PVR) = 949$  anni
- categoria di sottosuolo: B
- categoria topografica: T1

I parametri sismici principali sono riassunti nella seguente Tabella 3 (le accelerazioni di riferimento sono riportate all'allegato 2 del DM2008 cui il DM2018 rimanda).

Tabella 3 – Valori dei parametri per la definizione del sisma di progetto

	$P_{VR}$ [%]	$T_R$ [anni]	$a_g$ [g]	$F_0$ [-]	$T_c^*$ [s]
SLO	81%	60	0,0254	2,685	0,300
SLD	63%	101	0,0313	2,730	0,307
SLV	10%	949	0,0599	2,976	0,371
SLC	5%	1950	0,0707	3,061	0,393



#### 5.4.11 Resistenze passive dei vincoli

Si è tenuto conto di questa azione nel dimensionamento degli appoggi, delle sottostrutture, delle fondazioni e dei collegamenti tra impalcato e sottostrutture.

#### 5.5 Combinazioni dei carichi

Le combinazioni di azioni per le verifiche agli stati limite ultimi, definite al punto 2.5.3 del D.M. 17 gennaio 2018, sono espresse complessivamente dalle seguenti relazioni:

$$\sum_{j>1} \gamma_{G,j} \cdot G_{k,j} + \gamma_P \cdot P + \gamma_{Q,1} \cdot Q_{k,1} + \sum_{i>1} \gamma_{Q,i} \cdot \psi_{0,i} \cdot Q_{k,i} \quad \text{comb. fondamentale}$$

$$E + \sum_{j>1} G_{k,j} + P + \sum_{i>1} \psi_{2,i} \cdot Q_{k,i} \quad \text{comb. sismica}$$

dove:

- $G_k$  è il valore caratteristico delle azioni permanenti;
- $E$  è l'azione del sisma per lo stato limite considerato;
- $P$  è il valore caratteristico delle azioni di precompressione;
- $Q_k$  è il valore caratteristico delle azioni variabili;
- $\gamma_G$ ,  $\gamma_P$  e  $\gamma_Q$  sono i coefficienti parziali delle azioni per gli SLU;
- $\psi_0, \psi_2$  sono i coefficienti di combinazione delle azioni variabili.

I valori dei coefficienti  $\psi_0$ ,  $\gamma_G$ ,  $\gamma_P$  e  $\gamma_Q$  sono riportati in Tabella 5.4 e Tabella 5.6.

		Coefficiente	EQU <sup>(1)</sup>	A1 STR	A2 GEO
Carichi permanenti	favorevoli	$\gamma_{G1}$	0,90	1,00	1,00
	sfavorevoli		1,10	1,35	1,00
Carichi permanenti non strutturali <sup>(2)</sup>	favorevoli	$\gamma_{G2}$	0,00	0,00	0,00
	sfavorevoli		1,50	1,50	1,30
Carichi variabili da traffico	favorevoli	$\gamma_Q$	0,00	0,00	0,00
	sfavorevoli		1,35	1,35	1,15
Carichi variabili	favorevoli	$\gamma_{Qi}$	0,00	0,00	0,00
	sfavorevoli		1,50	1,50	1,30
Distorsioni e presollecitazioni di progetto	favorevoli	$\gamma_{\epsilon 1}$	0,90	1,00	1,00
	sfavorevoli		1,00 <sup>(3)</sup>	1,00 <sup>(4)</sup>	1,00
Ritiro e viscosità, Variazioni termiche, Cedimenti vincolari	favorevoli	$\gamma_{\epsilon 2}, \gamma_{\epsilon 3}, \gamma_{\epsilon 4}$	0,00	0,00	0,00
	sfavorevoli		1,20	1,20	1,00

<sup>(1)</sup> Equilibrio che non coinvolga i parametri di deformabilità e resistenza del terreno; altrimenti si applicano i valori di GEO.  
<sup>(2)</sup> Nel caso in cui i carichi permanenti non strutturali (ad es. carichi permanenti portati) siano compiutamente definiti si potranno adottare gli stessi coefficienti validi per le azioni permanenti.  
<sup>(3)</sup> 1,30 per instabilità in strutture con precompressione esterna  
<sup>(4)</sup> 1,20 per effetti locali

Tabella 5.4. – Coefficienti parziali di sicurezza per le combinazioni di carico agli SLU

Per quanto riguarda i carichi mobili, la simultaneità dei sistemi di carico definiti nel DM 17 gennaio 2018 (modelli di carico 1, 2, 3, 4, 6 - forze orizzontali - carichi agenti su ponti pedonali), deve essere tenuta in conto considerando i “gruppi di carico” definiti nella tabella seguente. Ognuno dei “gruppi di carico”, indipendente dagli altri, deve essere considerato come azione caratteristica per la combinazione con gli altri carichi agenti sul ponte.

Carichi sulla carreggiata						Carichi su marciapiedi e piste ciclabili	
		Carichi verticali			Carichi orizzontali		Carichi verticali
Gruppo di azioni	Modello principale (Schemi di carico 1, 2, 3, 4, 6)	Veicoli speciali	Folla (Schema di carico 5)	Frenatura q <sub>3</sub>	Forza centrifuga q <sub>4</sub>	Carico uniformemente distribuito	
1	Valore caratteristico					Schema di carico 5 con valore di combinazione 2,5 kN/m <sup>2</sup>	
2 a	Valore frequente			Valore caratteristico			
2 b	Valore frequente				Valore caratteristico		
3 <sup>(*)</sup>						Schema di carico 5 con valore caratteristico 5,0 kN/m <sup>2</sup>	
4 <sup>(**)</sup>			Schema di carico 5 con valore caratteristico 5,0 kN/m <sup>2</sup>			Schema di carico 5 con valore caratteristico 5,0 kN/m <sup>2</sup>	
5 <sup>(***)</sup>	Da definirsi per il singolo progetto	Valore caratteristico o nominale					

<sup>(\*)</sup> Ponti di 3<sup>a</sup> categoria  
<sup>(\*\*)</sup> Da considerare solo se richiesto dal particolare progetto (ad es. ponti in zona urbana)  
<sup>(\*\*\*)</sup> Da considerare solo se si considerano veicoli speciali

<p>ANAS S.p.A.</p> <p>S.S. 389 TRONCO VILLANOVA – LANUSEI – TORTOLÌ</p> <p>LOTTO BIVIO VILLAGRANDE – SVINCOLO DI ARZANA</p> <p>DAL Km 51+100,00 DELLA S.S. 389 VAR AL Km 177+930,00 DELLA S.S. 389</p> <p><b>Viadotto VI02 - Relazione di calcolo impalcato</b></p>	<p>File: T00_VI02_STR_RE01_A</p> <p>Data: Agosto 2020</p> <p>Pag. 31 di 122</p>
---	---

Tabella 5.5 - Gruppi di carico da traffico per le combinazioni di carico

<i>Azioni</i>	<i>Gruppo di azioni (Tabella 5.1.IV)</i>	<i>Coefficiente <math>\psi_0</math> di combinazione</i>	<i>Coefficiente <math>\psi_1</math> (valori frequenti)</i>	<i>Coefficiente <math>\psi_2</math> (valori quasi permanenti)</i>
<i>Azioni da traffico (Tabella 5.1.IV)</i>	Schema 1 (Carichi tandem)	0,75	0,75	0,0
	Schemi 1, 5 e 6 (Carichi distribuiti)	0,40	0,40	0,0
	Schemi 3 e 4 (carichi concentrati)	0,40	0,40	0,0
	Schema 2	0,0	0,75	0,0
	2	0,0	0,0	0,0
	3	0,0	0,0	0,0
	4 (folla)	----	0,75	0,0
<i>Vento <math>q_5</math></i>	Vento a ponte scarico			
	SLU e SLE	0,6	0,2	0,0
	Esecuzione	0,8	----	0,0
	Vento a ponte carico	0,6		
<i>Neve <math>q_5</math></i>	SLU e SLE	0,0	0,0	0,0
	esecuzione	0,8	0,6	0,5
<i>Temperatura</i>	$T_k$	0,6	0,6	0,5

Tabella 5.6. - Coefficienti  $\psi_0$ ,  $\psi_1$ ,  $\psi_2$  per le azioni variabili per ponti stradali e pedonali



<p>ANAS S.p.A.  S.S. 389 TRONCO VILLANOVA – LANUSEI – TORTOLI  LOTTO BIVIO VILLAGRANDE – SVINCOLO DI ARZANA  DAL Km 51+100,00 DELLA S.S. 389 VAR AL Km 177+930,00 DELLA S.S. 389  <b>Viadotto VI02 - Relazione di calcolo impalcato</b></p>	<p>File: T00_VI02_STR_RE01_A  Data: Agosto 2020  Pag. 32 di 122</p>
---	---

## 6.ANALISI E VERIFICHE SLU

### 6.1 Verifiche di resistenza agli SLU

La resistenza di calcolo della sezione di acciaio nei confronti delle tensioni normali è funzione della classificazione della sezione trasversale.

Nel caso di sezioni di classe 4 tale resistenza è valutata in campo elastico, tenendo conto degli effetti dell'instabilità locale.

La verifica è soddisfatta se risulta:

$$\eta_1 = \frac{N_{Ed}^s}{f_{yk} \cdot A_{eff} / \gamma_{M0}} + \frac{M_{Ed}^s + N_{Ed}^s \cdot e_N}{f_{yk} \cdot W_{eff} / \gamma_{M0}} \leq 1,0$$

con

- $N_{Ed}^s$  e  $M_{Ed}^s$  sollecitazioni assiali e flessionali di progetto sulla sola parte metallica;
- $A_{eff}$  e  $W_{eff}$  proprietà efficaci della sezione trasversale;
- $e_N$  spostamento della posizione del baricentro;
- $\gamma_{M0}$  coefficiente parziale di sicurezza.

Nel caso di sezioni di classe 1,2 e 3 si fa riferimento, con espressioni analoghe, ai moduli plastici (classi 1 e 2) ed elastici (classe 3).

La sollecitazione tagliante è supposta agente solo sull'anima della trave metallica.

La resistenza di progetto a taglio è definita come (EN 1993-1-1, eq. (6.18)):

$$V_{b,Rd} = V_{bw,Rd} = A_v (f_{yk} / \sqrt{3}) / \gamma_{M0}$$

Qualora la resistenza sia determinata dall'instabilità dell'anima, ovvero nel caso in cui risulti (EN 1993-1-1, eq. (6.22)):

$$\frac{h_w}{t} > 72 \frac{\varepsilon}{\eta}$$

dove:

- $\eta = 1,20$  per gradi di acciaio inferiori a S460;
- $h_w$  e  $t$  sono rispettivamente l'altezza e lo spessore dell'anima;

Allora la resistenza a taglio è determinata come (EN 1993-1-5 (eq 5.2)):

$$V_{b,Rd} = V_{bw,Rd} = \chi_w h_w t (f_{yk} / \sqrt{3}) / \gamma_{M1}$$

dove:

- $\chi_w$  determinato secondo EN 1993-1-5 Tabella 5.1;
- $\gamma_{M1}$  è il fattore parziale di sicurezza.

Il contributo delle flange e della soletta composita viene sempre ignorato.

<p>ANAS S.p.A.</p> <p>S.S. 389 TRONCO VILLANOVA – LANUSEI – TORTOLI          LOTTO BIVIO VILLAGRANDE – SVINCOLO DI ARZANA          DAL Km 51+100,00 DELLA S.S. 389 VAR AL Km 177+930,00 DELLA S.S. 389  <b>Viadotto VI02 - Relazione di calcolo impalcato</b></p>	<p>File: T00_VI02_STR_RE01_A          Data: Agosto 2020          Pag. 33 di 122</p>
---	---

La verifica a taglio è posta in forma adimensionale come rapporto tra le azioni sollecitanti e la capacità resistente:

$$\eta_3 = \frac{V_{Ed}}{V_{b,Rd}} \leq 1,0$$

dove  $V_{Ed}$  è la sollecitazione tagliante di progetto.

Per valori di  $\bar{\eta}_3$  inferiori a 0,5 non è necessario controllare l'interazione tra le sollecitazioni normali e tangenziali; per valori superiori si adotta la seguente espressione del dominio di resistenza (EN 1993-1-2006,7.1 (1)):

$$\bar{\eta}_1 + \left(1 - \frac{M_{f,Rd}}{M_{pl,Rd}}\right) \cdot (2 \cdot \bar{\eta}_3 - 1)^2 \leq 1,0$$

in cui

- $M_{f,Rd}$  è il momento resistente di progetto delle sole flange efficaci;
- $M_{pl,Rd}$  è la resistenza plastica della sezione trasversale composta dall'area effettiva delle flange e dall'intera anima senza tener conto della classe di quest'ultima.
- $\bar{\eta}_1 = \frac{M_{Ed}}{M_{pl,Rd}}$
- $\bar{\eta}_3 = \frac{V_{Ed}}{V_{bw,Rd}}$

## 6.2 Connessione soletta-travi - resistenza pioli tipo "Nelson"

Il sistema di collegamento e collaborazione strutturale nelle fasi II e III è realizzato mediante degli elementi connettori a piolo tipo Nelson Ø 20 mm in acciaio S235J2G3 saldati all'ala superiore delle travi in acciaio.

Si ipotizza la realizzazione di un sistema di piolatura in grado di assicurare un grado di connessione  $\eta$  pari a 1.

d = 20 mm

$f_t = 450 \text{ N/mm}^2$

$\gamma_v = 1.25$

$\alpha = 1.0$

diametro pioli tipo "Nelson"

resistenza a rottura acciaio del piolo

coefficiente parziale di sicurezza

larghezza destra

<p>ANAS S.p.A.  S.S. 389 TRONCO VILLANOVA – LANUSEI – TORTOLÌ  LOTTO BIVIO VILLAGRANDE – SVINCOLO DI ARZANA  DAL Km 51+100,00 DELLA S.S. 389 VAR AL Km 177+930,00 DELLA S.S. 389  <b>Viadotto VI02 - Relazione di calcolo impalcato</b></p>	<p>File: T00_VI02_STR_RE01_A  Data: Agosto 2020  Pag. 34 di 122</p>
---	---

$$P_{Rda} = 0.8 \pi \frac{f_t d^2}{4 y_v} = 90.5 \text{ kN} \quad \text{resistenza di progetto piolo lato acciaio}$$

$$P_{Rdc} = 0.29 \alpha d^2 \frac{\sqrt{f_{ck} E_{cm}}}{y_v} = 96.5 \text{ kN} \quad \text{resistenza di progetto piolo lato cls}$$

$$P_{Rd} = \min (P_{Rda}, P_{Rdc}) = 90.5 \text{ kN} \quad \text{resistenza di progetto piolo}$$

### 6.3 Combinazioni di carico

Le combinazioni di carico adottate per le verifiche di resistenza agli SLU sono le seguenti:

$$\blacktriangleright F_d = 1,35 \cdot G_k + 1,20 \cdot \varepsilon_2 + 1,35 \cdot Q_k + 1,5 \cdot 0,6 \cdot Q_5 + 1,2 \cdot 0,6 \cdot \varepsilon_3$$

essendo:

- $G_k$  pesi propri e carichi permanenti ( $g_1 + g_2$ );
- $Q_k$  carichi mobili;
- $Q_5$  azione compatibile del vento  $F_w^*$  ;
- $\varepsilon_2$  ritiro del calcestruzzo;
- $\varepsilon_3$  (-10 °C) variazione termica differenziale negativa;

$$\blacktriangleright F_d = 1,35 \cdot G_k + 1,20 \cdot \varepsilon_2 + 1,35 \cdot Q_k + 1,5 \cdot 0,6 \cdot Q_5 + 1,2 \cdot 0,6 \cdot \varepsilon_3$$

- $\varepsilon_3$  (+10 °C) variazione termica differenziale positiva;

### 6.4 Analisi Modale

Si riportano in termini numerici, come output del modello di calcolo, i risultati dell'analisi modale dell'impalcato. Si riportano i modi di vibrare che garantiscono l'eccitazione dell'85% della massa in tutte le componenti di spostamento.

Si evidenziano i primi 4 periodi propri di vibrare.

**TABLE: Modal Participating Mass Ratios**

OutputCase	StepType	StepNum	Period	UX	UY	UZ	SumUX	SumUY	SumUZ	RX	RY	RZ	SumRX	SumRY	SumRZ
Text	Text	Unitless	Sec	Unitless	Unitless	Unitless	Unitless	Unitless	Unitless	Unitless	Unitless	Unitless	Unitless	Unitless	Unitless
MODAL	Mode	1	0.58	22%	0%	2%	22%	0%	2%	0%	5%	0%	0%	5%	0%
MODAL	Mode	2	0.45	0%	0%	0%	22%	0%	2%	0%	0%	1%	0%	5%	1%
MODAL	Mode	3	0.40	8%	0%	0%	30%	0%	2%	0%	4%	0%	0%	9%	1%
MODAL	Mode	4	0.38	0%	1%	0%	30%	1%	2%	1%	0%	2%	1%	9%	3%
MODAL	Mode	5	0.37	8%	0%	3%	38%	1%	5%	0%	3%	0%	1%	12%	3%
MODAL	Mode	6	0.35	0%	35%	0%	38%	36%	5%	11%	0%	16%	11%	12%	18%
MODAL	Mode	7	0.32	0%	12%	0%	38%	48%	5%	18%	0%	3%	30%	12%	21%
MODAL	Mode	8	0.31	0%	5%	0%	38%	54%	5%	0%	0%	38%	30%	12%	59%
MODAL	Mode	9	0.29	10%	0%	6%	48%	54%	12%	0%	3%	0%	30%	15%	59%
MODAL	Mode	10	0.28	0%	2%	0%	48%	56%	12%	1%	0%	0%	31%	15%	59%
MODAL	Mode	11	0.27	0%	6%	0%	48%	62%	12%	5%	0%	0%	36%	15%	59%
MODAL	Mode	12	0.26	9%	0%	0%	57%	62%	12%	0%	0%	0%	36%	15%	59%
MODAL	Mode	13	0.26	2%	0%	0%	58%	62%	12%	0%	31%	0%	36%	47%	59%
MODAL	Mode	14	0.23	8%	0%	0%	67%	62%	12%	0%	0%	0%	36%	47%	59%
MODAL	Mode	15	0.22	0%	0%	0%	67%	62%	12%	6%	0%	3%	42%	47%	62%
MODAL	Mode	16	0.22	0%	0%	0%	67%	62%	12%	2%	0%	9%	44%	47%	72%
MODAL	Mode	17	0.21	0%	0%	0%	67%	62%	12%	1%	0%	0%	45%	47%	72%
MODAL	Mode	18	0.21	0%	0%	28%	67%	62%	40%	0%	1%	0%	45%	48%	72%
MODAL	Mode	19	0.20	8%	0%	0%	75%	62%	40%	0%	0%	0%	45%	48%	72%
MODAL	Mode	20	0.19	7%	0%	0%	82%	62%	40%	0%	0%	0%	45%	48%	72%
MODAL	Mode	21	0.17	0%	1%	0%	82%	63%	40%	0%	0%	0%	46%	48%	72%
MODAL	Mode	22	0.16	0%	0%	0%	82%	63%	40%	0%	0%	0%	46%	48%	72%
MODAL	Mode	23	0.16	0%	0%	0%	82%	63%	40%	0%	0%	0%	46%	48%	72%
MODAL	Mode	24	0.15	0%	0%	0%	82%	63%	40%	0%	0%	0%	46%	48%	72%
MODAL	Mode	25	0.14	0%	0%	0%	82%	63%	40%	0%	0%	0%	46%	48%	72%
MODAL	Mode	26	0.13	0%	0%	0%	82%	63%	40%	0%	0%	1%	46%	48%	73%
MODAL	Mode	27	0.12	2%	0%	0%	84%	63%	40%	0%	2%	0%	46%	50%	73%
MODAL	Mode	28	0.11	0%	0%	0%	84%	63%	40%	0%	0%	0%	46%	50%	73%
MODAL	Mode	29	0.11	2%	0%	0%	85%	63%	40%	0%	0%	0%	46%	50%	73%
MODAL	Mode	30	0.11	0%	0%	0%	85%	63%	40%	0%	0%	1%	46%	50%	74%
MODAL	Mode	31	0.08	0%	7%	0%	85%	70%	40%	0%	0%	1%	46%	50%	74%
MODAL	Mode	32	0.08	0%	0%	4%	85%	70%	45%	0%	2%	0%	46%	51%	74%
MODAL	Mode	33	0.07	0%	6%	0%	85%	76%	45%	2%	0%	10%	48%	51%	84%
MODAL	Mode	34	0.07	0%	10%	0%	85%	86%	45%	4%	0%	5%	52%	51%	90%
MODAL	Mode	35	0.06	1%	0%	0%	87%	86%	45%	0%	1%	0%	52%	52%	90%
MODAL	Mode	36	0.05	0%	0%	9%	87%	86%	54%	0%	0%	0%	52%	53%	90%
MODAL	Mode	37	0.03	10%	0%	0%	97%	86%	54%	0%	0%	0%	52%	53%	90%
MODAL	Mode	38	0.03	0%	1%	0%	97%	87%	54%	2%	0%	5%	54%	53%	95%
MODAL	Mode	39	0.03	0%	0%	38%	97%	87%	92%	0%	0%	0%	54%	53%	95%
MODAL	Mode	40	0.02	0%	9%	0%	97%	96%	92%	26%	0%	1%	80%	53%	96%

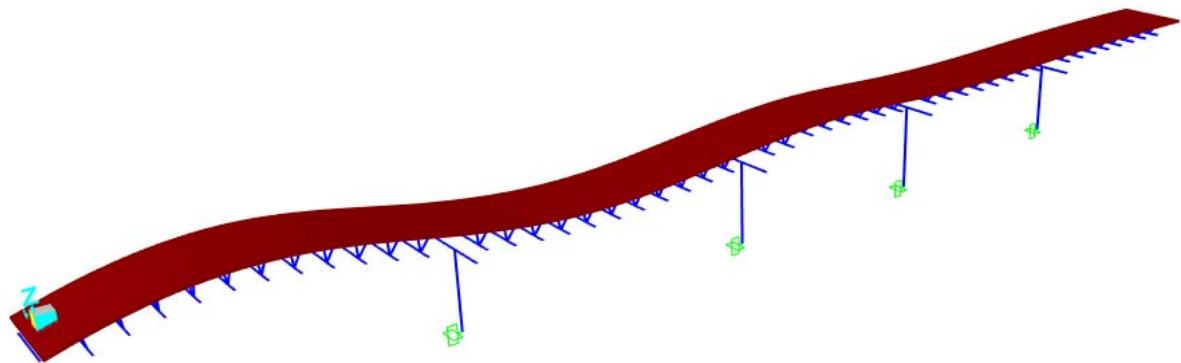


Figura 6.1 - . Modo 1

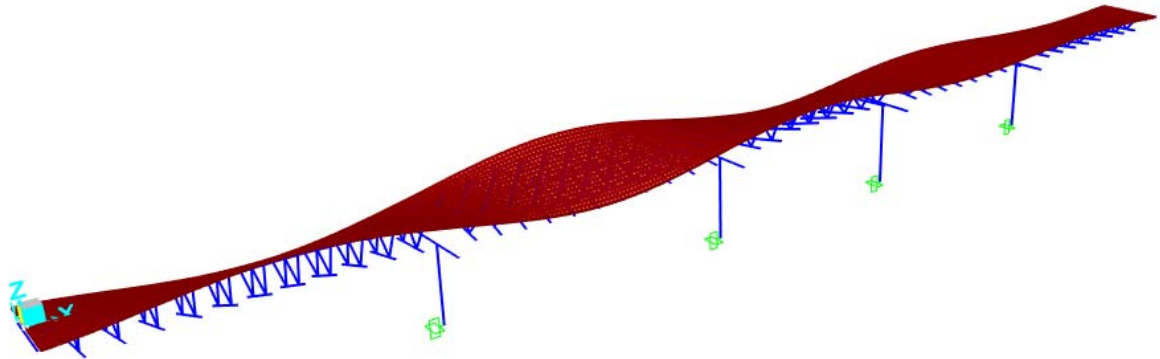


Figura 6.2 - Modo 2

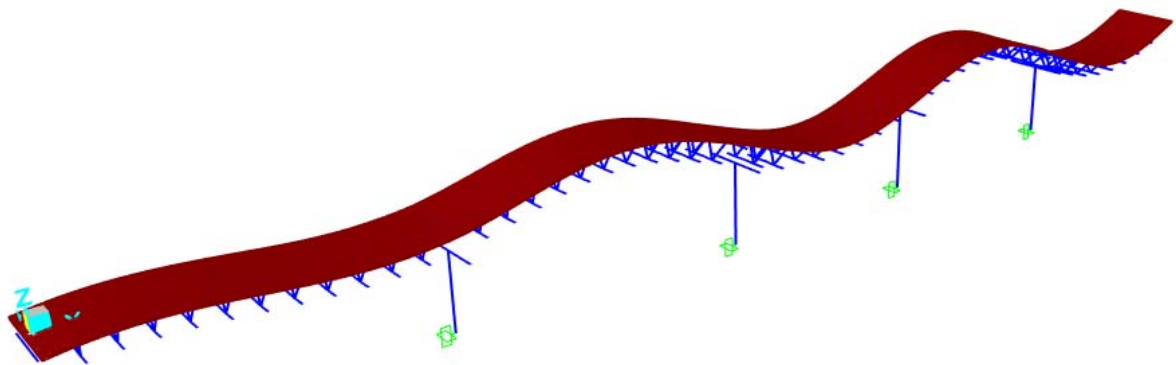


Figura 6.3 - Modo 3

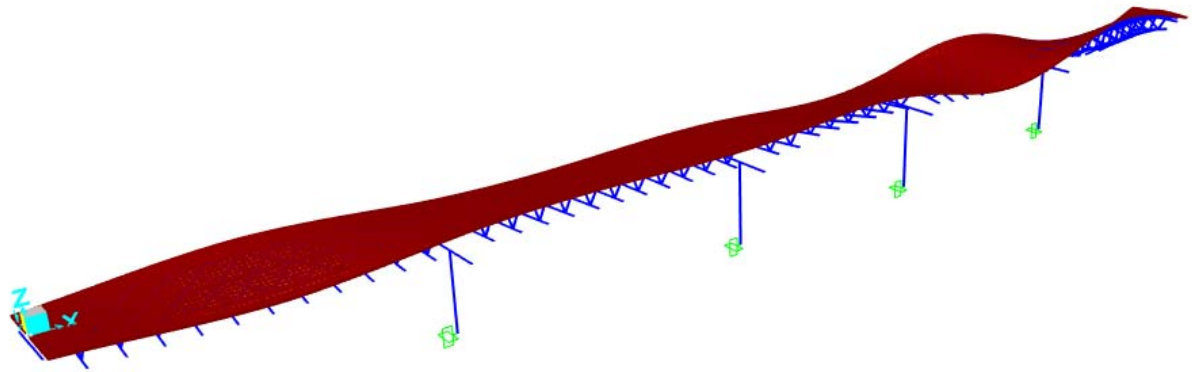


Figura 6.4 -. Modo 4

## 6.5 Verifica dell'impalcato acciaio-clt

### 6.5.1 Sollecitazioni - SLU

Fase1:

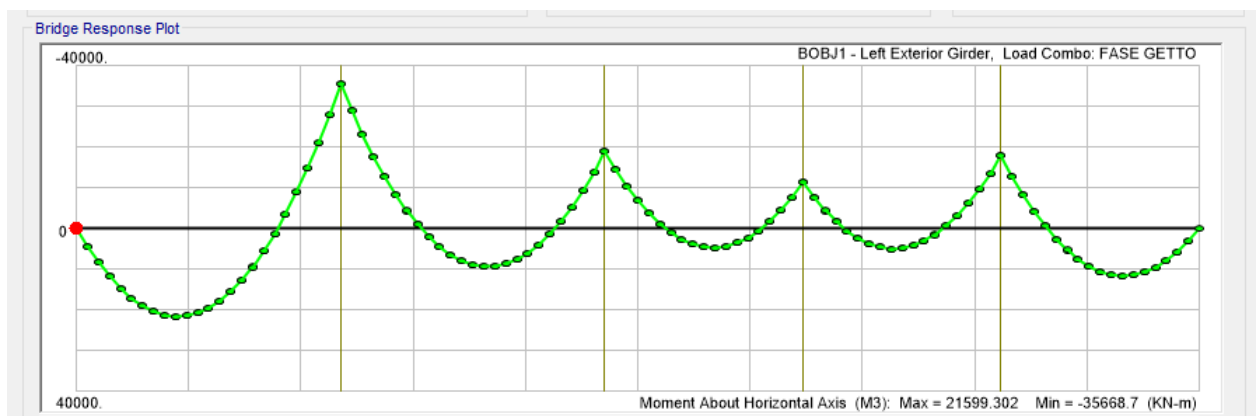


Figura 6.5 -. Momento flettente (kN\*m)

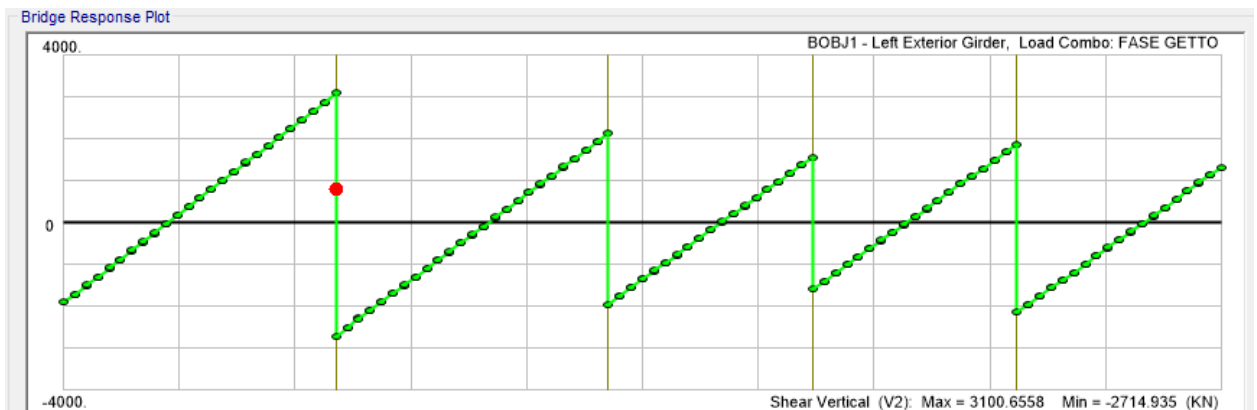


Figura 6.6 -. Taglio (kN)

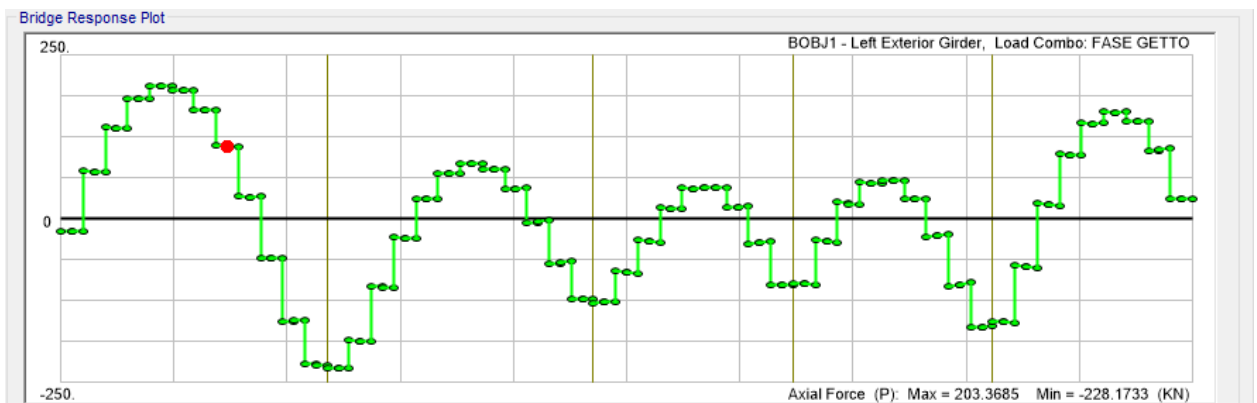


Figura 6.7 -. Sforzo Normale (kN)

Fase2:

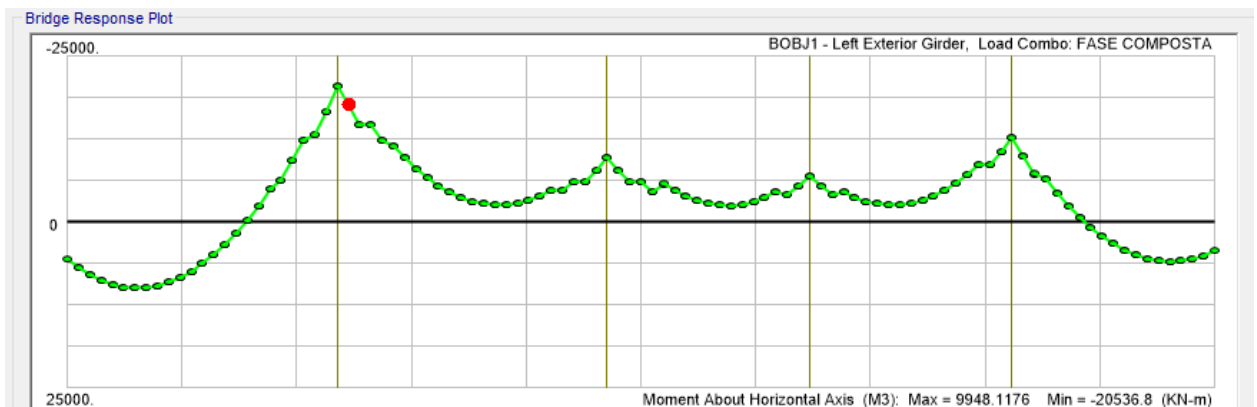


Figura 6.8 -. Momento flettente (kN\*m)

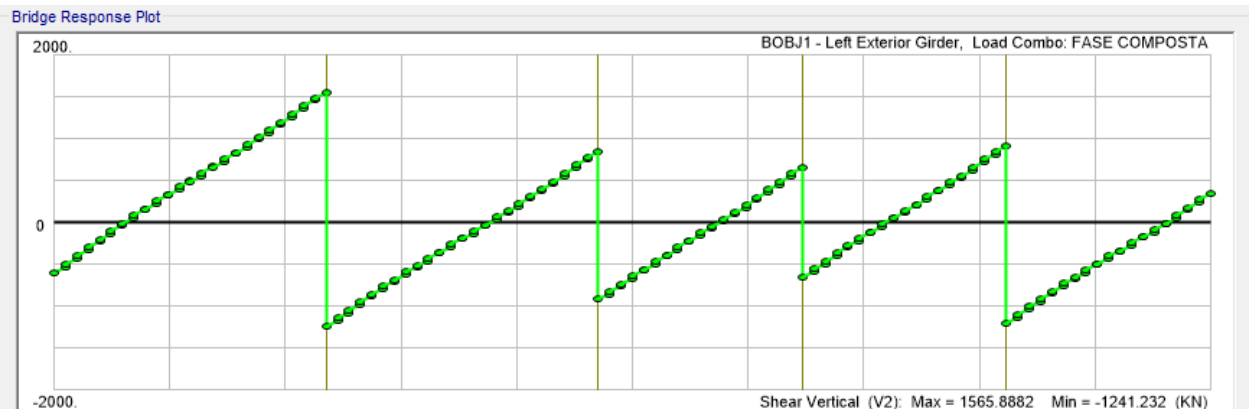


Figura 6.9 -. Taglio (kN)

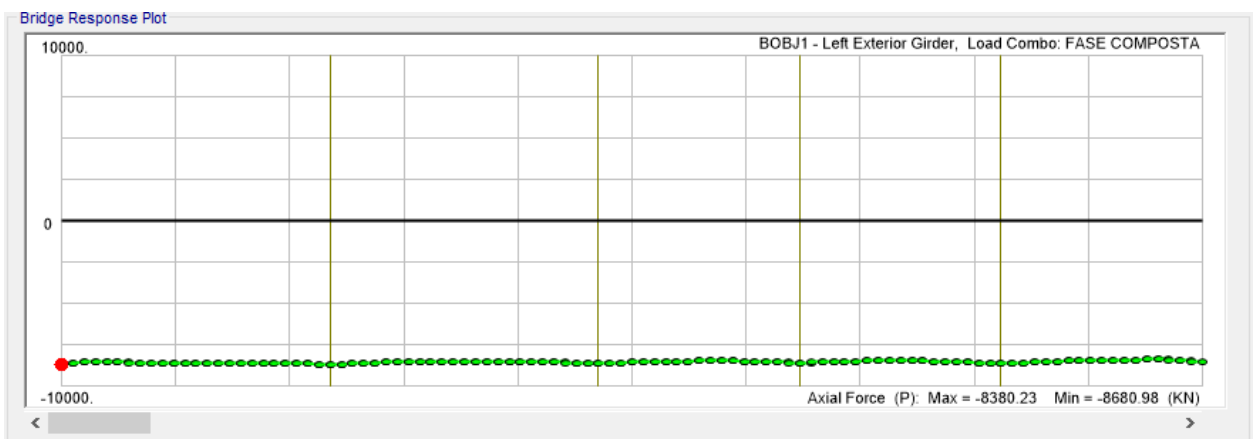


Figura 6.10 -. Sforzo Normale (kN)

Fase3:

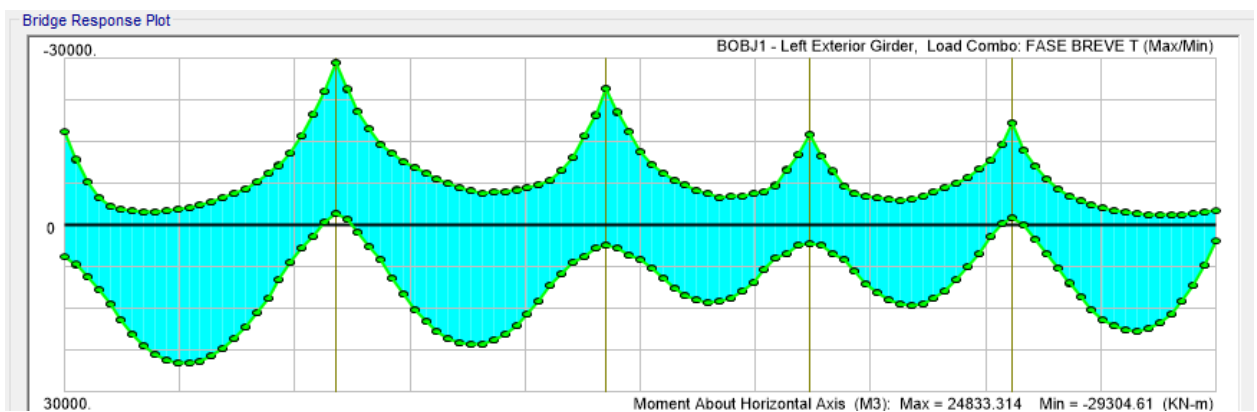


Figura 6.11 -. Momento flettente (kN\*m)



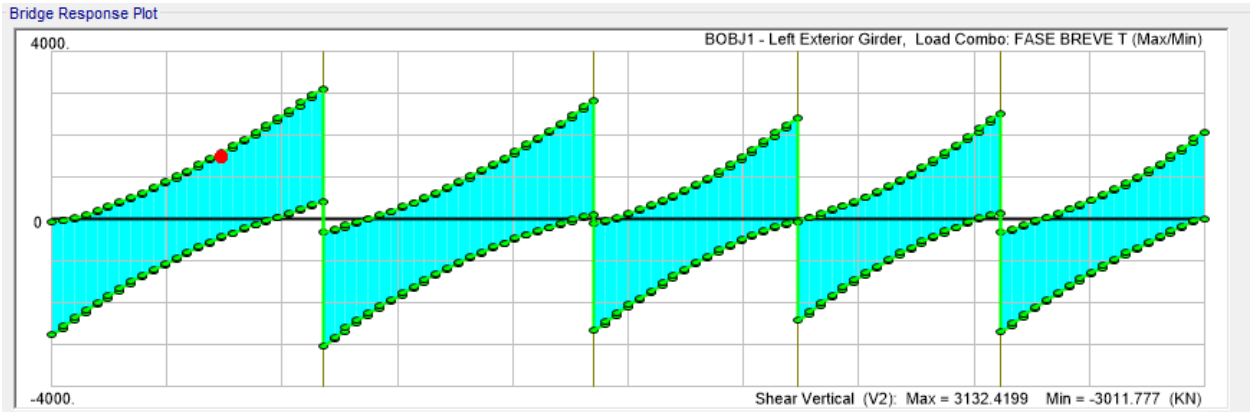


Figura 6.12 -. Taglio (kN)

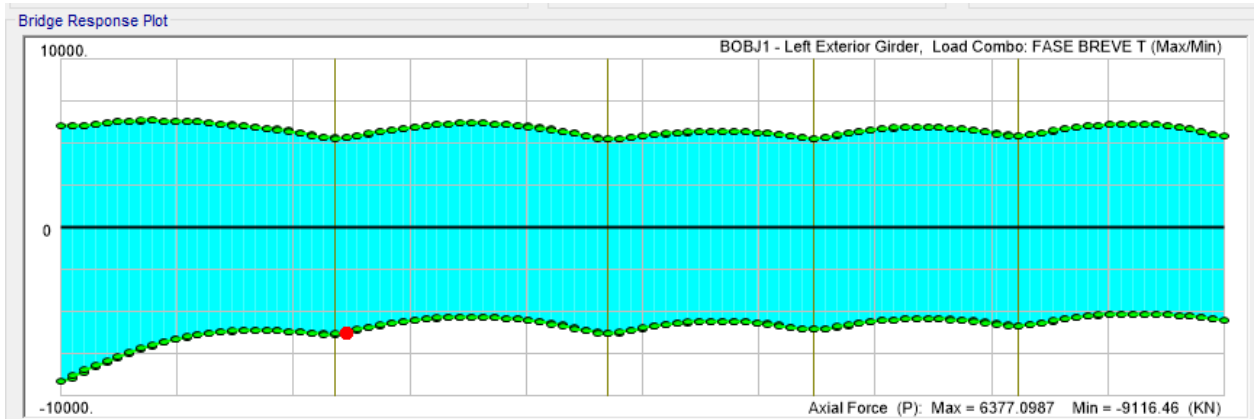


Figura 6.13 -. Sforzo Normale (kN)

## 6.5.2 Risultati dell'analisi

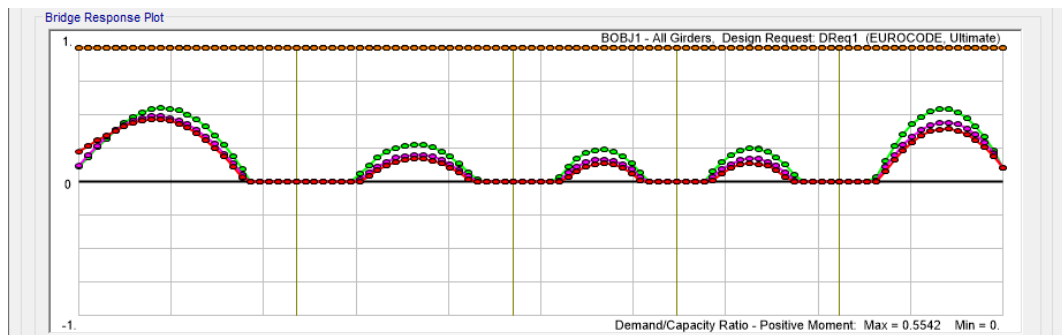


Figura 6.14 -. Verifica momento positivo

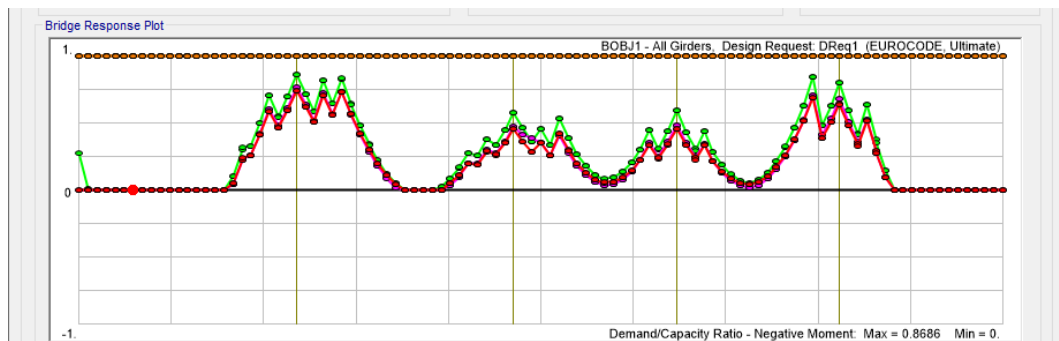


Figura 6.15 -. Verifica momento negativo

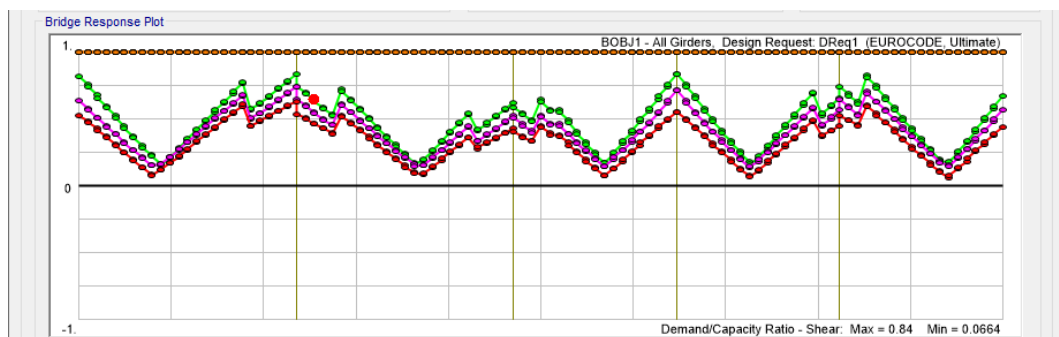


Figura 6.16 -. Verifica taglio

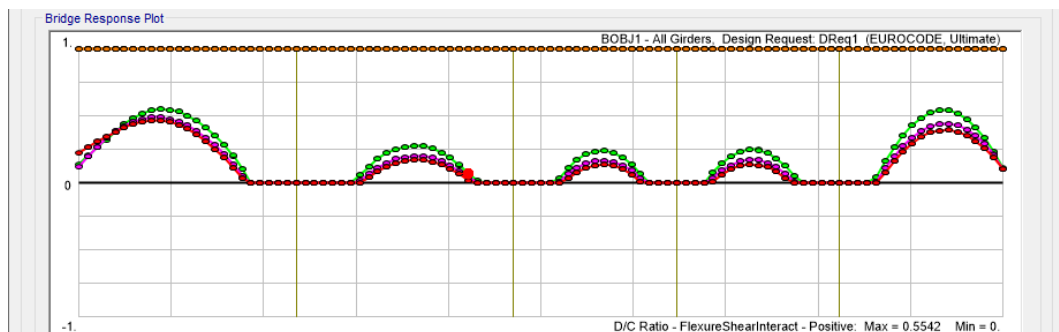


Figura 6.17 -. Verifica interazione taglio/momento positivo

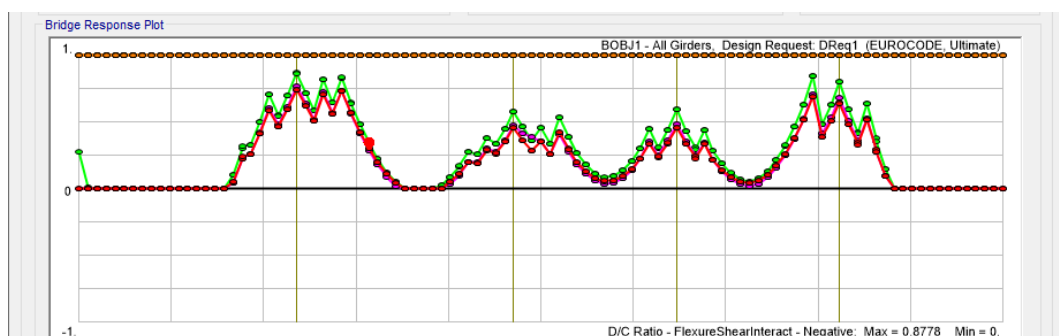


Figura 6.18 -. Verifica interazione taglio/momento negativo

### 6.5.3Pioli

Campata 60m:

fyk	tensione caratteristica acciaio S355	355	MPa
fsk	tensione caratteristica acciaio B450C	450	MPa
fck	resistenza caratteristica cls C32/40	32	MPa
$\gamma_a$	fattore parziale acciaio S355	1.05	
$\gamma_s$	fattore parziale acciaio B450C	1.15	
$\gamma_c$	fattore parziale cls C32/40	1.5	
sp	spessore soletta	0.35	m
d	diametro armatura	20	mm
p	passo armatura	0.1	m
n	numero strati	2	
beff	larghezza efficace	5.25	m
Aa	area del profilo in acciaio	0.230	m <sup>2</sup>
Ac	area della soletta	1.8375	m <sup>2</sup>
Ase	area armatura	0.033	m <sup>2</sup>
Vld	forza di scorrimento campata esterna C4.3.3	46228	kN
Vld	forza di scorrimento campata interna C4.3.4	59136	kN
L	lunghezza trave campata esterna	60	m
kp	numero di pioli per riga	4	
Fpn	resistenza caratteristica piolo	90.48	kN
np min	numero minimo di righe	127.73	
np	numero di righe	128	
<b>p</b>	<b>passo</b>	<b>0.469</b>	<b>m</b>

L	lunghezza trave campata interna	60	m
kp	numero di pioli per riga	4	
Fpn	resistenza caratteristica piolo	90.48	kN
np min	numero minimo di righe	163.39	
np	numero di righe	164	
<b>p</b>	<b>passo</b>	<b>0.366</b>	<b>m</b>

#### Campata 45m:

fyk	tensione caratteristica acciaio S355	355	MPa
fsk	tensione caratteristica acciaio B450C	450	MPa
fck	resistenza caratteristica cls C32/40	32	MPa
γa	fattore parziale acciaio S355	1.05	
γs	fattore parziale acciaio B450C	1.15	
γc	fattore parziale cls C32/40	1.5	
sp	spessore soletta	0.35	m
d	diametro armatura	20	mm
p	passo armatura	0.1	m
n	numero strati	2	
beff	larghezza efficace	5.25	m
Aa	area del profilo in acciaio	0.120	m <sup>2</sup>
Ac	area della soletta	1.8375	m <sup>2</sup>
Ase	area armatura	0.033	m <sup>2</sup>
Vld	forza di scorrimento campata esterna C4.3.3	40571	kN
Vld	forza di scorrimento campata interna C4.3.4	53479	kN
L	lunghezza trave campata esterna	45	m
kp	numero di pioli per riga	4	
Fpn	resistenza caratteristica piolo	90.48	kN
np min	numero minimo di righe	112.10	
np	numero di righe	113	
<b>p</b>	<b>passo</b>	<b>0.398</b>	<b>m</b>
L	lunghezza trave campata interna	45	m
kp	numero di pioli per riga	4	
Fpn	resistenza caratteristica piolo	90.48	kN

<p><i>ANAS S.p.A.</i></p> <p>S.S. 389 TRONCO VILLANOVA – LANUSEI – TORTOLI          LOTTO BIVIO VILLAGRANDE – SVINCOLO DI ARZANA          DAL Km 51+100,00 DELLA S.S. 389 VAR AL Km 177+930,00 DELLA S.S. 389  <b>Viadotto VI02 - Relazione di calcolo impalcato</b></p>	<p>File: T00_VI02_STR_RE01_A          Data: Agosto 2020          Pag. 44 di 122</p>
--	---

np min	numero minimo di righe	147.77	
np	numero di righe	148	
<b>p</b>	<b>passo</b>	<b>0.304</b>	<b>m</b>

<p>ANAS S.p.A.  S.S. 389 TRONCO VILLANOVA – LANUSEI – TORTOLI  LOTTO BIVIO VILLAGRANDE – SVINCOLO DI ARZANA  DAL Km 51+100,00 DELLA S.S. 389 VAR AL Km 177+930,00 DELLA S.S. 389  <b>Viadotto VI02 - Relazione di calcolo impalcato</b></p>	<p>File: T00_VI02_STR_RE01_A  Data: Agosto 2020  Pag. 45 di 122</p>
---	---

## 7. ANALISI E VERIFICHE IN ESERCIZIO

### 7.1 Verifiche “a respiro” delle anime

Le verifiche a respiro sono condotte con riferimento alla norma EN 1993-2: 2006 relativa al progetto dei ponti in acciaio.

La snellezza dell'anima deve essere limitata per evitare fenomeni di “respiro” ovvero deformazioni laterali fuori dal piano che possono arrecare danneggiamenti per fatica, nella zona di collegamento fra anima e piattabande.

La verifica a respiro può essere trascurata per i pannelli d'anima senza irrigidimenti longitudinali o per pannelli secondari di anime irrigidite, dove è soddisfatto il seguente criterio:

$$b/t \leq 30 + 4,0 L \leq 300 \quad (\text{per ponti stradali})$$

dove L è la lunghezza della campata in m, ma non inferiore a 20 m.

Se la disposizione precedente non è soddisfatta la verifica “a respiro” risulta soddisfatta se:

$$\sqrt{\left(\frac{\sigma_{x,Ed,ser}}{k_{\sigma} \cdot \sigma_E}\right)^2 + \left(\frac{1,1 \cdot \tau_{x,Ed,ser}}{k_{\tau} \cdot \sigma_E}\right)^2} \leq 1,1$$

dove:

- $\sigma_{x,Ed,ser}$  e  $\tau_{x,Ed,ser}$  sono le tensioni calcolate per le combinazioni di carico frequente;
- $k_{\sigma}$  e  $k_{\tau}$  sono i coefficienti di imbozzamento in campo elastico;
- $\sigma_E = 190000 \cdot \left(\frac{t}{b}\right)^2$  [MPa];
- “b” è l'altezza del pannello d'anima.

Le verifiche risultano sempre soddisfatte in quanto risulta che:

- $b/t = 3940/20 = 197 \leq 30 + 4,0 L = 270$  per la campata da 60m
- $b/t = 2930/20 = 147 \leq 30 + 4,0 L = 210$  per la campata da 45m.

### 7.2 Verifiche di resistenza per lo stato limite di fatica

Le verifiche a fatica sono eseguite in conformità al D.M. 17/01/2018 (carichi di progetto e coefficienti di sicurezza), ed alle indicazioni riportate della Circ. Min. Infrastrutture e Trasporti 2 Febbraio 2009, n. 617, relative alle metodologie ed i particolari costruttivi (par. C.4.2.4.1.4.).

I ponti a sezione composta sono soggetti ad azioni dinamiche variabili nel tempo, e possono manifestare, in tempi più o meno lunghi, problemi legati alla fatica, con conseguente limitazione della funzionalità in esercizio e, nelle situazioni più critiche, il collasso della struttura.

L'esecuzione delle verifiche di resistenza a fatica dei componenti degli impalcato metallici o a sezione composta prevede l'individuazione dei dettagli maggiormente sensibili e la loro

<p>ANAS S.p.A.</p> <p>S.S. 389 TRONCO VILLANOVA – LANUSEI – TORTOLÌ</p> <p>LOTTO BIVIO VILLAGRANDE – SVINCOLO DI ARZANA</p> <p>DAL Km 51+100,00 DELLA S.S. 389 VAR AL Km 177+930,00 DELLA S.S. 389</p> <p><b>Viadotto VI02 - Relazione di calcolo impalcato</b></p>	<p>File: T00_VI02_STR_RE01_A</p> <p>Data: Agosto 2020</p> <p>Pag. 46 di 122</p>
---	---

classificazione in base alle curve S-N, nonché alla scelta del relativo coefficiente parziale di sicurezza  $\gamma_{Mf}$ . Il coefficiente  $\gamma_{Mf}$  dipende sia dalla accessibilità per l'ispezione, sia dall'entità delle conseguenze delle crisi per fatica dell'elemento o della struttura. Si possono utilizzare due diversi approcci progettuali:

- **critério del danneggiamento accettabile** per strutture poco sensibili alla rottura per fatica.
- **critério della vita utile a fatica** per strutture sensibili alla rottura per fatica.

Criteri di valutazione	Conseguenze moderate ( $\gamma_{Mf}$ )	Conseguenze significative ( $\gamma_{Mf}$ )
Danneggiamento accettabile	1,00	1,15
Vita utile a fatica	1,15	1,35

Tabella 7.1 - Coefficienti parziali  $\gamma_{Mf}$

La verifica a fatica può essere condotta controllando che i valori massimi dei delta di tensione sulla struttura siano inferiori ai limiti di fatica per i diversi dettagli costruttivi (verifica per "Vita Illimitata") oppure controllando che, per un definito numero di cicli di tensione, la struttura possa subire delta di tensione in grado di creare danneggiamento ma con effetto complessivo non significativo nella vita di progetto dell'opera (verifica a "Danneggiamento").

I modelli di carico da utilizzarsi per la verifica a fatica degli impalcati stradali sono:

- il modello di carico LM1 costituito da dallo schema di carico 1, ma con valori dei carichi concentrati ridotti del 30 % e carichi distribuiti ridotti del 70 % (utilizzabile per verifiche a vita illimitata);

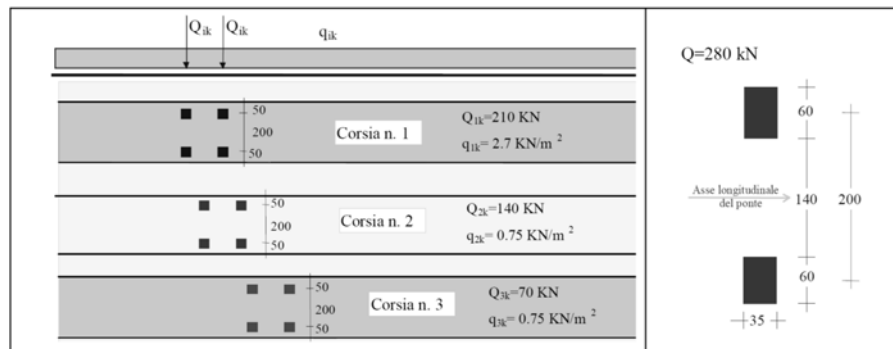


Figura 7.1 - Modello di carico a fatica LM1

- il modello di carico LM2 costituito da un set di veicoli con ingombro geometrico e peso definiti (utilizzabile per verifiche a vita illimitata);

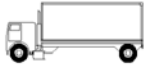




SAGOMA del VEICOLO	Distanza tra gli assi (m)	Carico frequente per asse (kN)	Tipo di ruota (Tab. 5.1.IX)
	4,5	90 190	A B
	4,20 1,30	80 140 140	A B B
	3,20 5,20 1,30 1,30	90 180 120 120 120	A B C C C
	3,40 6,00 1,80	90 190 140 140	A B B B
	4,80 3,60 4,40 1,30	90 180 120 110 110	A B C C C

Figura 7.2 - Modello di carico a fatica LM2

- il modello di carico LM3, che si compone di un veicolo convenzionale dal peso complessivo di 480 kN (utilizzabile per verifiche a danneggiamento)

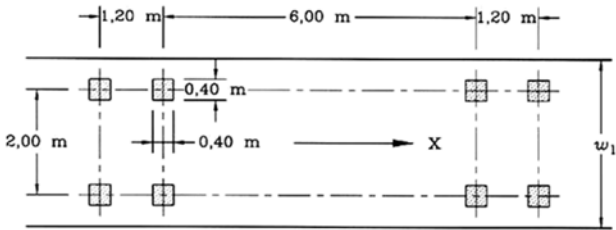


Figura 7.3 -. Modello di carico a fatica LM3 (4 assi da 120 kN)

- il modello di carico LM4 costituito da un set di veicoli con ingombro geometrico e peso definiti (utilizzabile per verifiche a danneggiamento)



<p>ANAS S.p.A.</p> <p>S.S. 389 TRONCO VILLANOVA – LANUSEI – TORTOLI</p> <p>LOTTO BIVIO VILLAGRANDE – SVINCOLO DI ARZANA</p> <p>DAL Km 51+100,00 DELLA S.S. 389 VAR AL Km 177+930,00 DELLA S.S. 389</p> <p><b>Viadotto VI02 - Relazione di calcolo impalcato</b></p>	<p>File: T00_VI02_STR_RE01_A</p> <p>Data: Agosto 2020</p> <p>Pag. 48 di 122</p>
---	---

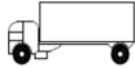

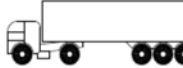
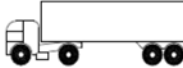

Sagoma del veicolo	Tipo di pneumatico (Tab.5.1-IX)	Interassi [m]	Valori equivalenti dei carichi asse [kN]	Composizione del traffico		
				Lunga percorrenza	Media percorrenza	Traffico locale
	A B	4,50	70 130	20,0	40,0	80,0
	A B B	4,20 1,30	70 120 120	5,0	10,0	5,0
	A B C C	3,20 5,20 1,30 1,30	70 150 90 90 90	50,0	30,0	5,0
	A B B B	3,40 6,00 1,80	70 140 90 90	15,0	15,0	5,0
	A B C C C	4,80 3,60 4,40 1,30	70 130 90 80 80	10,0	5,0	5,0

Figura 7.4 -. Modello di carico a fatica LM4

Le verifiche a fatica per vita illimitata sono condotte, per dettagli caratterizzati da limite di fatica ad ampiezza costante, controllando che il massimo delta di tensione  $\Delta\sigma_{\max} = (\sigma_{\max} - \sigma_{\min})$  indotto nel dettaglio stesso dallo spettro di carico significativo risulti minore del limite di fatica del dettaglio stesso. Ai fini del calcolo del  $\Delta\sigma_{\max}$  si possono impiegare, in alternativa, i modelli di carico di fatica 1 e 2, disposti sul ponte nelle due configurazioni che determinano la tensione massima e minima, rispettivamente, nel dettaglio considerato.

$$\gamma_F \cdot \Delta\sigma_{\max} \leq \frac{\Delta\sigma_D}{\gamma_{Mf}}$$

Le verifiche a danneggiamento consistono nel verificare che nel dettaglio considerato lo spettro di carico produca un danneggiamento  $D \leq 1$ . Il danneggiamento  $D$  è valutato mediante la legge di Palmgren-Miner, considerando la curva S-N caratteristica del dettaglio e la vita nominale dell'opera.

$$D = \sum_{i=1}^p D_i = \sum_{i=1}^p \frac{n_i}{N_i} \leq 1$$

Tali verifiche sono condotte considerando lo spettro di tensione indotto nel dettaglio dal modello di fatica semplificato n. 3, o, in alternativa, dallo spettro di carico equivalente costituente il modello di fatica n. 4.

<p>ANAS S.p.A.</p> <p>S.S. 389 TRONCO VILLANOVA – LANUSEI – TORTOLÌ</p> <p>LOTTO BIVIO VILLAGRANDE – SVINCOLO DI ARZANA</p> <p>DAL Km 51+100,00 DELLA S.S. 389 VAR AL Km 177+930,00 DELLA S.S. 389</p> <p><b>Viadotto VI02 - Relazione di calcolo impalcato</b></p>	<p>File: T00_VI02_STR_RE01_A</p> <p>Data: Agosto 2020</p> <p>Pag. 49 di 122</p>
---	---

In alcuni casi è possibile ricondurre la verifica a danneggiamento alla determinazione del delta di tensione equivalente  $\Delta\sigma_E$  mediante una serie di coefficienti  $\lambda$ , opportunamente calibrati, funzione della luce della campata, del volume di traffico atteso, della vita di progetto dell'opera e della simultaneità di più veicoli lenti nella carreggiata:

$$\Delta\sigma_E = \lambda_1 \cdot \lambda_2 \cdot \lambda_3 \cdot \lambda_4 \cdot \varphi_{fat} \cdot [\sigma_{FLM, \max} - \sigma_{FLM, \min}] = \lambda \cdot \varphi_{fat} \cdot \Delta\sigma_{\max}$$

con  $\lambda_1 \cdot \lambda_2 \cdot \lambda_3 \cdot \lambda_4 \leq \lambda_{\max}$ .

Il coefficiente dinamico equivalente  $\varphi_{fat}$  per ponti stradali è assunto diverso dall'unità solo nelle prossimità dei giunti di dilatazione. In definitiva, si conduce la verifica a danneggiamento controllando che risulti

$$\gamma_F \cdot \Delta\sigma_E(\lambda) \leq \frac{\Delta\sigma_C}{\gamma_{Mf}}$$

Le "Istruzioni per l'applicazione delle «Norme tecniche per le costruzioni» di cui al decreto ministeriale 17 gennaio 2018" definisce le diverse categorie di dettagli ed i valori caratteristici dei delta di tensione resistenti, determinati a  $2 \cdot 10^6$  cicli. Le sezioni critiche maggiormente significative sono le giunzioni di testa saldate a completa penetrazione, gli impilaggi delle lamiere e le giunzioni saldate degli elementi secondari con le travi principali.

Nel caso in esame **le verifiche sono condotte a vita illimitata con riferimento al modello di carico LM1.**

In particolare si fa riferimento ad:

Tabella C4.2.XIV - Dettagli costruttivi per saldature a piena penetrazione ( $\Delta\sigma$ )

Classe del dettaglio	Dettaglio costruttivo	Descrizione	Requisiti
112		<p>Saldature senza piatto di sostegno</p> <ol style="list-style-type: none"> <li>1) Giunti trasversali in piatte e lamiere</li> <li>2) Giunti di anime e piattabande in travi composte eseguiti prima dell'assemblaggio</li> <li>3) Giunti trasversali completi di profili laminati, in assenza di lunette di scarico</li> <li>4) Giunti trasversali di lamiere e piatte con rastremazioni in larghezza e spessore con pendenza non maggiore di 1:4. Nelle zone di transizione gli intagli nelle saldature devono essere eliminati</li> </ol> <p>Per spessori <math>t &gt; 25</math> mm, si deve adottare una classe ridotta del coefficiente</p> $k_s = (25/t)^{0,2}$	<p>Saldature effettuate da entrambi i lati, molate in direzione degli sforzi e sottoposte a controlli non distruttivi</p> <p>Le saldature devono essere iniziate e terminate su tacchi d'estremità, da rimuovere una volta completata la saldatura</p> <p>I bordi esterni delle saldature devono essere molati in direzione degli sforzi</p> <p>3) Vale solo per profilati tagliati e risaldati</p>

Per cui:

$$\Delta\sigma_D = 0,737\Delta\sigma_C; \quad \Delta\sigma_L = 0,549\Delta\sigma_C \quad [C4.2.95]$$

<p>ANAS S.p.A.  S.S. 389 TRONCO VILLANOVA – LANUSEI – TORTOLI  LOTTO BIVIO VILLAGRANDE – SVINCOLO DI ARZANA  DAL Km 51+100,00 DELLA S.S. 389 VAR AL Km 177+930,00 DELLA S.S. 389  <b>Viadotto VI02 - Relazione di calcolo impalcato</b></p>	<p>File: T00_VI02_STR_RE01_A  Data: Agosto 2020  Pag. 50 di 122</p>
---	---

$$\Delta\sigma_d = 0.737 * 112 = 82.5 \text{ MPa}$$

$$\Delta\sigma_L = 0.549 * 112 = 61.5 \text{ MPa}$$

Inoltre:

$$k_s = (25/t)^{0.2}$$

ad esempio, per una piattabanda di spessore 50mm risulta:

$$k_s = (25/50)^{0.2} = 0.87$$

Deve risultare dunque:

*Verifica a vita illimitata.*

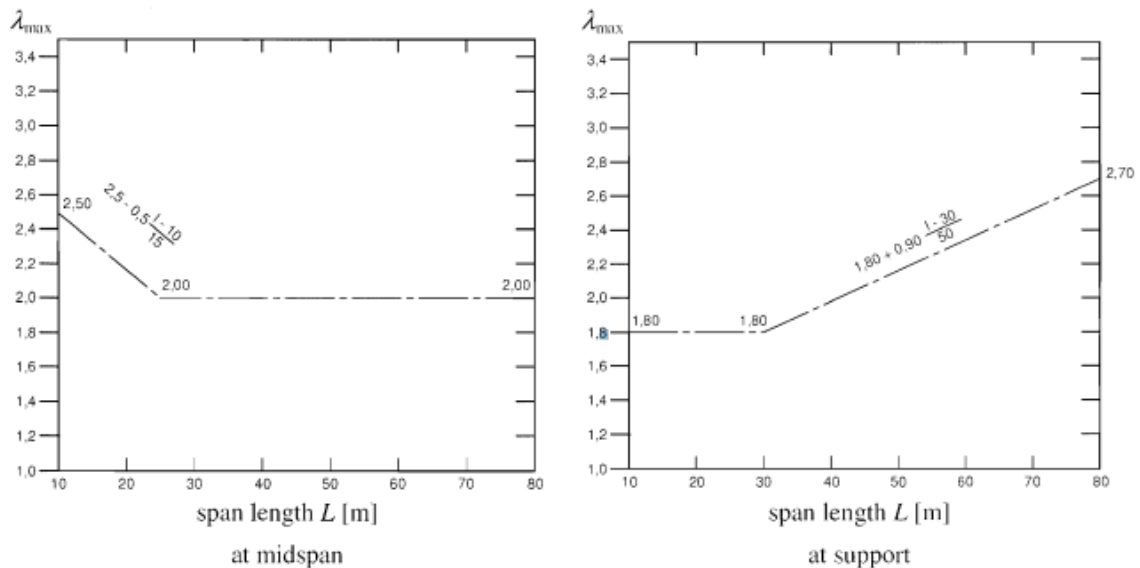
La verifica a vita illimitata si esegue controllando che sia:

$$\Delta\sigma_{\max,d} = \gamma_{Mf} \cdot \Delta\sigma_{\max} \leq \Delta\sigma_D \quad [4.2.55]$$

Per cui l'escursione massima deve risultare:

$$\Delta\sigma_{\max,d} = \Delta\sigma_d * k_s / \gamma_{Mf} = 82.5 \text{ MPa} * 0.87 / 1.35 = 53.2 \text{ MPa}$$

Per i pioli **le verifiche sono condotte a danneggiamento con riferimento al modello di carico LM3.**



Deve risultare dunque:

$$\Delta\tau_{ed} = \lambda_{\max} * \gamma_{MF} * \Delta\tau_k < \Delta\tau_c / \gamma_{MFs} = 90 \text{ MPa (C4.2.4.1.4.4)}$$

Dove:

$\lambda_{max} = 1.8 + 0.9 \cdot (L - 30) / 50 = 2.34$  campata 60m  
 $\lambda_{max} = 1.8 + 0.9 \cdot (L - 30) / 50 = 2.07$  campata 45m  
 $\gamma_{MF} = \gamma_{MFs} = 1$  (EN1994-2, 2.4.1.2(6))  
 $\Delta\tau_k$  = tensione di taglio agente sul piolo

**7.2.1 Risultati – SLF**

Modello di carico 1:

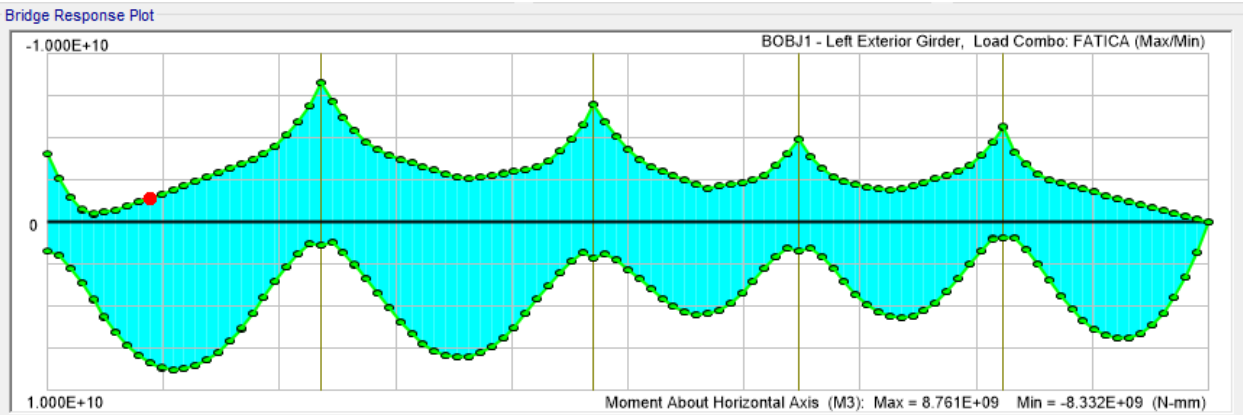


Figura 7.5 -. Momento flettente (kN\*m)

FLES. POSITIVA							
mm	mm	MPa	MPa	MPa	MPa	Ver	Ver
s sup	s inf	$\Delta\sigma$ am m	$\Delta\sigma$ am m	$\Delta\sigma$ piatt. su p	$\Delta\sigma$ piatt. In f	.	.
30	30	59.0	59.0	0.0	0.0	SI	SI
30	30	59.0	59.0	0.0	0.0	SI	SI
30	30	59.0	59.0	0.0	0.0	SI	SI
30	30	59.0	59.0	0.0	0.0	SI	SI

FLES. NEGATIVA							
mm	mm	MPa	MPa	MPa	MPa	Ver	Ver
s sup	s inf	$\Delta\sigma$ am m	$\Delta\sigma$ am m	$\Delta\sigma$ piatt. su p	$\Delta\sigma$ piatt. In f	.	.
30.0	30.0	59.0	59.0	25.1	33.8	SI	SI
30.0	30.0	59.0	59.0	11.3	20.4	SI	SI
30.0	30.0	59.0	59.0	11.3	20.5	SI	SI
30.0	30.0	59.0	59.0	6.4	11.6	SI	SI

30	30	59.0	59.0	0.0	0.0	SI	SI
30	30	59.0	59.0	0.0	0.0	SI	SI
30	30	59.0	59.0	0.0	0.0	SI	SI
30	30	59.0	59.0	3.0	20.2	SI	SI
30	30	59.0	59.0	3.0	20.2	SI	SI
30	30	59.0	59.0	3.6	24.8	SI	SI
30	30	59.0	59.0	3.6	24.7	SI	SI
30	30	59.0	59.0	4.2	28.8	SI	SI
30	30	59.0	59.0	4.2	28.8	SI	SI
30	30	59.0	59.0	4.7	32.2	SI	SI
30	30	59.0	59.0	4.7	32.2	SI	SI
30	30	59.0	59.0	5.0	34.9	SI	SI
30	30	59.0	59.0	5.0	34.8	SI	SI
30	30	59.0	59.0	5.3	36.8	SI	SI
30	30	59.0	59.0	5.3	36.8	SI	SI
30	30	59.0	59.0	5.4	38.0	SI	SI
30	30	59.0	59.0	5.4	38.0	SI	SI
30	30	59.0	59.0	5.5	38.5	SI	SI
30	30	59.0	59.0	5.5	38.5	SI	SI
30	30	59.0	59.0	5.4	38.3	SI	SI
30	30	59.0	59.0	5.4	38.3	SI	SI
30	30	59.0	59.0	5.3	37.5	SI	SI
30	30	59.0	59.0	5.3	37.5	SI	SI
30	30	59.0	59.0	5.2	36.0	SI	SI
30	30	59.0	59.0	5.2	36.0	SI	SI
30	30	59.0	59.0	4.9	33.9	SI	SI
30	30	59.0	59.0	4.9	33.9	SI	SI
30	30	59.0	59.0	4.5	31.1	SI	SI
30	30	59.0	59.0	4.5	31.1	SI	SI
30	30	59.0	59.0	4.1	27.8	SI	SI
30	30	59.0	59.0	4.1	27.8	SI	SI
30	30	59.0	59.0	3.5	23.9	SI	SI
30	30	59.0	59.0	3.5	23.8	SI	SI
30	40	59.0	55.7	3.0	15.4	SI	SI
30	40	59.0	55.7	3.0	15.4	SI	SI

30.0	30.0	59.0	59.0	6.4	11.7	SI	SI
30.0	30.0	59.0	59.0	3.3	6.0	SI	SI
30.0	30.0	59.0	59.0	3.3	6.0	SI	SI
30.0	30.0	59.0	59.0	2.2	4.0	SI	SI
30.0	30.0	59.0	59.0	2.2	4.0	SI	SI
30.0	30.0	59.0	59.0	2.6	4.8	SI	SI
30.0	30.0	59.0	59.0	2.6	4.8	SI	SI
30.0	30.0	59.0	59.0	3.3	6.0	SI	SI
30.0	30.0	59.0	59.0	3.3	6.0	SI	SI
30.0	30.0	59.0	59.0	4.2	7.6	SI	SI
30.0	30.0	59.0	59.0	4.2	7.6	SI	SI
30.0	30.0	59.0	59.0	5.2	9.4	SI	SI
30.0	30.0	59.0	59.0	5.2	9.4	SI	SI
30.0	30.0	59.0	59.0	6.2	11.3	SI	SI
30.0	30.0	59.0	59.0	6.2	11.3	SI	SI
30.0	30.0	59.0	59.0	7.3	13.2	SI	SI
30.0	30.0	59.0	59.0	7.2	13.2	SI	SI
30.0	30.0	59.0	59.0	8.3	15.1	SI	SI
30.0	30.0	59.0	59.0	8.3	15.1	SI	SI
30.0	30.0	59.0	59.0	9.4	17.1	SI	SI
30.0	30.0	59.0	59.0	9.4	17.0	SI	SI
30.0	30.0	59.0	59.0	10.5	19.0	SI	SI
30.0	30.0	59.0	59.0	10.5	19.0	SI	SI
30.0	30.0	59.0	59.0	11.6	21.1	SI	SI
30.0	30.0	59.0	59.0	11.6	21.0	SI	SI
30.0	30.0	59.0	59.0	12.7	23.1	SI	SI
30.0	30.0	59.0	59.0	12.7	23.1	SI	SI
30.0	30.0	59.0	59.0	13.9	25.2	SI	SI
30.0	30.0	59.0	59.0	13.9	25.2	SI	SI
30.0	30.0	59.0	59.0	15.0	27.3	SI	SI
30.0	30.0	59.0	59.0	15.0	27.3	SI	SI
30.0	30.0	59.0	59.0	16.2	29.5	SI	SI
30.0	30.0	59.0	59.0	16.2	29.4	SI	SI
30.0	40.0	59.0	55.7	16.0	20.5	SI	SI
30.0	40.0	59.0	55.7	16.0	20.5	SI	SI

30	40	59.0	55.7	2.4	12.2	SI	SI
30	40	59.0	55.7	2.4	12.2	SI	SI
30	40	59.0	55.7	1.8	9.2	SI	SI
30	40	59.0	55.7	1.8	9.2	SI	SI
40	80	55.7	48.5	1.2	4.0	SI	SI
40	80	55.7	48.5	1.2	4.0	SI	SI
40	80	55.7	48.5	0.9	2.7	SI	SI
40	80	55.7	48.5	0.9	2.7	SI	SI
40	80	55.7	48.5	0.9	2.8	SI	SI
40	80	55.7	48.5	0.0	0.0	SI	SI
40	80	55.7	48.5	0.0	0.0	SI	SI
40	80	55.7	48.5	0.0	0.0	SI	SI
40	80	55.7	48.5	0.0	0.0	SI	SI
40	80	55.7	48.5	0.0	0.0	SI	SI
40	80	55.7	48.5	0.0	0.0	SI	SI
30	40	59.0	55.7	0.0	0.0	SI	SI
30	40	59.0	55.7	0.0	0.0	SI	SI
30	40	59.0	55.7	0.0	0.0	SI	SI
30	40	59.0	55.7	0.0	0.0	SI	SI
30	30	59.0	59.0	2.8	18.4	SI	SI
30	30	59.0	59.0	2.8	18.4	SI	SI
30	30	59.0	59.0	3.5	22.4	SI	SI
30	30	59.0	59.0	3.5	22.4	SI	SI
30	30	59.0	59.0	4.0	26.2	SI	SI
30	30	59.0	59.0	4.0	26.2	SI	SI
30	30	59.0	59.0	4.5	29.4	SI	SI
30	30	59.0	59.0	4.5	29.4	SI	SI
30	30	59.0	59.0	4.9	31.9	SI	SI
30	30	59.0	59.0	4.9	31.9	SI	SI
30	30	59.0	59.0	5.2	33.7	SI	SI
30	30	59.0	59.0	5.2	33.7	SI	SI
30	30	59.0	59.0	5.4	34.9	SI	SI
30	30	59.0	59.0	5.4	34.9	SI	SI
30	30	59.0	59.0	5.5	35.3	SI	SI
30	30	59.0	59.0	5.5	35.3	SI	SI
30	30	59.0	59.0	5.5	35.2	SI	SI

30.0	40.0	59.0	55.7	17.8	22.9	SI	SI
30.0	40.0	59.0	55.7	17.8	22.9	SI	SI
30.0	40.0	59.0	55.7	20.4	26.2	SI	SI
30.0	40.0	59.0	55.7	20.4	26.2	SI	SI
40.0	80.0	55.7	48.5	18.5	15.9	SI	SI
40.0	80.0	55.7	48.5	18.4	15.9	SI	SI
40.0	80.0	55.7	48.5	21.5	18.6	SI	SI
40.0	80.0	55.7	48.5	21.5	18.6	SI	SI
40.0	80.0	55.7	48.5	25.8	22.2	SI	SI
40.0	80.0	55.7	48.5	25.8	22.2	SI	SI
40.0	80.0	55.7	48.5	22.3	19.2	SI	SI
40.0	80.0	55.7	48.5	22.3	19.2	SI	SI
40.0	80.0	55.7	48.5	19.3	16.6	SI	SI
40.0	80.0	55.7	48.5	19.3	16.6	SI	SI
30.0	40.0	59.0	55.7	21.4	27.5	SI	SI
30.0	40.0	59.0	55.7	21.4	27.5	SI	SI
30.0	40.0	59.0	55.7	18.8	24.2	SI	SI
30.0	40.0	59.0	55.7	18.8	24.2	SI	SI
30.0	30.0	59.0	59.0	18.6	33.8	SI	SI
30.0	30.0	59.0	59.0	18.6	33.9	SI	SI
30.0	30.0	59.0	59.0	17.3	31.5	SI	SI
30.0	30.0	59.0	59.0	17.3	31.5	SI	SI
30.0	30.0	59.0	59.0	16.3	29.7	SI	SI
30.0	30.0	59.0	59.0	16.3	29.7	SI	SI
30.0	30.0	59.0	59.0	15.4	27.9	SI	SI
30.0	30.0	59.0	59.0	15.4	27.9	SI	SI
30.0	30.0	59.0	59.0	14.4	26.2	SI	SI
30.0	30.0	59.0	59.0	14.4	26.2	SI	SI
30.0	30.0	59.0	59.0	13.4	24.4	SI	SI
30.0	30.0	59.0	59.0	13.4	24.4	SI	SI
30.0	30.0	59.0	59.0	12.5	22.7	SI	SI
30.0	30.0	59.0	59.0	12.5	22.7	SI	SI
30.0	30.0	59.0	59.0	11.6	21.0	SI	SI
30.0	30.0	59.0	59.0	11.6	21.0	SI	SI
30.0	30.0	59.0	59.0	11.2	20.4	SI	SI

30	30	59.0	59.0	5.5	35.2	SI	SI
30	30	59.0	59.0	5.3	34.3	SI	SI
30	30	59.0	59.0	5.3	34.3	SI	SI
30	30	59.0	59.0	5.1	32.7	SI	SI
30	30	59.0	59.0	5.1	32.7	SI	SI
30	30	59.0	59.0	4.8	30.4	SI	SI
30	30	59.0	59.0	4.8	30.4	SI	SI
30	30	59.0	59.0	4.3	27.5	SI	SI
30	30	59.0	59.0	4.3	27.5	SI	SI
30	30	59.0	59.0	3.8	24.0	SI	SI
30	30	59.0	59.0	3.8	24.0	SI	SI
30	30	59.0	59.0	3.1	20.1	SI	SI
30	30	59.0	59.0	3.1	20.1	SI	SI
30	40	59.0	55.7	2.7	13.0	SI	SI
30	40	59.0	55.7	2.7	13.0	SI	SI
30	40	59.0	55.7	2.1	10.4	SI	SI
30	40	59.0	55.7	2.1	10.4	SI	SI
40	70	55.7	49.8	1.6	5.8	SI	SI
40	70	55.7	49.8	1.6	5.8	SI	SI
40	70	55.7	49.8	1.3	4.6	SI	SI
40	70	55.7	49.8	1.3	4.6	SI	SI
40	70	55.7	49.8	1.5	5.3	SI	SI
40	70	55.7	49.8	0.0	0.0	SI	SI
40	70	55.7	49.8	0.0	0.0	SI	SI
40	70	55.7	49.8	0.0	0.0	SI	SI
40	70	55.7	49.8	0.0	0.0	SI	SI
30	40	59.0	55.7	0.0	0.0	SI	SI
30	40	59.0	55.7	0.0	0.0	SI	SI
30	40	59.0	55.7	0.0	0.0	SI	SI
30	40	59.0	55.7	0.0	0.0	SI	SI
30	30	59.0	59.0	3.0	25.4	SI	SI
30	30	59.0	59.0	3.0	25.4	SI	SI
30	30	59.0	59.0	3.5	29.4	SI	SI
30	30	59.0	59.0	3.5	29.4	SI	SI

30.0	30.0	59.0	59.0	11.2	20.4	SI	SI
30.0	30.0	59.0	59.0	11.7	21.2	SI	SI
30.0	30.0	59.0	59.0	11.7	21.2	SI	SI
30.0	30.0	59.0	59.0	12.1	22.1	SI	SI
30.0	30.0	59.0	59.0	12.1	22.1	SI	SI
30.0	30.0	59.0	59.0	12.6	22.9	SI	SI
30.0	30.0	59.0	59.0	12.6	22.9	SI	SI
30.0	30.0	59.0	59.0	13.1	23.8	SI	SI
30.0	30.0	59.0	59.0	13.1	23.8	SI	SI
30.0	30.0	59.0	59.0	13.6	24.7	SI	SI
30.0	30.0	59.0	59.0	13.6	24.7	SI	SI
30.0	30.0	59.0	59.0	14.3	26.0	SI	SI
30.0	30.0	59.0	59.0	14.3	26.0	SI	SI
30.0	40.0	59.0	55.7	14.5	18.6	SI	SI
30.0	40.0	59.0	55.7	14.5	18.6	SI	SI
30.0	40.0	59.0	55.7	16.6	21.4	SI	SI
30.0	40.0	59.0	55.7	16.6	21.4	SI	SI
40.0	70.0	55.7	49.8	16.2	15.8	SI	SI
40.0	70.0	55.7	49.8	16.2	15.8	SI	SI
40.0	70.0	55.7	49.8	19.2	18.7	SI	SI
40.0	70.0	55.7	49.8	19.1	18.6	SI	SI
40.0	70.0	55.7	49.8	23.0	22.4	SI	SI
40.0	70.0	55.7	49.8	23.0	22.4	SI	SI
40.0	70.0	55.7	49.8	19.7	19.2	SI	SI
40.0	70.0	55.7	49.8	19.7	19.2	SI	SI
40.0	70.0	55.7	49.8	16.8	16.4	SI	SI
40.0	70.0	55.7	49.8	16.8	16.4	SI	SI
30.0	40.0	59.0	55.7	17.9	24.1	SI	SI
30.0	40.0	59.0	55.7	17.9	24.1	SI	SI
30.0	40.0	59.0	55.7	15.4	20.7	SI	SI
30.0	40.0	59.0	55.7	15.4	20.7	SI	SI
30.0	30.0	59.0	59.0	19.6	34.9	SI	SI
30.0	30.0	59.0	59.0	19.6	34.9	SI	SI
30.0	30.0	59.0	59.0	18.0	32.0	SI	SI
30.0	30.0	59.0	59.0	18.0	32.0	SI	SI

30	30	59.0	59.0	3.9	32.4	SI	SI
30	30	59.0	59.0	3.9	32.4	SI	SI
30	30	59.0	59.0	4.1	34.5	SI	SI
30	30	59.0	59.0	4.1	34.5	SI	SI
30	30	59.0	59.0	4.2	35.4	SI	SI
30	30	59.0	59.0	4.2	35.4	SI	SI
30	30	59.0	59.0	4.2	35.2	SI	SI
30	30	59.0	59.0	4.2	35.2	SI	SI
30	30	59.0	59.0	4.1	33.8	SI	SI
30	30	59.0	59.0	4.1	33.8	SI	SI
30	30	59.0	59.0	3.7	31.2	SI	SI
30	30	59.0	59.0	3.7	31.2	SI	SI
30	30	59.0	59.0	3.3	27.4	SI	SI
30	30	59.0	59.0	3.3	27.4	SI	SI
30	30	59.0	59.0	2.7	22.5	SI	SI
30	30	59.0	59.0	2.7	22.5	SI	SI
30	30	59.0	59.0	2.1	17.6	SI	SI
30	30	59.0	59.0	2.1	17.6	SI	SI
40	60	55.7	51.3	1.7	8.6	SI	SI
40	60	55.7	51.3	1.7	8.6	SI	SI
40	60	55.7	51.3	1.3	6.3	SI	SI
40	60	55.7	51.3	1.3	6.4	SI	SI
40	60	55.7	51.3	1.4	7.1	SI	SI
40	60	55.7	51.3	0.0	0.0	SI	SI
40	60	55.7	51.3	0.0	0.0	SI	SI
40	60	55.7	51.3	0.0	0.0	SI	SI
40	60	55.7	51.3	0.0	0.0	SI	SI
40	60	55.7	51.3	0.0	0.0	SI	SI
30	30	59.0	59.0	0.0	0.0	SI	SI
30	30	59.0	59.0	0.0	0.0	SI	SI
30	30	59.0	59.0	2.7	22.5	SI	SI
30	30	59.0	59.0	2.7	22.5	SI	SI
30	30	59.0	59.0	3.3	27.6	SI	SI
30	30	59.0	59.0	3.3	27.6	SI	SI
30	30	59.0	59.0	3.8	31.6	SI	SI

30.0	30.0	59.0	59.0	16.4	29.2	SI	SI
30.0	30.0	59.0	59.0	16.4	29.2	SI	SI
30.0	30.0	59.0	59.0	14.9	26.5	SI	SI
30.0	30.0	59.0	59.0	14.9	26.5	SI	SI
30.0	30.0	59.0	59.0	13.4	23.8	SI	SI
30.0	30.0	59.0	59.0	13.4	23.8	SI	SI
30.0	30.0	59.0	59.0	12.0	21.3	SI	SI
30.0	30.0	59.0	59.0	12.0	21.3	SI	SI
30.0	30.0	59.0	59.0	12.7	22.5	SI	SI
30.0	30.0	59.0	59.0	12.7	22.5	SI	SI
30.0	30.0	59.0	59.0	13.4	23.8	SI	SI
30.0	30.0	59.0	59.0	13.4	23.8	SI	SI
30.0	30.0	59.0	59.0	14.1	25.1	SI	SI
30.0	30.0	59.0	59.0	14.1	25.1	SI	SI
30.0	30.0	59.0	59.0	14.9	26.5	SI	SI
30.0	30.0	59.0	59.0	14.9	26.5	SI	SI
30.0	30.0	59.0	59.0	16.7	29.7	SI	SI
30.0	30.0	59.0	59.0	16.7	29.7	SI	SI
40.0	60.0	55.7	51.3	16.3	17.1	SI	SI
40.0	60.0	55.7	51.3	16.2	17.1	SI	SI
40.0	60.0	55.7	51.3	19.7	20.7	SI	SI
40.0	60.0	55.7	51.3	19.7	20.7	SI	SI
40.0	60.0	55.7	51.3	23.9	25.2	SI	SI
40.0	60.0	55.7	51.3	23.9	25.2	SI	SI
40.0	60.0	55.7	51.3	18.8	19.8	SI	SI
40.0	60.0	55.7	51.3	18.8	19.8	SI	SI
40.0	60.0	55.7	51.3	15.5	16.4	SI	SI
40.0	60.0	55.7	51.3	15.6	16.4	SI	SI
30.0	30.0	59.0	59.0	16.1	28.6	SI	SI
30.0	30.0	59.0	59.0	16.1	28.6	SI	SI
30.0	30.0	59.0	59.0	14.2	25.2	SI	SI
30.0	30.0	59.0	59.0	14.2	25.2	SI	SI
30.0	30.0	59.0	59.0	13.4	23.8	SI	SI
30.0	30.0	59.0	59.0	13.4	23.8	SI	SI
30.0	30.0	59.0	59.0	12.6	22.4	SI	SI



30	30	59.0	59.0	3.8	31.6	SI	SI
30	30	59.0	59.0	4.1	34.5	SI	SI
30	30	59.0	59.0	4.1	34.5	SI	SI
30	30	59.0	59.0	4.3	36.2	SI	SI
30	30	59.0	59.0	4.3	36.2	SI	SI
30	30	59.0	59.0	4.4	36.7	SI	SI
30	30	59.0	59.0	4.4	36.7	SI	SI
30	30	59.0	59.0	4.3	36.0	SI	SI
30	30	59.0	59.0	4.3	36.0	SI	SI
30	30	59.0	59.0	4.1	34.1	SI	SI
30	30	59.0	59.0	4.1	34.1	SI	SI
30	30	59.0	59.0	3.7	31.0	SI	SI
30	30	59.0	59.0	3.7	31.0	SI	SI
30	30	59.0	59.0	3.2	26.7	SI	SI
30	30	59.0	59.0	3.2	26.7	SI	SI
30	30	59.0	59.0	2.6	21.4	SI	SI
30	30	59.0	59.0	2.6	21.4	SI	SI
30	30	59.0	59.0	1.9	16.0	SI	SI
30	30	59.0	59.0	1.9	16.0	SI	SI
40	60	55.7	51.3	1.4	6.6	SI	SI
40	60	55.7	51.3	1.4	6.6	SI	SI
40	60	55.7	51.3	0.8	3.8	SI	SI
40	60	55.7	51.3	0.8	3.8	SI	SI
40	60	55.7	51.3	0.8	3.6	SI	SI
40	60	55.7	51.3	0.0	0.0	SI	SI
40	60	55.7	51.3	0.0	0.0	SI	SI
40	60	55.7	51.3	0.0	0.0	SI	SI
40	60	55.7	51.3	0.0	0.0	SI	SI
40	60	55.7	51.3	0.0	0.0	SI	SI
40	60	55.7	51.3	0.0	0.0	SI	SI
40	60	55.7	51.3	0.0	0.0	SI	SI
40	60	55.7	51.3	0.0	0.0	SI	SI
30	30	59.0	59.0	0.0	0.0	SI	SI
30	30	59.0	59.0	0.0	0.0	SI	SI
30	30	59.0	59.0	2.6	21.9	SI	SI
30	30	59.0	59.0	2.6	21.9	SI	SI
30	30	59.0	59.0	3.4	28.1	SI	SI
30	30	59.0	59.0	3.4	28.1	SI	SI

30.0	30.0	59.0	59.0	12.6	22.4	SI	SI
30.0	30.0	59.0	59.0	11.9	21.1	SI	SI
30.0	30.0	59.0	59.0	11.9	21.1	SI	SI
30.0	30.0	59.0	59.0	11.2	19.8	SI	SI
30.0	30.0	59.0	59.0	11.2	19.8	SI	SI
30.0	30.0	59.0	59.0	11.6	20.7	SI	SI
30.0	30.0	59.0	59.0	11.6	20.7	SI	SI
30.0	30.0	59.0	59.0	12.9	22.9	SI	SI
30.0	30.0	59.0	59.0	12.9	22.9	SI	SI
30.0	30.0	59.0	59.0	14.1	25.1	SI	SI
30.0	30.0	59.0	59.0	14.1	25.1	SI	SI
30.0	30.0	59.0	59.0	15.4	27.4	SI	SI
30.0	30.0	59.0	59.0	15.4	27.4	SI	SI
30.0	30.0	59.0	59.0	16.7	29.7	SI	SI
30.0	30.0	59.0	59.0	16.7	29.7	SI	SI
30.0	30.0	59.0	59.0	18.0	32.0	SI	SI
30.0	30.0	59.0	59.0	18.0	32.0	SI	SI
30.0	30.0	59.0	59.0	20.3	36.0	SI	SI
30.0	30.0	59.0	59.0	20.3	36.0	SI	SI
40.0	60.0	55.7	51.3	18.7	19.2	SI	SI
40.0	60.0	55.7	51.3	18.7	19.2	SI	SI
40.0	60.0	55.7	51.3	22.3	22.9	SI	SI
40.0	60.0	55.7	51.3	22.3	22.9	SI	SI
40.0	60.0	55.7	51.3	26.6	27.4	SI	SI
40.0	60.0	55.7	51.3	26.7	27.4	SI	SI
40.0	60.0	55.7	51.3	19.6	20.1	SI	SI
40.0	60.0	55.7	51.3	19.6	20.1	SI	SI
40.0	60.0	55.7	51.3	16.2	16.6	SI	SI
40.0	60.0	55.7	51.3	16.2	16.6	SI	SI
30.0	30.0	59.0	59.0	17.2	30.6	SI	SI
30.0	30.0	59.0	59.0	17.2	30.6	SI	SI
30.0	30.0	59.0	59.0	15.2	27.0	SI	SI
30.0	30.0	59.0	59.0	15.2	27.0	SI	SI
30.0	30.0	59.0	59.0	14.0	24.9	SI	SI
30.0	30.0	59.0	59.0	14.0	24.9	SI	SI

30	30	59.0	59.0	4.0	33.5	SI	SI	30.0	30.0	59.0	59.0	12.9	22.9	SI	SI
30	30	59.0	59.0	4.0	33.5	SI	SI	30.0	30.0	59.0	59.0	12.9	22.9	SI	SI
30	30	59.0	59.0	4.5	37.9	SI	SI	30.0	30.0	59.0	59.0	11.8	20.9	SI	SI
30	30	59.0	59.0	4.5	37.9	SI	SI	30.0	30.0	59.0	59.0	11.8	20.9	SI	SI
30	30	59.0	59.0	4.9	41.2	SI	SI	30.0	30.0	59.0	59.0	10.7	19.0	SI	SI
30	30	59.0	59.0	4.9	41.2	SI	SI	30.0	30.0	59.0	59.0	10.7	19.0	SI	SI
30	30	59.0	59.0	5.2	43.5	SI	SI	30.0	30.0	59.0	59.0	9.6	17.0	SI	SI
30	30	59.0	59.0	5.2	43.5	SI	SI	30.0	30.0	59.0	59.0	9.6	17.0	SI	SI
30	30	59.0	59.0	5.3	44.4	SI	SI	30.0	30.0	59.0	59.0	8.5	15.1	SI	SI
30	30	59.0	59.0	5.3	44.4	SI	SI	30.0	30.0	59.0	59.0	8.5	15.1	SI	SI
30	30	59.0	59.0	5.3	44.3	SI	SI	30.0	30.0	59.0	59.0	7.4	13.2	SI	SI
30	30	59.0	59.0	5.3	44.3	SI	SI	30.0	30.0	59.0	59.0	7.4	13.2	SI	SI
30	30	59.0	59.0	5.1	42.7	SI	SI	30.0	30.0	59.0	59.0	6.4	11.3	SI	SI
30	30	59.0	59.0	5.1	42.7	SI	SI	30.0	30.0	59.0	59.0	6.4	11.3	SI	SI
30	30	59.0	59.0	4.8	39.7	SI	SI	30.0	30.0	59.0	59.0	5.3	9.5	SI	SI
30	30	59.0	59.0	4.8	39.7	SI	SI	30.0	30.0	59.0	59.0	5.3	9.5	SI	SI
30	30	59.0	59.0	4.2	35.2	SI	SI	30.0	30.0	59.0	59.0	4.3	7.6	SI	SI
30	30	59.0	59.0	4.2	35.2	SI	SI	30.0	30.0	59.0	59.0	4.3	7.6	SI	SI
30	30	59.0	59.0	3.5	29.1	SI	SI	30.0	30.0	59.0	59.0	3.2	5.7	SI	SI
30	30	59.0	59.0	3.5	29.1	SI	SI	30.0	30.0	59.0	59.0	3.2	5.7	SI	SI
30	30	59.0	59.0	2.6	21.3	SI	SI	30.0	30.0	59.0	59.0	2.1	3.8	SI	SI
30	30	59.0	59.0	2.6	21.3	SI	SI	30.0	30.0	59.0	59.0	2.1	3.8	SI	SI
30	30	59.0	59.0	1.4	11.6	SI	SI	30.0	30.0	59.0	59.0	1.1	1.9	SI	SI
30	30	59.0	59.0	1.4	11.7	SI	SI	30.0	30.0	59.0	59.0	1.1	1.9	SI	SI
30	30	59.0	59.0	0.0	0.0	SI	SI	30.0	30.0	59.0	59.0	0.0	0.0	SI	SI

Le verifiche risultano dunque soddisfatte in quanto  $\Delta\sigma < \Delta\sigma_{max_d}$

Modello di carico 3:

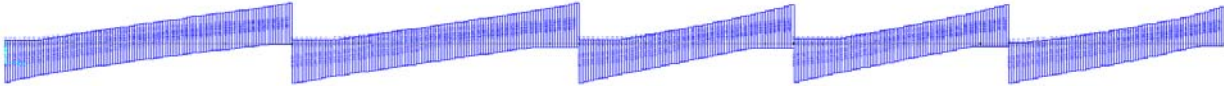


Figura 7.6 - Taglio (kN)

$V_{Ed} = 430 \text{ kN}$   
 $\Delta F_{scor} = 110 \text{ kN/m}$   
 $\Delta\tau_k = 23 \text{ MPa}$  (n. 4 pioli passo 200 ; d= 20mm)

$$\Delta\tau_{ed} = \lambda_{max} * \gamma_{MF} * \Delta\tau_k = 2.34*1*23 = 55 \text{ MPa} < \Delta\tau_c = 90 \text{ MPa}$$

$$V_{Ed} = 415 \text{ kN}$$

$$\Delta F_{scor} = 136 \text{ kN/m}$$

$$\Delta\tau_k = 30 \text{ MPa (n. 4 pioli passo 200 ; d= 20mm)}$$

$$\Delta\tau_{ed} = \lambda_{max} * \gamma_{MF} * \Delta\tau_k = 2.07*1*30 = 62 \text{ MPa} < \Delta\tau_c = 90 \text{ MPa}$$

Le verifiche risultano dunque soddisfatte.

### 7.3 Abbassamenti

La freccia dovuta Carichi accidentali (mobili + vento +  $\Delta T$ ) dovrà essere inferiore a limite di  $1/500L = 0.09\text{m}$ .

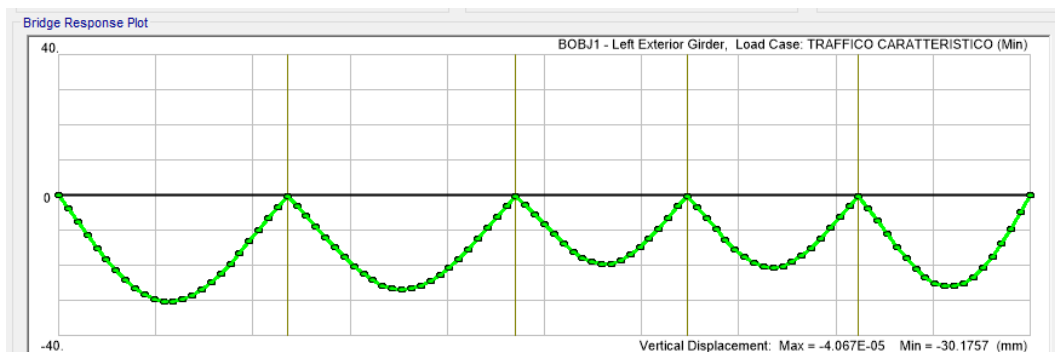


Figura 7.7 -. Abbassamento traffico 0.030m

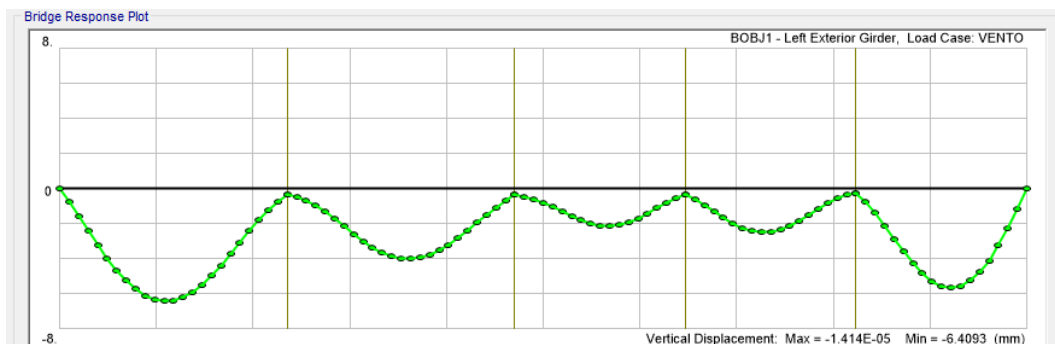


Figura 7.8 -. Abbassamento vento 0.007m



Figura 7.9 -. Abbassamento temperatura 0.004m

$$W_{max} = 0.03 + 0.007 + 0.004 = 0.041m < 0.09m \text{ Verificato}$$

## 8.VERIFICA ELEMENTI SECONDARI

### 8.1 Traversi

#### 8.1.1 Verifica SLU-SLV

I Traversi sono costituiti da profili saldati simmetrici di:

- altezza H1200mm, spessore piattabande pari a 20mm, spessore anima pari a 15mm; campata da 45m.
- altezza H1600mm, spessore piattabande pari a 23mm, spessore anima pari a 18mm; campata da 60m.

Si riportano di seguito le sollecitazioni agenti sui trasversi:

SLU (fase1+fase2+fase3)/SLV

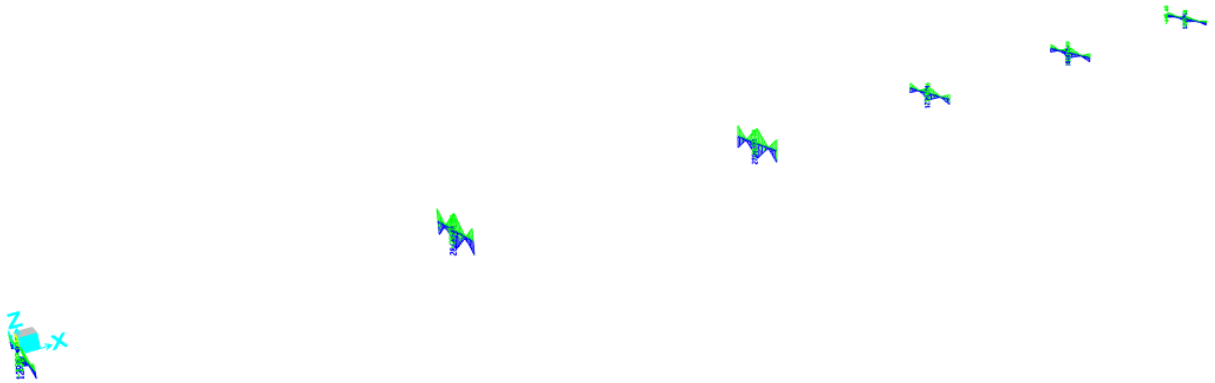


Figura 8.1 - Momento flettente (kN\*m)

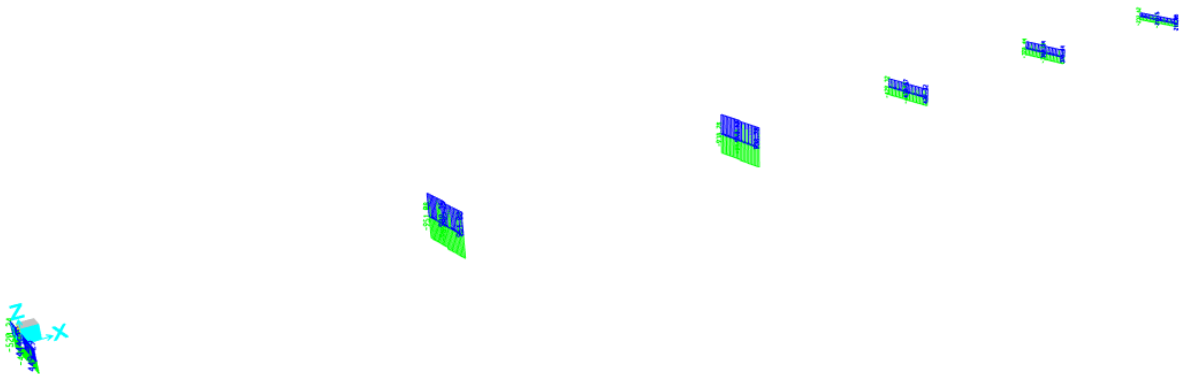


Figura 8.2 - Taglio (kN)

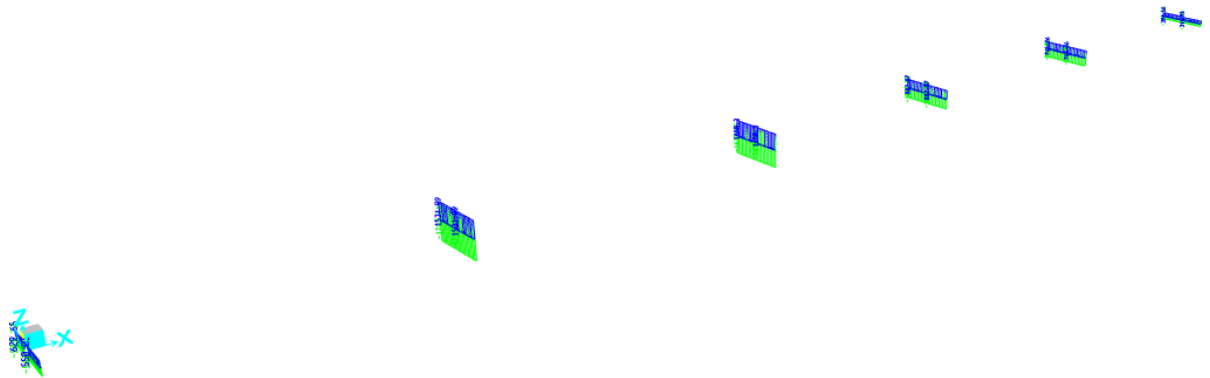


Figura 8.3 - Sforzo Normale (kN)

**SOLEVAMENTO:**

Si preve il sollevamento sul trasverso in corrispondenza della campata. In questa fase si considerano agenti solo i pesi permanenti.

H1200

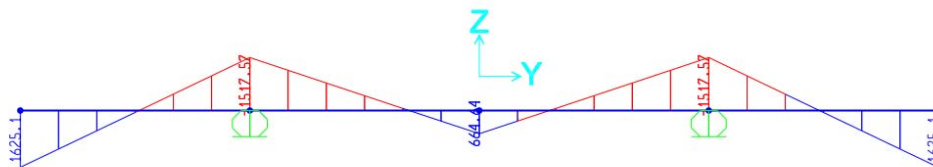


Figura 8.4 - Momento flettente (kN\*m)

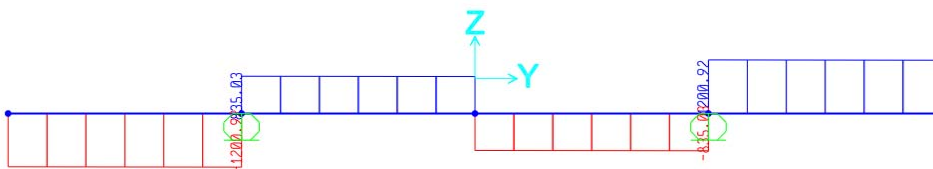


Figura 8.5 - Taglio (kN)

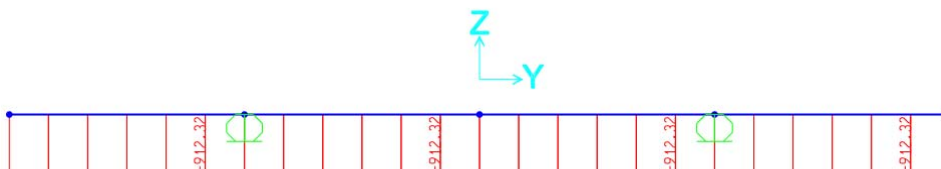


Figura 8.6 - Sforzo Normale (kN)

H1600

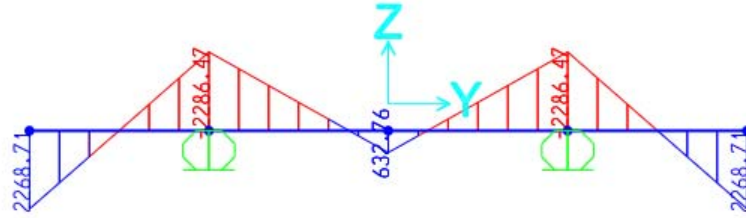


Figura 8.7 -. Momento flettente (kN\*m)

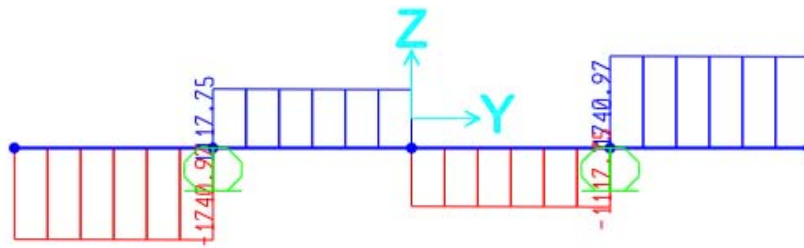


Figura 8.8 -. Taglio (kN)

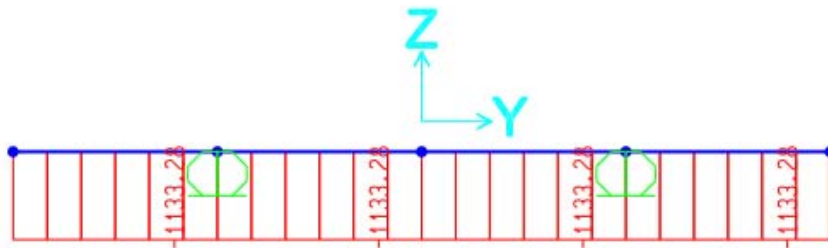


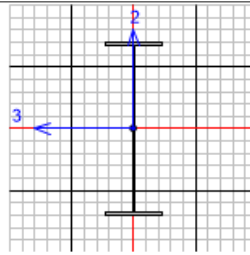
Figura 8.9 -. Sforzo Normale (kN)

**RIEPILOGO SOLLECITAZIONI**

SLU/SLV h=1200			SLU/SLV h=1600		
<i>kN</i>	<i>kN*m</i>	<i>kN</i>	<i>kN</i>	<i>kN*m</i>	<i>kN</i>
N	M	V	N	M	V
1007	1245	430	1787	2927	989

SOLLEVAMENTO h=1200			SOLLEVAMENTO h=1600		
<i>kN</i>	<i>kN*m</i>	<i>kN</i>	<i>kN</i>	<i>kN*m</i>	<i>kN</i>
N	M	V	N	M	V
912	1625	1193	1133	2286	1740

**VERIFICA – h=1200**



Units KN, m, C

Eurocode 3-2005 STEEL SECTION CHECK (Summary for Combo and Station)  
Units : KN, m, C

Frame : 902 X Mid: 255. Combo: SOLLEVAM Design Type: Beam  
Length: 2.625 Y Mid: -3.938 Shape: T1200 Frame Type: Secndry  
Loc : 2.625 Z Mid: -0.39 Class: Class 3 Rolled : No

Country=CEN Default Combination=Eq. 6.10 Reliability=Class 2  
Interaction=Method 2 (Annex B) MultiResponse=Envelopes P-Delta Done? No  
Consider Torsion? No

GammaM0=1.05 GammaM1=1.1 GammaM2=1.25  
An/Ag=1. RLLF=1. PLLF=0.75 D/C Lim=0.95

Aeff=0.033 eNy=0. eNz=0.  
A=0.033 Iyy=0.008 iyy=0.475 Wel,yy=0.013 Weff,yy=0.013  
It=3.361E-06 Izz=2.137E-04 izz=0.08 Wel,zz=0.001 Weff,zz=0.001  
Iw=7.437E-05 Iyz=0. h=1.2 Wpl,yy=0.014 Av,y=0.016  
E=210000000. fy=355000. fu=510000. Wpl,zz=0.002 Av,z=0.021

STRESS CHECK FORCES & MOMENTS

Location	Ned	Med,yy	Med,zz	Ved,z	Ved,y	Ted
2.625	-912.315	1625.099	-4.486	-1193.496	1.764	-0.015

PMM DEMAND/CAPACITY RATIO (Governing Equation EC3 6.3.3(4)-6.62)

D/C Ratio: 0.602 = 0.135 + 0.458 + 0.008 < 0.95 OK  
= Ned/(Chi\_z NRk/GammaM1) + kzy (My,Ed+NEd eNy)/(Chi\_LT My,Rk/GammaM1)  
+ kzz (Mz,Ed+NEd eNz)/(Mz,Rk/GammaM1) (EC3 6.3.3(4)-6.62)

AXIAL FORCE DESIGN

	Ned Force	Nc,Rd Capacity	Nt,Rd Capacity	Npl,Rd	Nu,Rd	Ncr,T	Ncr,TF	An/Ag
Axial	-912.315	11292.381	11292.381	11292.381	12264.48	25322.078	25322.078	1.
	Curve	Alpha	Ncr	LambdaBar	Phi	Chi	Nb,Rd	
Major (y-y)	b	0.34	2262302.324	0.072	0.481	1.	10779.091	
MajorB(y-y)	b	0.34	2262302.324	0.072	0.481	1.	10779.091	
Minor (z-z)	c	0.49	16066.557	0.859	1.03	0.625	6738.772	
MinorB(z-z)	c	0.49	16066.557	0.859	1.03	0.625	6738.772	
Torsional TF	c	0.49	25322.078	0.684	0.853	0.734	7916.079	



**MOMENT DESIGN**

	Med Moment	Med, span Moment	Mc, Rd Capacity	Mv, Rd Capacity	Mn, Rd Capacity	Mb, Rd Capacity
Major (y-y)	1625.099	1625.099	4238.167	4238.167	4238.167	3407.72
Minor (z-z)	-4.486	-4.486	361.186	361.186	361.186	

LTB	Curve d	AlphaLT	LambdaBarLT	PhiLT	ChiLT	Iw	Mcr
		0.76	0.411	0.665	0.842	7.437E-05	26319.259

Factors	kw	C1	C2	C3	zj
	1.	2.711	0.	0.607	
	za	zs	zg	zz	
	0.6	0.	0.6	0.	0.

Factors	kyy	kyz	kzy	kzz
	0.401	0.628	0.961	0.628

	Ved Force	Vpl, Rd Capacity	Ved/Vpl, Rd Ratio	rho Factor
Major (z)	1193.496	4075.761	0.293	1.
Minor (y)	1.764	3123.189	5.647E-04	1.

**SHEAR DESIGN**

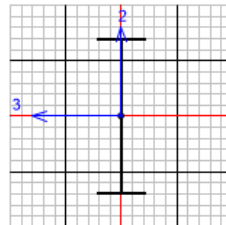
	Ved Force	Ted Torsion	Vc, Rd Capacity	Stress Ratio	Status Check
Major (z)	1193.496	0.015	2446.07	0.488	OK
Minor (y)	1.764	0.015	3123.189	0.001	OK

	Vpl, Rd Capacity	Eta Factor	LambdaBar Ratio	Chi Factor
Minor (y)	4075.761	1.2	1.1	0.754
Major (y)	3123.189	1.2	0.	1.

**CONNECTION SHEAR FORCES FOR BEAMS**

	VMajor Left	VMajor Right
Major (V2)	1200.92	1193.496

**VERIFICA –h=1600**



Units:

Eurocode 3-2005 STEEL SECTION CHECK (Summary for Combo and Station)  
 Units : KN, m, C

Frame : 163      X Mid: 60.      Combo: EY      Design Type: Beam  
 Length: 5.25    Y Mid: 2.625    Shape: T1600    Frame Type: Secndry  
 Loc : 5.25      Z Mid: -0.39    Class: Class 4    Rolled : No

Country=CEN Default      Combination=Eq. 6.10      Reliability=Class 2  
 Interaction=Method 2 (Annex B)    MultiResponse=Envelopes    P-Delta Done? No  
 Consider Torsion? No  
 Ignore Seismic Code? No      Ignore Special EQ Load? No      D/P Plug Welded? No

GammaM0=1.05      GammaM1=1.1      GammaM2=1.25  
 q=1.      Omega=1.      GammaOV=1.1  
 An/Ag=1.      RLLF=1.      PLLF=0.75      D/C Lim=0.95

Aeff=0.036      eNy=0.      eNz=0.  
 A=0.051      Iyy=0.02      iyy=0.625      Wel,yy=0.025      Weff,yy=0.025  
 It=6.937E-06    Isz=4.799E-04    isz=0.097      Wel,zz=0.002      Weff,zz=0.002  
 Iw=2.984E-04    Iyz=0.      h=1.6      Wpl,yy=0.029      Av,y=0.023  
 E=210000000.    fy=355000.      fu=510000.      Wpl,zz=0.003      Av,z=0.034

STRESS CHECK FORCES & MOMENTS

Location	Ned	Med,yy	Med,zz	Ved,z	Ved,y	Ted
5.25	-1787.61	-2927.009	10.028	989.347	-3.834	-0.013

MM DEMAND/CAPACITY RATIO (Governing Equation EC3 6.3.3(4)-6.62)

D/C Ratio: 0.682 = 0.194 + 0.47 + 0.018 < 0.95 OK  

$$= \frac{N_{Ed}}{(\chi_z N_{Rk} / \gamma_{M1})} + k_{zy} \frac{(M_y, Ed + N_{Ed} e_{Ny})}{(\chi_{LT} M_y, Rk / \gamma_{M1})} + k_{zz} \frac{(M_z, Ed + N_{Ed} e_{Nz})}{(M_z, Rk / \gamma_{M1})}$$
 (EC3 6.3.3(4)-6.62)

AXIAL FORCE DESIGN

	Ned	Nc,Rd	Nt,Rd
	Force	Capacity	Capacity
Axial	-1787.61	12242.378	17233.39

	Npl,Rd	Nu,Rd	Ncr,T	Ncr,TF	An/Ag
	17233.39	18716.918	57434.926	57434.926	1.

Curve	Alpha	Ncr	LambdaBar	Phi	Chi	Nb,Rd
Major (y-y)	b	1498677.799	0.093	0.486	1.	11685.906
MajorB (y-y)	b	1498677.799	0.093	0.486	1.	11685.906
Minor (z-z)	c	36088.681	0.597	0.775	0.787	9199.951
MinorB (z-z)	c	36088.681	0.597	0.775	0.787	9199.951
Torsional TF	c	57434.926	0.473	0.679	0.858	10025.564

**MOMENT DESIGN**

	Med Moment	Med, span Moment	Mc, Rd Capacity	Mv, Rd Capacity	Mn, Rd Capacity	Mb, Rd Capacity
Major (y-y)	-2927.009	-2927.009	8422.808	8422.808	8422.808	6193.099
Minor (z-z)	10.028	10.79	649.037	649.037	649.037	

LTB	Curve d	AlphaLT	LambdaBarLT	PhiLT	ChiLT	Iw	Mcr
		0.76	0.513	0.75	0.77	2.984E-04	33621.478

Factors	kw	C1	C2	C3	zj
	1.	1.167	0.	0.619	
	za	zs	zg	zz	
	0.8	0.	0.8	0.	0.

Factors	kyy	kyz	kzy	kzz
	0.888	1.02	0.993	1.02

	Ved Force	Vpl.Rd Capacity	Ved/Vpl.Rd Ratio	rho Factor
Major (z)	989.347	6552.137	0.151	1.
Minor (y)	4.081	4489.584	9.090E-04	1.

**SHEAR DESIGN**

	Ved Force	Ted Torsion	Vc,Rd Capacity	Stress Ratio	Status Check
Major (z)	989.347	0.011	3522.341	0.281	OK
Minor (y)	4.081	0.011	4489.584	0.001	OK

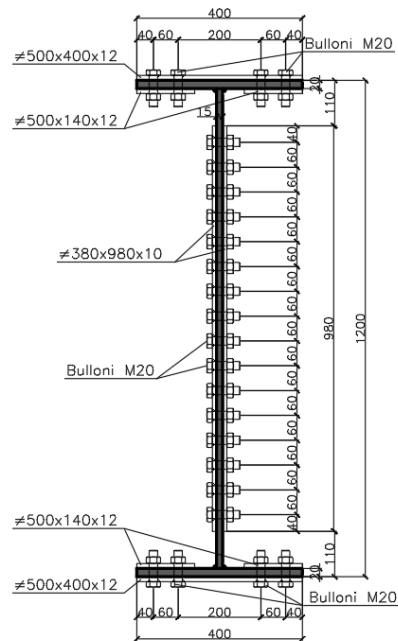
	Vpl,Rd Capacity	Eta Factor	LambdaBar Ratio	Chi Factor
Minor (y)	6552.137	1.2	1.228	0.676
Major (y)	4489.584	1.2	0.	1.

**CONNECTION SHEAR FORCES FOR BEAMS**

	VMajor Left	VMajor Right
Major (V2)	966.689	989.347

### 8.1.2 Giunto flangiato H=1200

Il giunto è a parziale ripristino; le sollecitazioni utilizzate sono le più sfavorevoli (si veda paragrafo precedente)



**RESISTENZA DELLA GIUNZIONE D'ALA CON DOPPIO COPRIGIUNTO**

**CARATTERISTICHE GEOMETRICHE DEI PROFILI DA GIUNTARE**

Altezza della sezione	<b>h</b>	1200	[mm]
Larghezza della sezione	<b>b</b>	400	[mm]
Spessore delle ali	<b>t<sub>f</sub></b>	20	[mm]
Spessore dell'anima	<b>t<sub>w</sub></b>	15	[mm]
Raggio di raccordo	<b>r</b>	0	[mm]
Distanza tra i profili	<b>s</b>	2	[mm]
Area della sezione trasversale	<b>A</b>	33400	[mm <sup>2</sup> ]
Momento d'inerzia	<b>I<sub>y</sub></b>	7.52E+09	[mm <sup>4</sup> ]
Modulo di resistenza elastico	<b>W<sub>el,y</sub></b>	1.25E+07	[mm <sup>3</sup> ]
Modulo di resistenza plastico	<b>W<sub>pl,y</sub></b>	1.45E+07	[mm <sup>3</sup> ]
Resistenza a snervamento dell'acciaio	<b>f<sub>y</sub></b>	355	[MPa]
Resistenza a rottura dell'acciaio	<b>f<sub>u</sub></b>	510	[MPa]

**CARATTERISTICHE DEI BULLONI D'ALA**

Diametro del bullone	<b>d</b>	20	[mm]
Diametro del foro	<b>d<sub>0</sub></b>	21.5	[mm]
Area del gambo filettato	<b>A<sub>s</sub></b>	245	[mm <sup>2</sup> ]
Numero di bulloni su metà giunto	<b>n<sub>b</sub></b>	16	[-]
Numero di bulloni trasversali	<b>n<sub>b,trasv</sub></b>	4	[-]
Numero piani di taglio per bullone	<b>n</b>	2	[-]
Distanza dai bordi e passi	<b>e<sub>1</sub></b>	40	[mm]
	<b>e<sub>2</sub></b>	40	[mm]
	<b>p<sub>1</sub></b>	60	[mm]
	<b>p<sub>2</sub></b>	60	[mm]
	<b>p<sub>3</sub></b>	82	[mm]
	<b>e'<sub>1</sub></b>	40	[mm]
	<b>e'<sub>2</sub></b>	40	[mm]
Resistenza a rottura del bullone	<b>f<sub>ub</sub></b>	1000	[MPa]

**Verifica della geometria**

OK
OK
OK
OK
OK
OK
OK

**CARATTERISTICHE GEOMETRICHE DEL COPRIGIUNTO SUPERIORE**

Lunghezza del coprighiunto	<b>L<sub>c</sub></b>	522	[mm]
Larghezza del coprighiunto	<b>b<sub>c</sub></b>	400	[mm]
Spessore del coprighiunto	<b>t<sub>c</sub></b>	12	[mm]
Resistenza a snervamento dell'acciaio	<b>f<sub>y,c</sub></b>	355	[MPa]
Resistenza a rottura dell'acciaio	<b>f<sub>u,c</sub></b>	510	[MPa]

**CARATTERISTICHE GEOMETRICHE DEL COPRIGIUNTO INFERIORE**

Lunghezza del coprighiunto	<b>L<sub>c</sub></b>	522	[mm]
Larghezza del coprighiunto	<b>b'<sub>c</sub></b>	140	[mm]
Spessore del coprighiunto	<b>t<sub>c</sub></b>	12	[mm]
Resistenza a snervamento dell'acciaio	<b>f<sub>y,c</sub></b>	355	[MPa]
Resistenza a rottura dell'acciaio	<b>f<sub>u,c</sub></b>	510	[MPa]

**Verifica della geometria**

OK
----

**DETERMINAZIONE DELLA RESISTENZA DELLA GIUNZIONE D'ALA**

<b>1</b>	<b>Momento plastico trasferibile dal profilo</b>	$M_{pl,Rd}$	<b>4045.39</b>	[kNm]
<b>2</b>	<b>Momento plastico trasferibile dalle ali</b>			
	Area della singola ala	$A_f$	8000.00	[mm <sup>2</sup> ]
	Massima trazione assunta dall'ala	$F_{t,Rd}$	2581.82	[kN]
	Distanza tra i baricentri delle ali	$z$	1180.00	[mm]
	Momento plastico assunto dalle ali	$M_{t,pl,Rd}$	<b>3046.55</b>	[kNm]
<b>3</b>	<b>Resistenza del giunto offerta dai bulloni</b>			
	Coefficiente di riduzione per la resistenza a taglio	$\alpha_v$	0.50	[-]
	Resistenza a taglio per ciascun piano di taglio	$F_{v,Rd}$	98.00	[kN]
	Coefficiente di riduzione per la lunghezza del giunto	$\beta_{Lf}$	1.02	[-]
		$\beta_{Lf}$	1.00	[-]
	Distanza tra i baricentri delle ali	$z$	1180.00	[mm]
	Momento associato al collasso dei bulloni	$M_{lj,Rd}$	<b>3700.48</b>	[kNm]
<b>4</b>	<b>Resistenza della sezione netta delle ali</b>			
	Area della sezione netta delle ali	$A_{f,net}$	6280.00	[mm <sup>2</sup> ]
	Massima trazione assunta dall'ala al netto dei fori	$F_{t,net,Rd}$	2306.02	[kN]
	Distanza tra i baricentri delle ali	$z$	1180.00	[mm]
	Momento plastico assunto dalle ali al netto dei fori	$M_{zj,Rd}$	<b>2721.10</b>	[kNm]
<b>5</b>	<b>Resistenza a rifollamento delle ali</b>			
	Coefficiente di riduzione per geometria	$\alpha/k$	0.62	2.206977
	Resistenza di ogni singolo bullone	$F_{d,Rd}$	223.37	[kN]
	Distanza tra i baricentri delle ali	$z$	1180.00	[mm]
	Momento plastico assunto dalle ali	$M_{sj,Rd}$	<b>4217.16</b>	[kNm]
<b>6</b>	<b>Resistenza a rifollamento dei coprigiunti</b>			
	Coefficiente di riduzione per geometria	$\alpha/k$	0.62	2.21
	Resistenza di ogni singolo bullone	$F_{d,o,Rd}$	268.04	[kN]
	Distanza tra i baricentri delle ali	$z$	1180.00	[mm]
	Momento plastico assunto dai coprigiunti	$M_{4j,Rd}$	<b>5060.59</b>	[kNm]
<b>7</b>	<b>Resistenza della sezione lorda dei coprigiunti</b>			
	Area della sezione lorda dei coprigiunti	$A_c$	8160.00	[mm <sup>2</sup> ]
	Massima trazione assunta dai coprigiunti	$F_{t,o,Rd}$	2633.45	[kN]
	Distanza tra i baricentri delle ali	$z$	1180.00	[mm]
	Momento plastico assunto dai coprigiunti	$M_{sj,Rd}$	<b>3107.48</b>	[kNm]
<b>8</b>	<b>Resistenza della sezione netta dei coprigiunti</b>			
	Area della sezione netta dei coprigiunti	$A_{c,net}$	6096.00	[mm <sup>2</sup> ]
	Massima trazione assunta dai coprigiunti	$F_{t,o,net,Rd}$	2238.45	[kN]
	Distanza tra i baricentri delle ali	$z$	1180.00	[mm]
	Momento plastico assunto dai coprigiunti al netto dei fori	$M_{6j,Rd}$	<b>2641.37</b>	[kNm]

**VERIFICA DEL GIUNTO CON LE AZIONI SOLLECITANTI DI PROGETTO**

Forza normale di progetto	$N_{Ed}$	912	[kN]
Forza di taglio di progetto	$V_{Ed}$	1193	[kN]
Momento flettente di progetto	$M_{Ed}$	1625	[kNm]

**Ripartizione delle azioni sulle ali**

Momento d'inerzia del profilo	$I_y$	7.521E+09	[mm <sup>4</sup> ]
Momento d'inerzia delle ali	$I_{y,ali}$	5.57E+09	[mm <sup>4</sup> ]
Area del profilo	$A$	33400	[mm <sup>2</sup> ]
Area delle ali	$A_{ali}$	16000	[mm <sup>2</sup> ]
Momento assorbito dalle ali	$M_{f,Ed}$	<b>1203.45</b>	<b>[kNm]</b>
Forza normale assorbita dalle ali	$N_{f,Ed}$	<b>436.89</b>	<b>[kN]</b>

**Ripartizione delle azioni sull'anima**

Forza di taglio assorbita dall'anima	$V_{w,Ed}$	<b>1193.00</b>	<b>[kN]</b>
Forza normale assorbita dall'anima	$N_{w,Ed}$	<b>475.11</b>	<b>[kN]</b>
Momento assorbito dall'anima	$M_{w,Ed}$	<b>421.55</b>	<b>[kNm]</b>

**Verifica della giunzione d'ala**

Forza di scorrimento agente sulle ali	$F_{s,Ed}$	1238.32	[kN]
Momento flettente agente sulle ali	$M_{f,Ed}$	1461.22	[kNm]
Momento resistente minimo	$M_{fj,Rd,min}$	2641.37	[kNm]
Tasso di lavoro	$\Delta$	<b>55.32%</b>	<b>[-]</b>

**RESISTENZA DELLA GIUNZIONE D'ANIMA CON COPRIGIUNTI**

**CARATTERISTICHE GEOMETRICHE DEI PROFILI DA GIUNTARE**

Altezza della sezione	<b>h</b>	1200	[mm]
Larghezza della sezione	<b>b</b>	400	[mm]
Spessore delle ali	<b>t<sub>f</sub></b>	20	[mm]
Spessore dell'anima	<b>t<sub>w</sub></b>	15	[mm]
Raggio di raccordo	<b>r</b>	0	[mm]
Distanza tra i profili	<b>s</b>	2	[mm]
Area della sezione trasversale	<b>A</b>	33400	[mm <sup>2</sup> ]
Momento d'inerzia	<b>I<sub>y</sub></b>	7521250000	[mm <sup>4</sup> ]
Modulo di resistenza elastico	<b>W<sub>el,y</sub></b>	12535000	[mm <sup>3</sup> ]
Modulo di resistenza plastico	<b>W<sub>pl,y</sub></b>	14486000	[mm <sup>3</sup> ]
Resistenza a snervamento dell'acciaio	<b>f<sub>y</sub></b>	355	[MPa]
Resistenza a rottura dell'acciaio	<b>f<sub>u</sub></b>	510	[MPa]

**CARATTERISTICHE DEI BULLONI D'ANIMA**

Diametro del bullone	<b>d</b>	20	[mm]
Diametro del foro	<b>d<sub>0</sub></b>	21.5	[mm]
Area del gambo filettato	<b>A<sub>s</sub></b>	245	[mm <sup>2</sup> ]
Numero di bulloni su metà giunto	<b>n<sub>b</sub></b>	48	[-]
Numero piani di taglio per bullone	<b>n</b>	2	[-]
Distanza dai bordi e passi	<b>e<sub>1</sub></b>	40	[mm]
	<b>e<sub>2</sub></b>	40	[mm]
	<b>p<sub>1</sub></b>	60	[mm]
	<b>p<sub>2</sub></b>	60	[mm]
	<b>p<sub>3</sub></b>	82	[mm]
	<b>e'<sub>1</sub></b>	40	[mm]
Resistenza a rottura del bullone	<b>f<sub>ub</sub></b>	1000	[MPa]

**Verifica della geometria**

OK
OK
OK
OK
OK
OK

**CARATTERISTICHE GEOMETRICHE DEL COPRIGIUNTO**

Lunghezza del coprighiunto	<b>L<sub>c</sub></b>	402	[mm]
Altezza del coprighiunto	<b>h<sub>c</sub></b>	980	[mm]
Spessore del coprighiunto	<b>t<sub>c</sub></b>	10	[mm]
Resistenza a snervamento dell'acciaio	<b>f<sub>y,c</sub></b>	355	[MPa]
Resistenza a rottura dell'acciaio	<b>f<sub>u,c</sub></b>	510	[MPa]

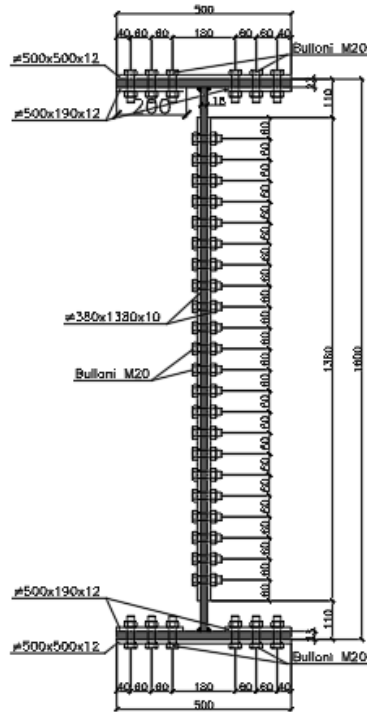


**DETERMINAZIONE DELLA RESISTENZA DELLA GIUNZIONE D'ANIMA**

<b>1</b>	<b>Verifica dei bulloni</b>			
	Coefficiente di riduzione per la resistenza a taglio	$\alpha_v$	0.50	[-]
	Resistenza a taglio per ciascun piano di taglio	$F_{v,Rd}$	98.00	[kN]
	Azione sollecitante	$F_{v,Ed}$	40.81	[kN]
	Tasso di lavoro	$\Delta$	<b>41.64%</b>	[-]
<b>2</b>	<b>Verifica a rifollamento dell'anima della trave</b>			
	Azione di rifollamento in direzione verticale	$F_{Dz,Ed}$	33.46	[kN]
	Azione di rifollamento in direzione orizzontale	$F_{Dy,Ed}$	74.45	[kN]
	Coefficiente di riduzione per geometria	$\alpha_z/k_z$	0.680	2.21
		$\alpha_x/k_x$	0.620	2.21
	Resistenza a rifollamento verticale	$F_{Dz,Rd}$	183.75	[kN]
	Resistenza a rifollamento orizzontale	$F_{Dy,Rd}$	167.52	[kN]
	Tasso di lavoro verticale	$\Delta_z$	<b>18.21%</b>	[-]
	Tasso di lavoro orizzontale	$\Delta_z$	<b>44.44%</b>	[-]
<b>3</b>	<b>Verifica a rifollamento dei coprigiunti</b>			
	Azione di rifollamento in direzione verticale	$F_{Dz,Ed}$	33.46	[kN]
	Azione di rifollamento in direzione orizzontale	$F_{Dy,Ed}$	74.45	[kN]
	Coefficiente di riduzione per geometria	$\alpha_z/k_z$	0.620	2.21
		$\alpha_x/k_x$	0.620	2.21
	Resistenza a rifollamento verticale	$F_{Dz,Rd}$	223.37	[kN]
	Resistenza a rifollamento orizzontale	$F_{Dy,Rd}$	223.37	[kN]
	Tasso di lavoro verticale	$\Delta_z$	<b>14.98%</b>	[-]
	Tasso di lavoro orizzontale	$\Delta_z$	<b>33.33%</b>	[-]
<b>4</b>	<b>Verifica della sezione lorda dei coprigiunti</b>			
	Modulo di resistenza plastico dei coprigiunti	$W_{c,pl}$	4802000	[mm <sup>3</sup> ]
	Area di taglio dei coprigiunti	$A_{c,v}$	19600	[mm <sup>2</sup> ]
	Momento resistente dei coprigiunti	$M_{c,pl,Rd}$	1549.74	[kNm]
	Taglio resistente dei coprigiunti	$V_{c,pl,Rd}$	3652.00	[kN]
	Momento totale agente sul giunto	$M_{w,tot,Rd}$	543.23	[kNm]
	Taglio sollecitante di progetto	$V_{Ed}$	1193.00	[kN]
	Tasso di lavoro	$\Delta_M$	<b>35.05%</b>	[-]
		$\Delta_V$	<b>32.67%</b>	[-]
<b>5</b>	<b>Verifica della sezione netta dei coprigiunti</b>			
	Modulo di resistenza netto dei coprigiunti	$W_{c,net,pl}$	3150800	[mm <sup>3</sup> ]
	Area di taglio netta dei coprigiunti	$A_{c,v}$	12720	[mm <sup>2</sup> ]
	Momento resistente dei coprigiunti	$M_{c,pl,Rd}$	1285.53	[kNm]
	Taglio resistente dei coprigiunti	$V_{c,pl,Rd}$	2996.31	[kN]
	Momento plastico trasferito all'anima della trave	$M_{w,pl,Rd}$	543.23	[kNm]
	Taglio sollecitante di progetto	$V_{Ed}$	1193	[kN]
	Tasso di lavoro	$\Delta_M$	<b>42.26%</b>	[-]
		$\Delta_V$	<b>39.82%</b>	[-]

**8.1.3 Giunto flangiato H=1600**

Il giunto è a parziale ripristino; le sollecitazioni utilizzate sono le più sfavorevoli (si veda paragrafo precedente)



**RESISTENZA DELLA GIUNZIONE D'ALA CON DOPPIO COPRIGIUNTO**

**CARATTERISTICHE GEOMETRICHE DEI PROFILI DA GIUNTARE**

Altezza della sezione	<b>h</b>	1600	[mm]
Larghezza della sezione	<b>b</b>	500	[mm]
Spessore delle ali	<b>t<sub>f</sub></b>	23	[mm]
Spessore dell'anima	<b>t<sub>w</sub></b>	18	[mm]
Raggio di raccordo	<b>r</b>	0	[mm]
Distanza tra i profili	<b>s</b>	2	[mm]
Area della sezione trasversale	<b>A</b>	50970	[mm <sup>2</sup> ]
Momento d'inerzia	<b>I<sub>y</sub></b>	1.99E+10	[mm <sup>4</sup> ]
Modulo di resistenza elastico	<b>W<sub>el,y</sub></b>	2.49E+07	[mm <sup>3</sup> ]
Modulo di resistenza plastico	<b>W<sub>pl,y</sub></b>	2.90E+07	[mm <sup>3</sup> ]
Resistenza a snervamento dell'acciaio	<b>f<sub>y</sub></b>	355	[MPa]
Resistenza a rottura dell'acciaio	<b>f<sub>u</sub></b>	510	[MPa]

**CARATTERISTICHE DEI BULLONI D'ALA**

Diametro del bullone	<b>d</b>	20	[mm]
Diametro del foro	<b>d<sub>0</sub></b>	21.5	[mm]
Area del gambo filettato	<b>A<sub>s</sub></b>	245	[mm <sup>2</sup> ]
Numero di bulloni su metà giunto	<b>n<sub>b</sub></b>	24	[-]
Numero di bulloni trasversali	<b>n<sub>b,trasv</sub></b>	6	[-]
Numero piani di taglio per bullone	<b>n</b>	2	[-]
Distanza dai bordi e passi	<b>e<sub>1</sub></b>	40	[mm]
	<b>e<sub>2</sub></b>	40	[mm]
	<b>p<sub>1</sub></b>	60	[mm]
	<b>p<sub>2</sub></b>	60	[mm]
	<b>p<sub>3</sub></b>	82	[mm]
	<b>e'<sub>1</sub></b>	40	[mm]
	<b>e'<sub>2</sub></b>	40	[mm]
Resistenza a rottura del bullone	<b>f<sub>ub</sub></b>	1000	[MPa]

Verifica della geometria	
	OK
	OK
	OK
	OK
	OK
	OK

**CARATTERISTICHE GEOMETRICHE DEL COPRIGIUNTO SUPERIORE**

Lunghezza del coprigiunto	<b>L<sub>c</sub></b>	522	[mm]
Larghezza del coprigiunto	<b>b<sub>c</sub></b>	500	[mm]
Spessore del coprigiunto	<b>t<sub>c</sub></b>	12	[mm]
Resistenza a snervamento dell'acciaio	<b>f<sub>y,c</sub></b>	355	[MPa]
Resistenza a rottura dell'acciaio	<b>f<sub>u,c</sub></b>	510	[MPa]

**CARATTERISTICHE GEOMETRICHE DEL COPRIGIUNTO INFERIORE**

Lunghezza del coprigiunto	<b>L<sub>c</sub></b>	522	[mm]
Larghezza del coprigiunto	<b>b'<sub>c</sub></b>	200	[mm]
Spessore del coprigiunto	<b>t<sub>c</sub></b>	12	[mm]
Resistenza a snervamento dell'acciaio	<b>f<sub>y,c</sub></b>	355	[MPa]
Resistenza a rottura dell'acciaio	<b>f<sub>u,c</sub></b>	510	[MPa]

Verifica della geometria	
	OK

**DETERMINAZIONE DELLA RESISTENZA DELLA GIUNZIONE D'ALA**

<b>1</b>	<b>Momento plastico trasferibile dal profilo</b>	$M_{pl,Rd}$	<b>8040.10</b>	[kNm]
<b>2</b>	<b>Momento plastico trasferibile dalle ali</b>			
	Area della singola ala	$A_f$	11500.00	[mm <sup>2</sup> ]
	Massima trazione assunta dall'ala	$F_{t,Rd}$	3711.36	[kN]
	Distanza tra i baricentri delle ali	$z$	1577.00	[mm]
	Momento plastico assunto dalle ali	$M_{t,pl,Rd}$	<b>5852.82</b>	[kNm]
<b>3</b>	<b>Resistenza del giunto offerta dai bulloni</b>			
	Coefficiente di riduzione per la resistenza a taglio	$\alpha_v$	0.50	[-]
	Resistenza a taglio per ciascun piano di taglio	$F_{v,Rd}$	98.00	[kN]
	Coefficiente di riduzione per la lunghezza del giunto	$\beta_{Lf}$	1.02	[-]
		$\beta_{Lf}$	1.00	[-]
	Distanza tra i baricentri delle ali	$z$	1577.00	[mm]
	Momento associato al collasso dei bulloni	$M_{ij,Rd}$	<b>7418.21</b>	[kNm]
<b>4</b>	<b>Resistenza della sezione netta delle ali</b>			
	Area della sezione netta delle ali	$A_{f,net}$	8533.00	[mm <sup>2</sup> ]
	Massima trazione assunta dall'ala al netto dei fori	$F_{t,net,Rd}$	3133.32	[kN]
	Distanza tra i baricentri delle ali	$z$	1577.00	[mm]
	Momento plastico assunto dalle ali al netto dei fori	$M_{2j,Rd}$	<b>4941.24</b>	[kNm]
<b>5</b>	<b>Resistenza a rifollamento delle ali</b>			
	Coefficiente di riduzione per geometria	$\alpha/k$	0.62	2.206977
	Resistenza di ogni singolo bullone	$F_{d,Rd}$	256.87	[kN]
	Distanza tra i baricentri delle ali	$z$	1577.00	[mm]
	Momento plastico assunto dalle ali	$M_{3j,Rd}$	<b>9722.07</b>	[kNm]
<b>6</b>	<b>Resistenza a rifollamento dei coprigiunti</b>			
	Coefficiente di riduzione per geometria	$\alpha/k$	0.62	2.21
	Resistenza di ogni singolo bullone	$F_{d,c,Rd}$	268.04	[kN]
	Distanza tra i baricentri delle ali	$z$	1577.00	[mm]
	Momento plastico assunto dai coprigiunti	$M_{4j,Rd}$	<b>10144.77</b>	[kNm]
<b>7</b>	<b>Resistenza della sezione lorda dei coprigiunti</b>			
	Area della sezione lorda dei coprigiunti	$A_c$	10800.00	[mm <sup>2</sup> ]
	Massima trazione assunta dai coprigiunti	$F_{t,c,Rd}$	3485.45	[kN]
	Distanza tra i baricentri delle ali	$z$	1577.00	[mm]
	Momento plastico assunto dai coprigiunti	$M_{5j,Rd}$	<b>5496.56</b>	[kNm]
<b>8</b>	<b>Resistenza della sezione netta dei coprigiunti</b>			
	Area della sezione netta dei coprigiunti	$A_{c,net}$	7704.00	[mm <sup>2</sup> ]
	Massima trazione assunta dai coprigiunti	$F_{t,c,net,Rd}$	2828.91	[kN]
	Distanza tra i baricentri delle ali	$z$	1577.00	[mm]
	Momento plastico assunto dai coprigiunti al netto dei fori	$M_{6j,Rd}$	<b>4461.19</b>	[kNm]

<p>ANAS S.p.A.</p> <p>S.S. 389 TRONCO VILLANOVA – LANUSEI – TORTOLI</p> <p>LOTTO BIVIO VILLAGRANDE – SVINCOLO DI ARZANA</p> <p>DAL Km 51+100,00 DELLA S.S. 389 VAR AL Km 177+930,00 DELLA S.S. 389</p> <p><b>Viadotto VI02 - Relazione di calcolo impalcato</b></p>	<p>File: T00_VI02_STR_RE01_A</p> <p>Data: Agosto 2020</p> <p>Pag. 76 di 122</p>
---	---

**VERIFICA DEL GIUNTO CON LE AZIONI SOLLECITANTI DI PROGETTO**

Forza normale di progetto	$N_{Ed}$	1787	[kN]
Forza di taglio di progetto	$V_{Ed}$	989	[kN]
Momento flettente di progetto	$M_{Ed}$	2927	[kNm]

**Ripartizione delle azioni sulle ali**

Momento d'inerzia del profilo	$I_y$	1.993E+10	[mm <sup>4</sup> ]
Momento d'inerzia delle ali	$I_{y,ali}$	1.43E+10	[mm <sup>4</sup> ]
Area del profilo	A	50970	[mm <sup>2</sup> ]
Area delle ali	$A_{ali}$	23000	[mm <sup>2</sup> ]
Momento assorbito dalle ali	$M_{f,Ed}$	<b>2100.28</b>	<b>[kNm]</b>
Forza normale assorbita dalle ali	$N_{f,Ed}$	<b>806.38</b>	<b>[kN]</b>

**Ripartizione delle azioni sull'anima**

Forza di taglio assorbita dall'anima	$V_{w,Ed}$	<b>989.00</b>	<b>[kN]</b>
Forza normale assorbita dall'anima	$N_{w,Ed}$	<b>980.62</b>	<b>[kN]</b>
Momento assorbito dall'anima	$M_{w,Ed}$	<b>826.72</b>	<b>[kNm]</b>

**Verifica della giunzione d'ala**

Forza di scorrimento agente sulle ali	$F_{s,Ed}$	1735.01	[kN]
Momento flettente agente sulle ali	$M_{f,Ed}$	2736.11	[kNm]
Momento resistente minimo	$M_{fj,Rd,min}$	4461.19	[kNm]
Tasso di lavoro	$\Delta$	<b>61.33%</b>	<b>[-]</b>

**DETERMINAZIONE DELLA RESISTENZA DELLA GIUNZIONE D'ANIMA**

<b>1</b>	<b>Verifica dei bulloni</b>			
	Coefficiente di riduzione per la resistenza a taglio	$\alpha_v$	0.50	[-]
	Resistenza a taglio per ciascun piano di taglio	$F_{v,Rd}$	98.00	[kN]
	Azione sollecitante	$F_{v,Ed}$	38.89	[kN]
	Tasso di lavoro	$\Delta$	<b>39.68%</b>	<b>[-]</b>
<b>2</b>	<b>Verifica a rifollamento dell'anima della trave</b>			
	Azione di rifollamento in direzione verticale	$F_{Dz,Ed}$	20.71	[kN]
	Azione di rifollamento in direzione orizzontale	$F_{Dy,Ed}$	74.97	[kN]
	Coefficiente di riduzione per geometria	$\alpha_z/k_z$	0.680	2.21
		$\alpha_x/k_x$	0.620	2.21
	Resistenza a rifollamento verticale	$F_{Dz,Rd}$	220.50	[kN]
	Resistenza a rifollamento orizzontale	$F_{Dy,Rd}$	201.03	[kN]
	Tasso di lavoro verticale	$\Delta_z$	<b>9.39%</b>	<b>[-]</b>
	Tasso di lavoro orizzontale	$\Delta_z$	<b>37.29%</b>	<b>[-]</b>
<b>3</b>	<b>Verifica a rifollamento dei coprigiunti</b>			
	Azione di rifollamento in direzione verticale	$F_{Dz,Ed}$	20.71	[kN]
	Azione di rifollamento in direzione orizzontale	$F_{Dy,Ed}$	74.97	[kN]
	Coefficiente di riduzione per geometria	$\alpha_z/k_z$	0.620	2.21
		$\alpha_x/k_x$	0.620	2.21
	Resistenza a rifollamento verticale	$F_{Dz,Rd}$	223.37	[kN]
	Resistenza a rifollamento orizzontale	$F_{Dy,Rd}$	223.37	[kN]
	Tasso di lavoro verticale	$\Delta_z$	<b>9.27%</b>	<b>[-]</b>
	Tasso di lavoro orizzontale	$\Delta_z$	<b>33.56%</b>	<b>[-]</b>
<b>4</b>	<b>Verifica della sezione lorda dei coprigiunti</b>			
	Modulo di resistenza plastico dei coprigiunti	$W_{c,pl}$	8978000	[mm <sup>3</sup> ]
	Area di taglio dei coprigiunti	$A_{c,v}$	26800	[mm <sup>2</sup> ]
	Momento resistente dei coprigiunti	$M_{c,pl,Rd}$	2897.45	[kNm]
	Taglio resistente dei coprigiunti	$V_{c,pl,Rd}$	4993.55	[kN]
	Momento totale agente sul giunto	$M_{w,tot,Rd}$	927.60	[kNm]
	Taglio sollecitante di progetto	$V_{Ed}$	989.00	[kN]
	Tasso di lavoro	$\Delta_M$	<b>32.01%</b>	<b>[-]</b>
		$\Delta_V$	<b>19.81%</b>	<b>[-]</b>
<b>5</b>	<b>Verifica della sezione netta dei coprigiunti</b>			
	Modulo di resistenza netto dei coprigiunti	$W_{c,net,pl}$	5856200	[mm <sup>3</sup> ]
	Area di taglio netta dei coprigiunti	$A_{c,v}$	17340	[mm <sup>2</sup> ]
	Momento resistente dei coprigiunti	$M_{c,pl,Rd}$	2389.33	[kNm]
	Taglio resistente dei coprigiunti	$V_{c,pl,Rd}$	4084.59	[kN]
	Momento plastico trasferito all'anima della trave	$M_{w,pl,Rd}$	927.60	[kNm]
	Taglio sollecitante di progetto	$V_{Ed}$	989	[kN]
	Tasso di lavoro	$\Delta_M$	<b>38.82%</b>	<b>[-]</b>
		$\Delta_V$	<b>24.21%</b>	<b>[-]</b>

## 8.2 Controventi a K

### 8.2.1 Verifica SLU-SLV

I controventi sono costituiti da profili accoppiati di tipo L150x12.

Si riportano di seguito le sollecitazioni agenti sui controventi:

SLU (fase1+fase2+fase3)/SLV

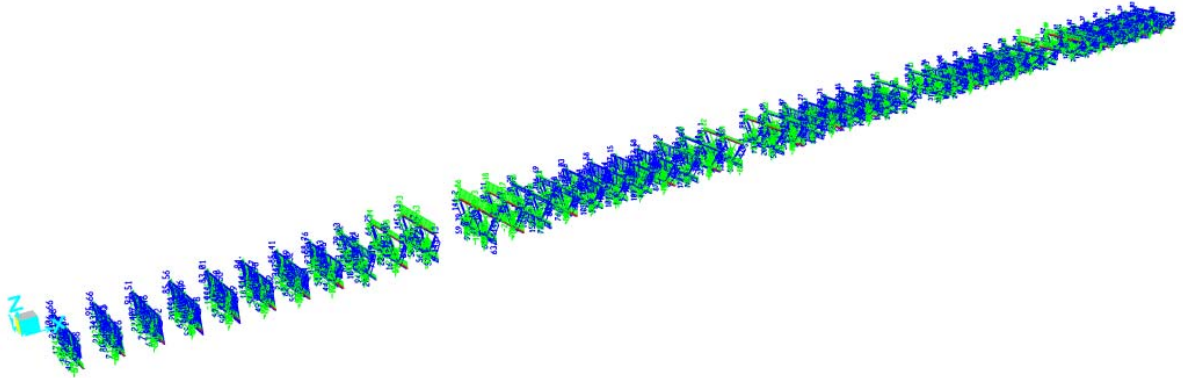


Figura 8.10 -. Sforzo Normale (kN)

## RIEPILOGO SOLLECITAZIONI

Nmax /min= -242/ 444 kN

## VERIFICA – SLU/SLV

Profili L  
 File Tipo Profilo ?

L Uguali  Doppi  Accosta lato corto  
 L Disuguali

Ordina per  
 iy  ly  g

Acciaio: S355 (Fe510) fy (N/mm2): 355 fu: 510

Lunghezze di libera inflessione [m]  
 I<sub>Oy</sub>: 0 I<sub>Oz</sub>: 0 I<sub>Ov</sub>: 5,25

designation	g (kg/m)	h (mm)	b (mm)	t (mm)	r1 (mm)	r2 (mm)
L 100 x 100 x 16	23.2	100	100	16.00	12.00	6.00
L 120 x 120 x 13	23.3	120	120	13.00	13.00	6.50
L 130 x 130 x 12	23.5	130	130	12.00	14.00	7.00
L 120 x 120 x 15	26.6	120	120	15.00	13.00	6.50
L 130 x 130 x 14	27.2	130	130	14.00	14.00	7.00
L 150 x 150 x 12	27.3	150	150	12.00	16.00	8.00
L 140 x 140 x 12	27.4	140	140	12.00	15.00	7.50

2 L 150 x 150 x 12 N<sub>bu,Fd</sub> [kN]: 2 105 N<sub>bu,Fd</sub> [kN]: 349,5  
 N<sub>bu,Fd</sub> [kN]: 2 105 N<sub>bu,Fd</sub> [kN]: ?

Classe Sezione Compressione: 4

g (Kg/m): 54,6  
 h (mm): 150 A (cm<sup>2</sup>): 69,66  
 b (mm): 150 I<sub>y</sub> (cm<sup>4</sup>): 1 474 W<sub>z</sub> (cm<sup>3</sup>): 191,0 I<sub>v</sub> (cm<sup>4</sup>): 303,4  
 t (mm): 12 W<sub>y</sub> (cm<sup>3</sup>): 135,5 I<sub>z</sub> (cm<sup>4</sup>): 6 520 I<sub>v</sub> (cm<sup>4</sup>): 2 951  
 r1 (mm): 16 I<sub>y</sub> (cm): 4,599 I<sub>u</sub> (cm<sup>4</sup>): 1 170  
 r2 (mm): 8 I<sub>z</sub> (cm<sup>4</sup>): 2 961 I<sub>u</sub> (cm): 5,796

Resistenza all'instabilità - EC3 #6.3.1

2 L 150 x 150 x 12    Acciaio S355 (Fe510)    fy (N/mm2) 355

$\gamma_{M1} = 1.05$      $\beta_A = 0.894$      $e = 0.81$      $\lambda_1 = 93.9$      $e = 76.4$

	Instabilità attorno all'asse		
	y - y	z - z	v - v
Snellezza $\lambda$	0.0	0.0	177.91
Snellezza adimensionale $\bar{\lambda} = \lambda / \lambda_1$ $\beta_A^{0.5}$	0.0	0.0	2.2013
Curva di instabilità c	c	c	c
Coefficiente di imperfezione $\alpha$	0.49	0.49	0.49
$\phi = 0.5 [1 + \alpha(\bar{\lambda} - 0.2)^2 + \bar{\lambda}^2]$	0.451	0.451	3.4131
$\chi = 1 / [\phi + (\phi^2 - \bar{\lambda}^2)^{0.5}]$	1.0	1.0	0.1661
$N_{b,Rd} = \chi \beta_A A f_y / \gamma_{M1}$ (kN)	2104.518	2104.518	349.506

$N_{rd} = -349 \text{ kN} > N_{min}$

$N_{rd} = 2105 \text{ kN} > N_{max}$

### Verificato

## 8.3 Controventi di falda

In fase di getto i controventi si rendono necessari per la stabilità delle travi principali (svergolamento).

Nella fase 1 sono soggetti al peso della soletta, delle travi in acciaio ed al vento:



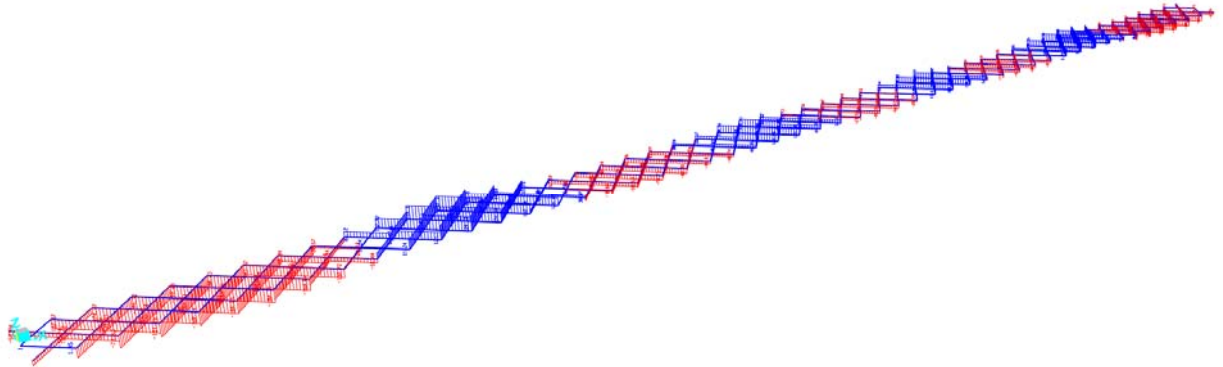


Figura 8.11 -. Sforzo Normale (kN)

### RIEPILOGO SOLLECITAZIONI

Nmax /min= -198/ 237 kN

### VERIFICA

**Profili L**  
 File Tipo Profilo ?  
 L Uguali  Doppi  Accosta lato corto  
 L Disuguali d (mm) 10 ?  
 Ordina per:  iy  ly  g  
 Acciaio: S355 (Fe510) fy (N/mm2) 355 fu 510  
 Lunghezze di libera inflessione [m]:  
 l<sub>0y</sub> 0 l<sub>0z</sub> 0 l<sub>0v</sub> 7.25  
 Aggiorna Tabella

designation	g (kg/m)	h (mm)	b (mm)	t (mm)	r1 (mm)	r2 (mm)
L 150 x 150 x 12	27.3	150	150	12.00	16.00	8.00
L 140 x 140 x 13	27.4	140	140	13.00	15.00	7.50
L 130 x 130 x 16	30.9	130	130	16.00	14.00	7.00
L 140 x 140 x 15	31.4	140	140	15.00	15.00	7.50
L 120 x 120 x 18	31.5	120	120	18.00	13.00	6.50
L 150 x 150 x 14	31.6	150	150	14.00	16.00	8.00
L 160 x 160 x 16	33.0	160	160	16.00	16.00	8.00

Plotta  
 2L 150 x 150 x 14 N<sub>bg,Fd</sub> [kN] 2 670 N<sub>bv,Fd</sub> [kN] 226.0  
 N<sub>bc,Fd</sub> [kN] 2 670 ?  
 Classe Sezione Compressione 4 ?  
 g (Kg/m): 63.2  
 h (mm): 150 A (cm2): 80.62  
 b (mm): 150 I<sub>y</sub> (cm4): 1 691 W<sub>z</sub> (cm3): 224.2 I<sub>v</sub> (cm4): 348.2  
 t (mm): 14 W<sub>y</sub> (cm3): 156.6 I<sub>z</sub> (cm): 6.566 I<sub>v</sub> (cm): 2.939  
 r1 (mm): 16 I<sub>y</sub> (cm): 4.579 I<sub>u</sub> (cm4): 1 343  
 r2 (mm): 8 I<sub>z</sub> (cm4): 3 475 I<sub>u</sub> (cm): 5.771

Resistenza all'instabilità - EC3 #6.3.1

2 L 150 x 150 x 14    Acciaio S355 (Fe510)    fy (N/mm<sup>2</sup>) 355

$\gamma_{M1} = 1.05$      $\beta_A = 0.98$      $\varepsilon = 0.81$      $\lambda_1 = 93.9$      $\varepsilon = 76.4$

		Instabilità attorno all'asse		
		y - y	z - z	v - v
Snellezza	$\lambda$	0.0	0.0	246.68
Snellezza adimensionale	$\bar{\lambda} = \lambda / \lambda_1$ $\beta_A^{0.5}$	0.0	0.0	3.1957
Curva di instabilità		c	c	c
Coefficiente di imperfezione	$\alpha$	0.49	0.49	0.49
$\phi = 0.5 [1 + \alpha(\bar{\lambda} - 0.2)^2 + \lambda]$		0.451	0.451	6.3403
$\chi = 1 / [\phi + (\phi^2 - \bar{\lambda}^2)^{0.5}]$		1.0	1.0	0.0846
$N_{b,Rd} = \chi \beta_A A f_y / \gamma_{M1}$ (kN)		2670.011	2670.011	225.961

$N_{rd} = -226 \text{ kN} > N_{min}$

$N_{rd} = 2670 \text{ kN} > N_{max}$

Verificato

## 8.4 Soletta

Si considera una striscia di soletta pari ad 1 m.

<p>ANAS S.p.A.</p> <p>S.S. 389 TRONCO VILLANOVA – LANUSEI – TORTOLI          LOTTO BIVIO VILLAGRANDE – SVINCOLO DI ARZANA          DAL Km 51+100,00 DELLA S.S. 389 VAR AL Km 177+930,00 DELLA S.S. 389  <b>Viadotto VI02 - Relazione di calcolo impalcato</b></p>	<p>File: T00_VI02_STR_RE01_A          Data: Agosto 2020          Pag. 82 di 122</p>
---	---

La soletta è completa e deve sopportare i carichi permanenti portati ed i carichi mobili previsti dalla normativa.

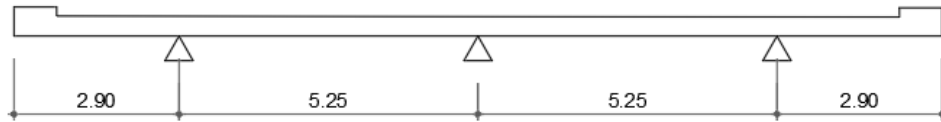


Figura 8.12 -. Schema statico

### 8.4.1 Analisi dei carichi

#### Permanenti

- Soletta  $25 * 0.35 = 8.75 \text{ kN/m}$
- Cordolo  $25 * (0.55) = 13.75 \text{ kN/m}$
- Pavimentazione  $= 3.00 \text{ kN/m}$
  
- Vette, collettori, guard rail  $= 7.00 \text{ kN}$

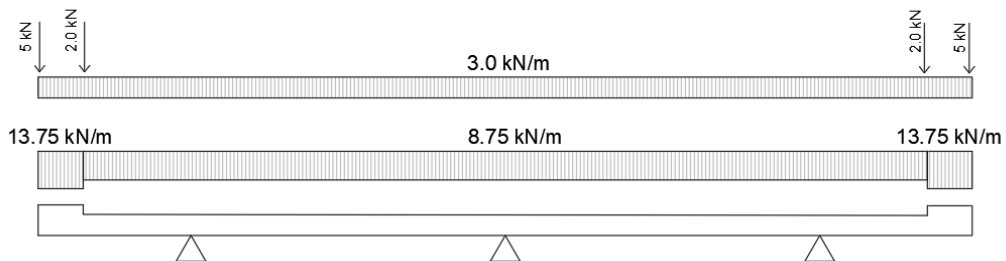


Figura 8.13 -. Carichi permanenti

#### Variabili

I carichi variabili da traffico sono definiti nel 5.1.3.3.3 della NTC 2018.

Le azioni variabili del traffico, comprensive degli effetti dinamici, sono definite dai seguenti schemi di carico:

**Schema di Carico 1:** è costituito da carichi concentrati su due assi in tandem, applicati su impronte di pneumatico di forma quadrata e lato 0,40 m, e da carichi uniformemente distribuiti. Questo schema è da assumere a riferimento sia per le verifiche globali, sia per le verifiche locali,

<p>ANAS S.p.A.</p> <p>S.S. 389 TRONCO VILLANOVA – LANUSEI – TORTOLI          LOTTO BIVIO VILLAGRANDE – SVINCOLO DI ARZANA          DAL Km 51+100,00 DELLA S.S. 389 VAR AL Km 177+930,00 DELLA S.S. 389  <b>Viadotto VI02 - Relazione di calcolo impalcato</b></p>	<p>File: T00_VI02_STR_RE01_A          Data: Agosto 2020          Pag. 83 di 122</p>
---	---

considerando un solo carico tandem per corsia, disposto in asse alla corsia stessa. Il carico tandem, se presente, va considerato per intero.

**Schema di Carico 2:** è costituito da un singolo asse applicato su specifiche impronte di pneumatico di forma rettangolare, di larghezza 0,60 m ed altezza 0,35 m. Questo schema va considerato autonomamente con asse longitudinale nella posizione più gravosa ed è da assumere a riferimento solo per verifiche locali. Qualora sia più gravoso si considererà il peso di una singola ruota di 200 kN.

**Schema di Carico 3:** è costituito da un carico isolato da 150kN con impronta quadrata di lato 0,40m. Si utilizza per verifiche locali su marciapiedi non protetti da sicurvìa.

**Schema di Carico 4:** è costituito da un carico isolato da 10 kN con impronta quadrata di lato 0,10m. Si utilizza per verifiche locali su marciapiedi protetti da sicurvìa e sulle passerelle pedonali.

**Schema di Carico 5:** costituito dalla folla compatta, agente con intensità nominale, comprensiva degli effetti dinamici, di 5,0 kN/m<sup>2</sup>. Il valore di combinazione è invece di 2,5 kN/m<sup>2</sup>. Il carico folla deve essere applicato su tutte le zone significative della superficie di influenza, inclusa l'area dello spartitraffico centrale, ove rilevante.

Vedi capitoli precedenti per la configurazione geometrica dei carichi mobili.

#### Diffusione dei carichi concentrati

I carichi concentrati da considerarsi ai fini delle verifiche locali ed associati agli Schemi di Carico 1, 2, 3 e 4 si assumono uniformemente distribuiti sulla superficie della rispettiva impronta. La diffusione attraverso la pavimentazione e lo spessore della soletta si considera avvenire secondo un angolo di 45°, fino al piano medio della struttura della soletta sottostante.

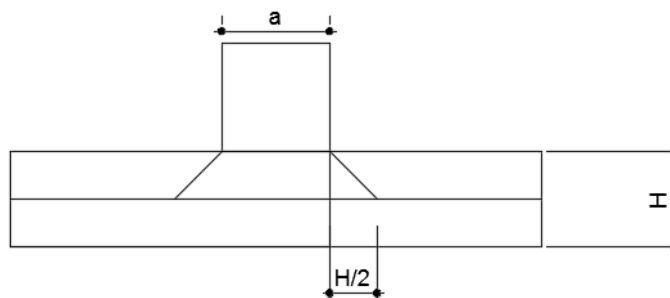


Figura 8.14 - Diffusione nella soletta

Per tener conto dell'effetto lastra, si diffonde il carico verso le travi principali con un angolo di 26.7°.

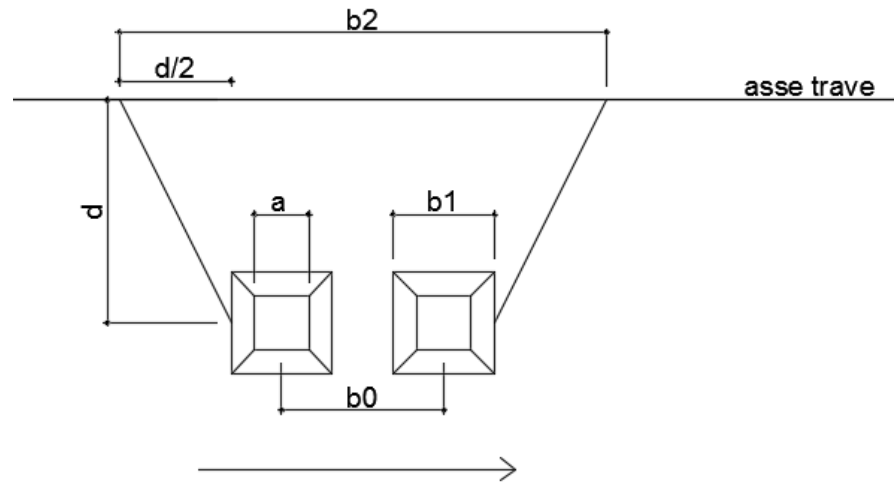


Figura 8.15 -. Diffusione verso trave

In cui si è indicato con:

$a$  = larghezza impronta di carico

$H$  = altezza soletta + pavimentazione

$d$  = distanza carico / trave

$b_0$  = distanza carico tandem

di conseguenza si ricavano le altre grandezze:

$$b_1 = a + 2 \cdot H / 2$$

$$b_2 = b_0 + b_1 + 2 \cdot d / 2$$

il carico sulla striscia unitaria sarà pertanto:

$$F = Q_i / d$$

## **IMPRONTA DI CARICO 1**

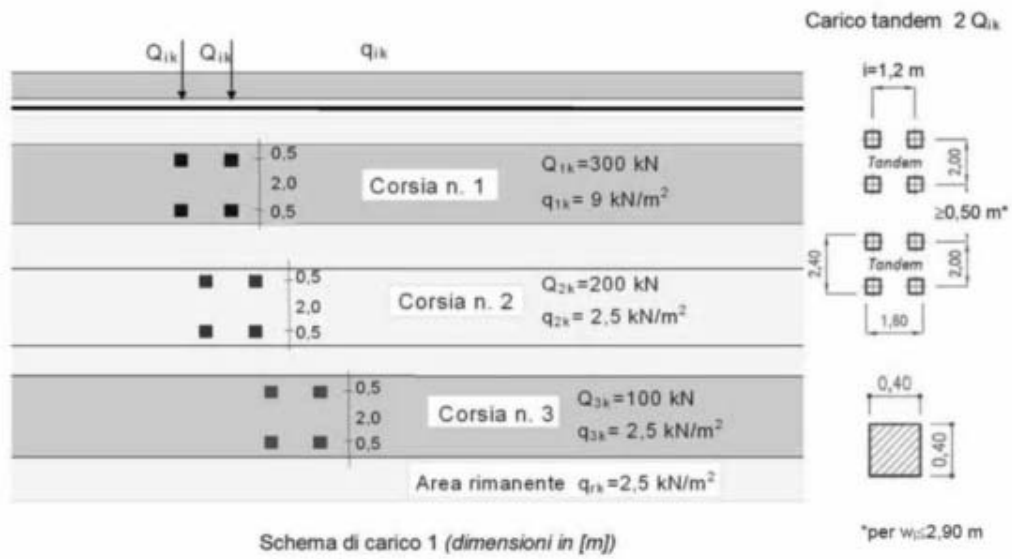


Figura 8.16 -. Impronta di carico 1

## IMPRONTA DI CARICO 2

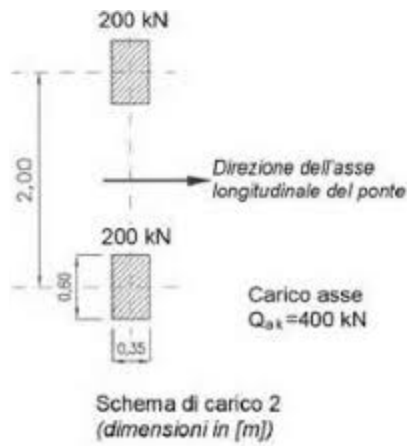


Figura 8.17 -. Impronta di carico 2

## DISPOSIZIONE DEI CARICHI VARIABILI DA TRAFFICO

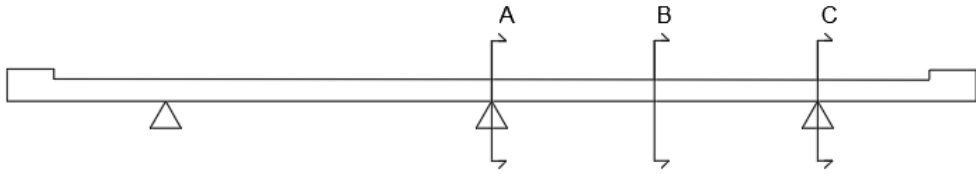


Figura 8.18 -. sezioni di interesse per la massimizzazione delle sollecitazioni

Il posizionamento dei carichi variabili da traffico viene eseguito in modo tale da massimizzare le azioni in corrispondenza delle sezioni A-A, B-B, C-C.

Le configurazioni di carico verranno illustrate nelle figure che seguono (con un tratteggio pieno si indica "l'area di carico rimanente"):

**Condizione di carico 1**

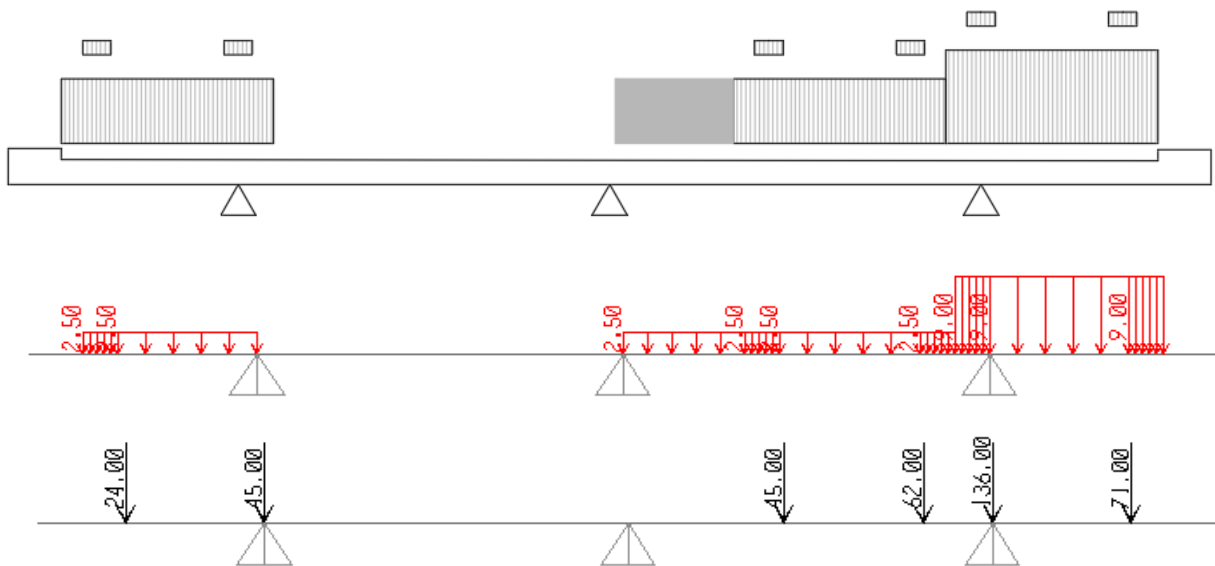


Figura 8.19 -. Condizione di carico 1

**Condizione di carico 2**

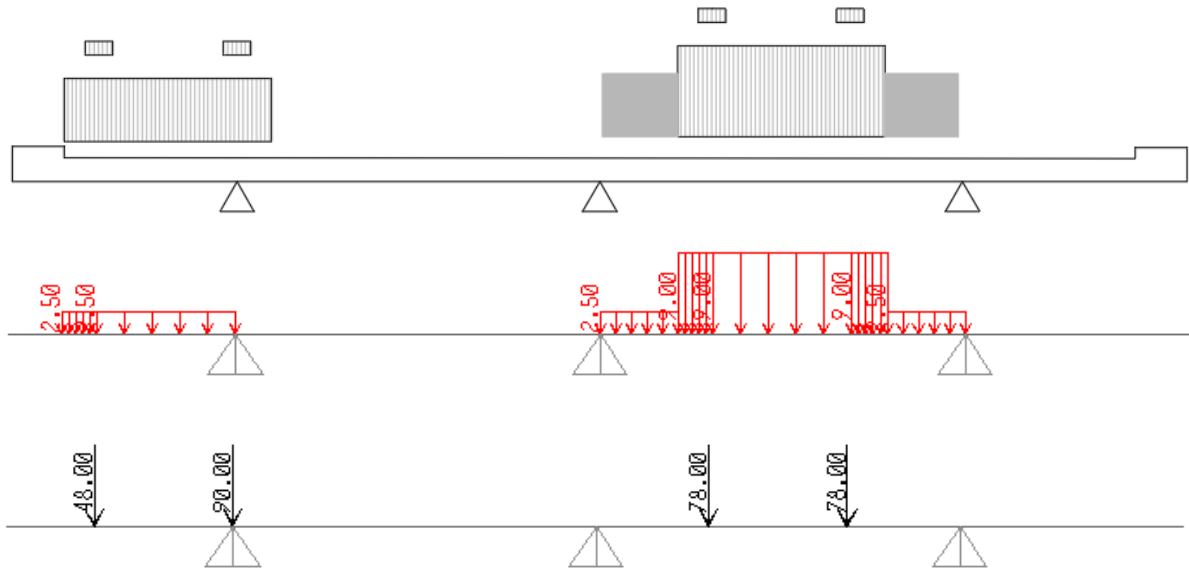


Figura 8.20 - Condizione di carico 2

**Condizione di carico 3**

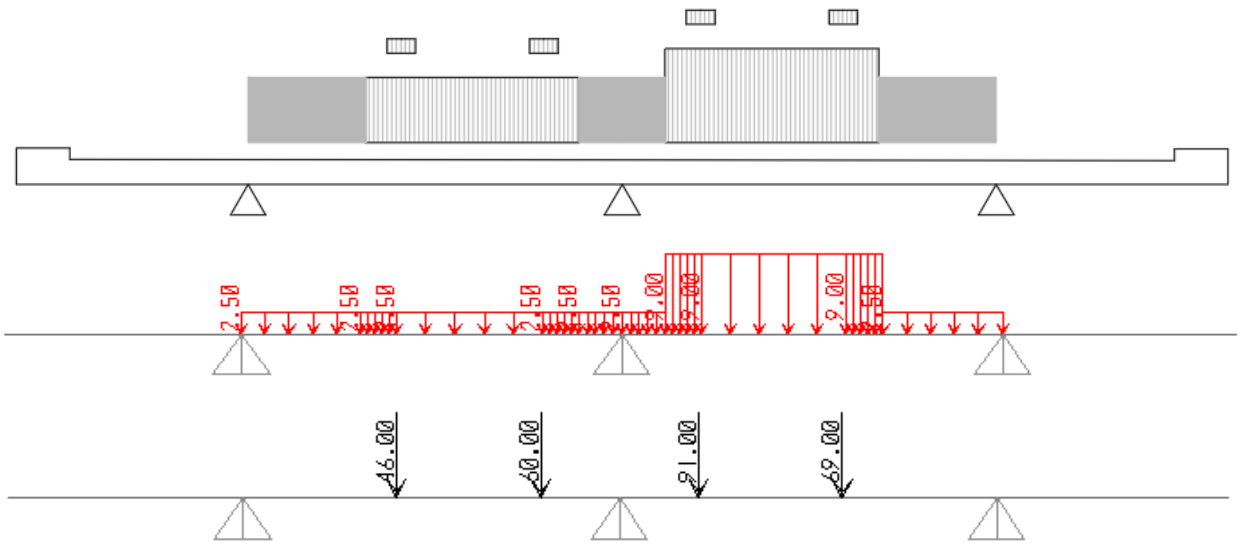


Figura 8.21 - Condizione di carico 3

Le corrispondenti forze valgono:



<b>ANAS S.p.A.</b> S.S. 389 TRONCO VILLANOVA – LANUSEI – TORTOLI LOTTO BIVIO VILLAGRANDE – SVINCOLO DI ARZANA DAL Km 51+100,00 DELLA S.S. 389 VAR AL Km 177+930,00 DELLA S.S. 389 <b>Viadotto VI02 - Relazione di calcolo impalcato</b>	File: T00_VI02_STR_RE01_A Data: Agosto 2020 Pag. 88 di 122
---	--

**CASO 1**

		Q	Pav.	H sol	a	b0	d	b1	b2	F
Tandem 1	sx	300	0.13	0.35	0.40	1.20	0	1.01	2.21	136
	dx	300	0.13	0.35	0.40	1.20	2	1.01	4.21	71

		Q	Pav.	H sol	a	b0	d	b1	b2	F
Tandem 2	sx	200	0.13	0.35	0.40	1.20	2.25	1.01	4.46	45
	dx	200	0.13	0.35	0.40	1.20	1	1.01	3.21	62

		Q	Pav.	H sol	a	b0	d	b1	b2	F
Tandem 3	sx	100	0.13	0.35	0.40	1.20	2	1.01	4.21	24
	dx	100	0.13	0.35	0.40	1.20	0	1.01	2.21	45

**CASO 2**

		Q	Pav.	H sol	a	b0	d	b1	b2	F
Tandem 1	sx	300	0.13	0.35	0.40	1.20	1.62	1.01	3.83	78
	dx	300	0.13	0.35	0.40	1.20	1.62	1.01	3.83	78

		Q	Pav.	H sol	a	b0	d	b1	b2	F
Tandem 2	sx	200	0.13	0.35	0.40	1.20	2	1.01	4.21	48
	dx	200	0.13	0.35	0.40	1.20	0	1.01	2.21	90

**CASO 3**

		Q	Pav.	H sol	a	b0	d	b1	b2	F
Tandem 1	sx	300	0.13	0.35	0.40	1.20	1.1	1.01	3.31	91
	dx	300	0.13	0.35	0.40	1.20	2.15	1.01	4.36	69

		Q	Pav.	H sol	a	b0	d	b1	b2	F
Tandem 2	sx	200	0.13	0.35	0.40	1.20	2.15	1.01	4.36	46
	dx	200	0.13	0.35	0.40	1.20	1.1	1.01	3.31	60

Vengono di seguito riportati gli involuipi dei diagrammi di momento flettente e taglio. Le sollecitazioni sono ottenute con carichi già fattorizzati allo stato limite ultimo .

$$\gamma_{G1} \cdot G_1 + \gamma_{G2} \cdot G_2 + \gamma_P \cdot P + \gamma_{Q1} \cdot Q_{k1} + \gamma_{Q2} \cdot \psi_{02} \cdot Q_{k2} + \gamma_{Q3} \cdot \psi_{03} \cdot Q_{k3} + \dots$$

con

Combinazione SLU

$$\gamma_{G1} = 1.35 \quad (\text{carichi strutturali})$$

$$\gamma_{G2} = 1.50 \quad (\text{carichi non strutturali})$$

$$\gamma_{Q1} = 1.35 \quad (\text{carichi variabili da traffico})$$

Combinazione SLE-rara/frequente/QP

$$\gamma_{G1} = 1.00/1.00/1.00 \quad (\text{carichi strutturali})$$

$$\gamma_{G2} = 1.00/1.00/1.00 \quad (\text{carichi non strutturali})$$

$$\gamma_{Q1} = 1.00/0.75/0.00 \quad (\text{carichi variabili da traffico})$$

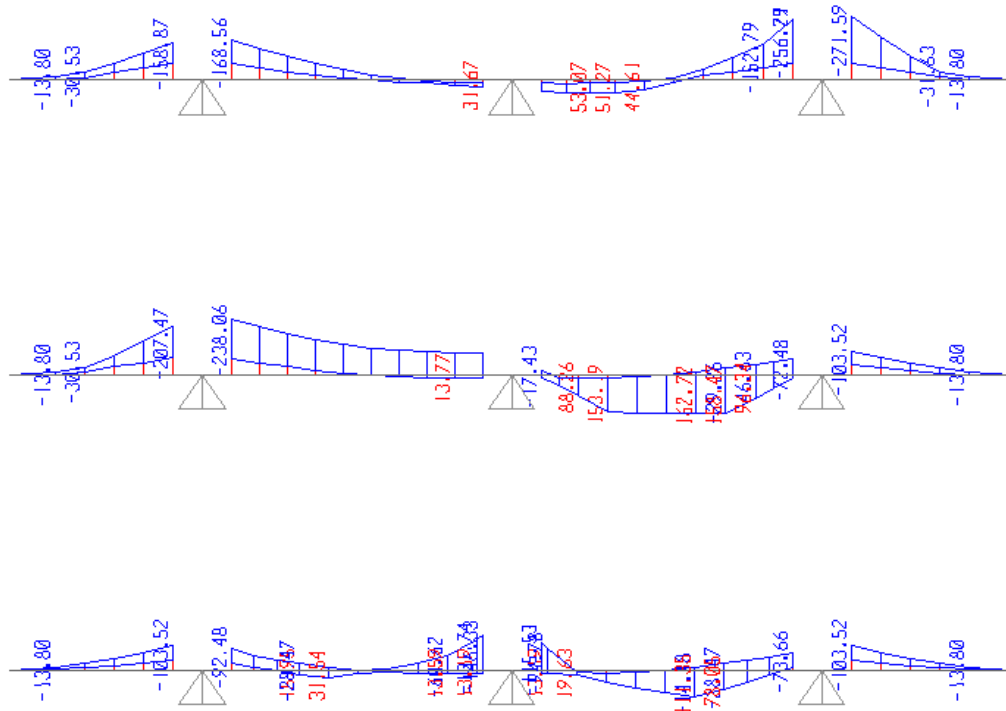


Figura 8.22 - involuppo momento flettente SLU

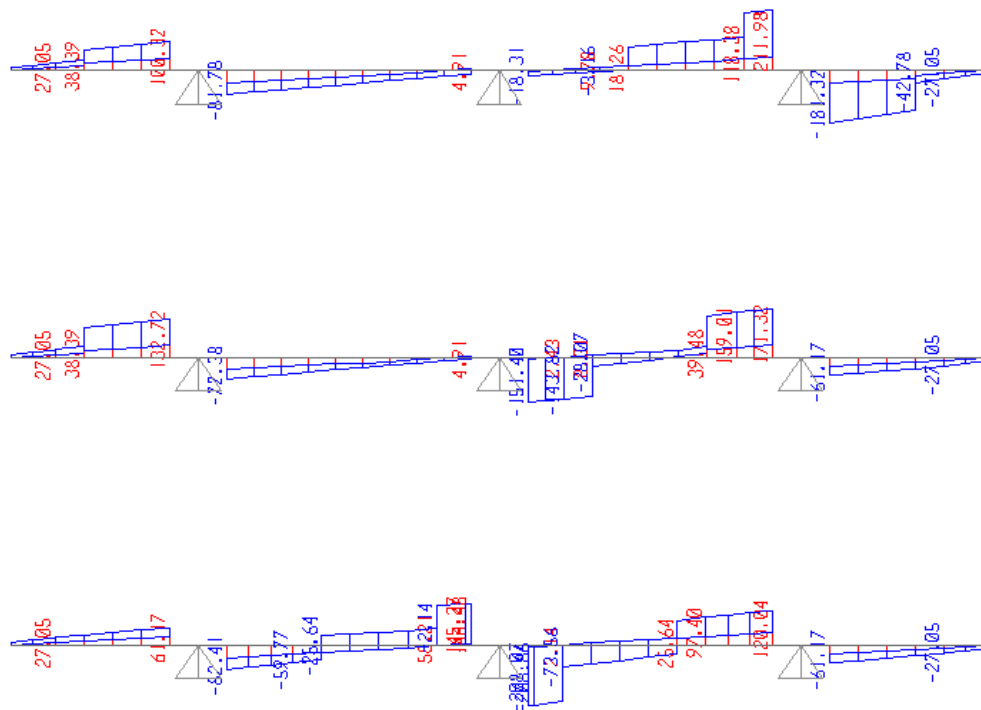


Figura 8.23 - involuppo taglio SLU

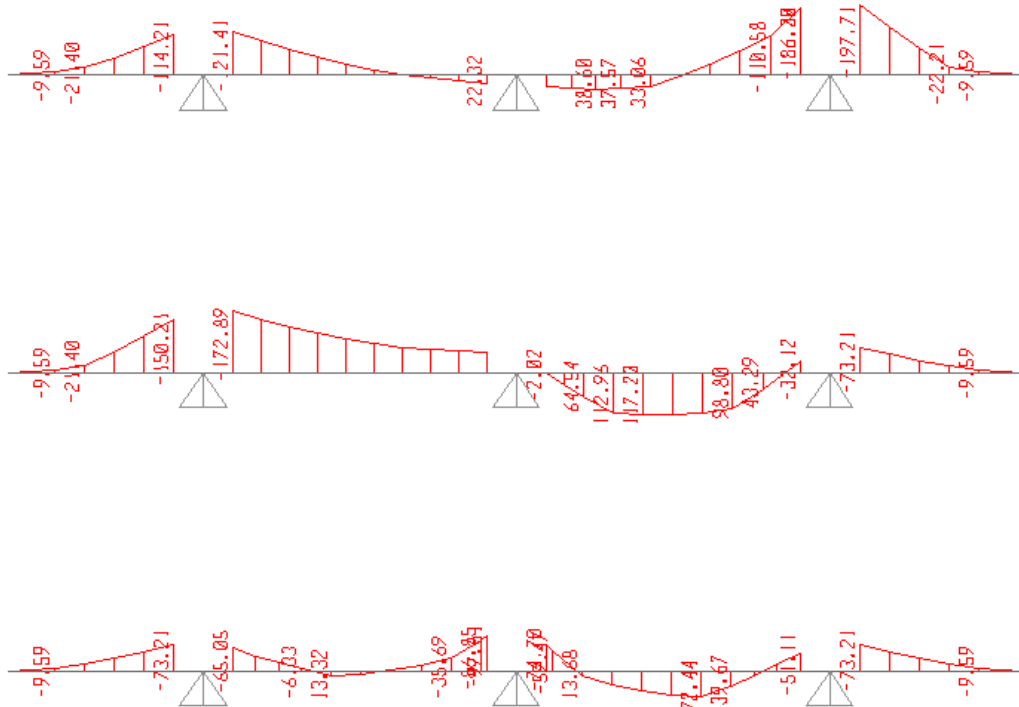
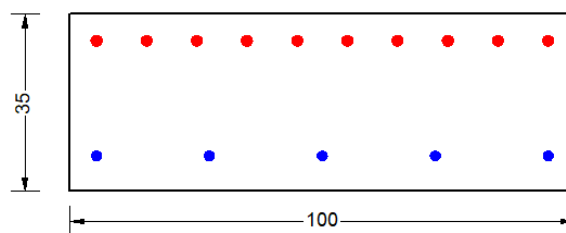


Figura 8.24 -. involucro momento flettente SLE -rara

### Verifica delle sezioni



Armatura soletta:  $\phi 22/10$  sup. e  $\phi 20/20$  inf.

### CARATTERISTICHE DI RESISTENZA DEI MATERIALI IMPIEGATI

CALCESTRUZZO -	Classe:	C32/40
	Resis. compr. di progetto fcd:	18.800 MPa
	Def.unit. max resistenza ec2:	0.0020
	Def.unit. ultima ecu:	0.0035
	Diagramma tensione-deformaz.:	Parabola-Rettangolo
	Modulo Elastico Normale Ec:	33643.0 MPa
	Resis. media a trazione fctm:	3.100 MPa
	Coeff. Omogen. S.L.E.:	15.00
	Coeff. Omogen. S.L.E.:	15.00
	Sc limite S.L.E. comb. Frequenti:	199.20 daN/cm <sup>2</sup>
	Ap.Fessure limite S.L.E. comb. Frequenti:	0.300 mm

<b>ANAS S.p.A.</b> <b>S.S. 389 TRONCO VILLANOVA – LANUSEI – TORTOLÌ</b> <b>LOTTO BIVIO VILLAGRANDE – SVINCOLO DI ARZANA</b> <b>DAL Km 51+100,00 DELLA S.S. 389 VAR AL Km 177+930,00 DELLA S.S. 389</b> <b>Viadotto VI02 - Relazione di calcolo impalcato</b>	File: T00_VI02_STR_RE01_A Data: Agosto 2020 Pag. 91 di 122
--	--

	Sc limite S.L.E. comb. Q.Permanenti:	0.00	Mpa
	Ap.Fess.limite S.L.E. comb. Q.Perm.:	0.200	mm
ACCIAIO -	Tipo:	B450C	
	Resist. caratt. snervam. fyk:	450.00	MPa
	Resist. caratt. rottura ftk:	450.00	MPa
	Resist. snerv. di progetto fyd:	391.30	MPa
	Resist. ultima di progetto ftd:	391.30	MPa
	Deform. ultima di progetto Epu:	0.068	
	Modulo Elastico Ef	2000000	daN/cm <sup>2</sup>
	Diagramma tensione-deformaz.:	Bilineare finito	
	Coeff. Aderenza istantaneo $\beta_1 \cdot \beta_2$ :	1.00	
	Coeff. Aderenza differito $\beta_1 \cdot \beta_2$ :	0.50	
	Sf limite S.L.E. Comb. Rare:	360.00	MPa

#### CARATTERISTICHE DOMINIO CONGLOMERATO

Forma del Dominio:	Poligonale	
Classe Conglomerato:	C32/40	
N°vertice:	X [cm]	Y [cm]
1	0.0	0.0
2	0.0	35.0
3	100.0	35.0
4	100.0	0.0

#### DATI BARRE ISOLATE

N°Barra	X [cm]	Y [cm]	DiamØ[mm]
1	5.2	7.0	20
2	5.2	29.8	22
3	94.8	29.8	22
4	94.8	7.0	20

#### DATI GENERAZIONI LINEARI DI BARRE

N°Gen.	Numero assegnato alla singola generazione lineare di barre			
N°Barra Ini.	Numero della barra iniziale cui si riferisce la generazione			
N°Barra Fin.	Numero della barra finale cui si riferisce la generazione			
N°Barre	Numero di barre generate equidistanti cui si riferisce la generazione			
Ø	Diametro in mm delle barre della generazione			

N°Gen.	N°Barra Ini.	N°Barra Fin.	N°Barre	Ø
1	1	4	3	20
2	2	3	8	22

#### CALCOLO DI RESISTENZA - SFORZI PER OGNI COMBINAZIONE ASSEGNATA

N	Sforzo normale [kN] applicato nel Baric. (+ se di compressione)			
Mx	Momento flettente [daNm] intorno all'asse X di riferimento delle coordinate con verso positivo se tale da comprimere il lembo sup. della sez.			
Vy	Componente del Taglio [kN] parallela all'asse Y di riferimento delle coordinate			
N°Comb.	N	Mx	Vy	

<b>ANAS S.p.A.</b> S.S. 389 TRONCO VILLANOVA – LANUSEI – TORTOLI LOTTO BIVIO VILLAGRANDE – SVINCOLO DI ARZANA DAL Km 51+100,00 DELLA S.S. 389 VAR AL Km 177+930,00 DELLA S.S. 389 <b>Viadotto VI02 - Relazione di calcolo impalcato</b>	File: T00_VI02_STR_RE01_A Data: Agosto 2020 Pag. 92 di 122
---	--

1	0.00	-272.00	212.00
2	0.00	163.00	0.00

**COMB. RARE (S.L.E.) - SFORZI PER OGNI COMBINAZIONE ASSEGNATA**

N Sforzo normale [kN] applicato nel Baricentro (+ se di compressione)  
Mx Momento flettente [kNm] intorno all'asse X di riferimento (tra parentesi Mom.Fessurazione)  
con verso positivo se tale da comprimere il lembo superiore della sezione

N°Comb.	N	Mx	My
1	0.00	-198.00	0.00
2	0.00	118.00	0.00

**COMB. FREQUENTI (S.L.E.) - SFORZI PER OGNI COMBINAZIONE ASSEGNATA**

N Sforzo normale [kN] applicato nel Baricentro (+ se di compressione)  
Mx Momento flettente [kNm] intorno all'asse X di riferimento (tra parentesi Mom.Fessurazione)  
con verso positivo se tale da comprimere il lembo superiore della sezione

N°Comb.	N	Mx	My
1	0.00	-161.00 (-87.60)	0.00 (0.00)
2	0.00	84.00 (77.65)	0.00 (0.00)

**COMB. QUASI PERMANENTI (S.L.E.) - SFORZI PER OGNI COMBINAZIONE ASSEGNATA**

N Sforzo normale [kN] applicato nel Baricentro (+ se di compressione)  
Mx Momento flettente [kNm] intorno all'asse X di riferimento (tra parentesi Mom.Fessurazione)  
con verso positivo se tale da comprimere il lembo superiore della sezione

N°Comb.	N	Mx	My
1	0.00	-74.00 (-87.60)	0.00 (0.00)
2	0.00	14.00 (77.65)	0.00 (0.00)

**RISULTATI DEL CALCOLO**

Sezione verificata per tutte le combinazioni assegnate

Copriferro netto minimo barre longitudinali:	4.1 cm
Interferro netto minimo barre longitudinali:	7.8 cm

**VERIFICHE DI RESISTENZA IN PRESSO-TENSO FLESSIONE ALLO STATO LIMITE ULTIMO**

Ver S = combinazione verificata / N = combin. non verificata  
N Sforzo normale assegnato [kN] nel baricentro B sezione cls.(positivo se di compressione)  
Mx Componente del momento assegnato [kNm] riferito all'asse x princ. d'inerzia  
N Res Sforzo normale resistente [kN] nel baricentro B sezione cls.(positivo se di compress.)  
Mx Res Momento flettente resistente [kNm] riferito all'asse x princ. d'inerzia  
Mis.Sic. Misura sicurezza = rapporto vettoriale tra (N r,Mx Res,My Res) e (N,Mx,My)  
Verifica positiva se tale rapporto risulta >=1.000  
As Tesa Area armature trave [cm²] in zona tesa. [Tra parentesi l'area minima ex (4.1.15)NTC]

N°Comb	Ver	N	Mx	N Res	Mx Res	Mis.Sic.	As Tesa
1	S	0.00	-272.00	0.00	-383.94		
1.41	38.0(5.3)						
2	S	0.00	163.00	0.00	163.77		

<b>ANAS S.p.A.</b> S.S. 389 TRONCO VILLANOVA – LANUSEI – TORTOLI LOTTO BIVIO VILLAGRANDE – SVINCOLO DI ARZANA DAL Km 51+100,00 DELLA S.S. 389 VAR AL Km 177+930,00 DELLA S.S. 389 <b>Viadotto VI02 - Relazione di calcolo impalcato</b>	File: T00_VI02_STR_RE01_A Data: Agosto 2020 Pag. 93 di 122
---	--

1.00 15.7(5.3)

**METODO AGLI STATI LIMITE ULTIMI - DEFORMAZIONI UNITARIE ALLO STATO ULTIMO**

ec max	Deform. unit. massima del conglomerato a compressione
x/d	Rapporto di duttilità [§ 4.1.2.1.2.1 NTC] deve essere < 0.45
Xc max	Ascissa in cm della fibra corrisp. a ec max (sistema rif. X,Y,O sez.)
Yc max	Ordinata in cm della fibra corrisp. a ec max (sistema rif. X,Y,O sez.)
es min	Deform. unit. minima nell'acciaio (negativa se di trazione)
Xs min	Ascissa in cm della barra corrisp. a es min (sistema rif. X,Y,O sez.)
Ys min	Ordinata in cm della barra corrisp. a es min (sistema rif. X,Y,O sez.)
es max	Deform. unit. massima nell'acciaio (positiva se di compress.)
Xs max	Ascissa in cm della barra corrisp. a es max (sistema rif. X,Y,O sez.)
Ys max	Ordinata in cm della barra corrisp. a es max (sistema rif. X,Y,O sez.)

N°Comb	ec max	x/d	Xc max	Yc max	es min	Xs min	Ys min	es max	Xs max	Ys max
1	0.00350	0.285	0.0	0.0	0.00062	5.2	7.0	-0.00878	94.8	29.8
2	0.00350	0.177	0.0	35.0	-0.00018	5.2	29.8	-0.01633	5.2	7.0

**POSIZIONE ASSE NEUTRO PER OGNI COMB. DI RESISTENZA**

a, b, c	Coeff. a, b, c nell'eq. dell'asse neutro $aX+bY+c=0$ nel rif. X,Y,O gen.
x/d	Rapp. di duttilità (travi e solette)[§ 4.1.2.1.2.1 NTC]: deve essere < 0.45
C.Rid.	Coeff. di riduz. momenti per sola flessione in travi continue

N°Comb	a	b	c	x/d	C.Rid.
1	0.000000000	-0.000411928	0.003500000	0.285	0.796
2	0.000000000	0.000708185	-0.021286484	0.177	0.700

**METODO SLU - VERIFICHE A TAGLIO SENZA ARMATURE TRASVERSALI (§ 4.1.2.1.3.1 NTC)**

Ver	S = comb.verificata a taglio/ N = comb. non verificata
Ved	Taglio agente [daN] uguale al taglio Vy di comb. (sollecit. retta)
Vwct	Taglio trazione resistente [kN] in assenza di staffe [formula (4.1.23)NTC]
d	Altezza utile sezione [cm]
bw	Larghezza minima sezione [cm]
Ro	Rapporto geometrico di armatura longitudinale [<0.02]
Scp	Tensione media di compressione nella sezione [Mpa]

N°Comb	Ver	Ved	Vwct	d	bw	Ro	Scp
1	S	212.00	226.76	29.8	100.0	0.0128	0.00
2	S	0.00	254.47	29.8	100.0	0.0180	0.00

**COMBINAZIONI RARE IN ESERCIZIO - MASSIME TENSIONI NORMALI ED APERTURA FESSURE (NTC/EC2)**

Ver	S = comb. verificata/ N = comb. non verificata
Sc max	Massima tensione (positiva se di compressione) nel conglomerato [Mpa]
Xc max, Yc max	Ascissa, Ordinata [cm] del punto corrisp. a Sc max (sistema rif. X,Y,O)
Sf min	Minima tensione (negativa se di trazione) nell'acciaio [Mpa]
Xs min, Ys min	Ascissa, Ordinata [cm] della barra corrisp. a Sf min (sistema rif. X,Y,O)
Ac eff.	Area di calcestruzzo [cm²] in zona tesa considerata aderente alle barre
As eff.	Area barre [cm²] in zona tesa considerate efficaci per l'apertura delle fessure

N°Comb	Ver	Sc max	Xc max	Yc max	Sf min	Xs min	Ys min	Ac eff.	As eff.
1	S	10.50	0.0	0.0	-207.3	84.8	29.8	750	38.0
2	S	8.10	0.0	35.0	-306.6	72.4	7.0	900	15.7

**COMBINAZIONI FREQUENTI IN ESERCIZIO - MASSIME TENSIONI NORMALI ED APERTURA FESSURE (NTC/EC2)**



<p>ANAS S.p.A.  S.S. 389 TRONCO VILLANOVA – LANUSEI – TORTOLI  LOTTO BIVIO VILLAGRANDE – SVINCOLO DI ARZANA  DAL Km 51+100,00 DELLA S.S. 389 VAR AL Km 177+930,00 DELLA S.S. 389  <b>Viadotto VI02 - Relazione di calcolo impalcato</b></p>	<p>File: T00_VI02_STR_RE01_A  Data: Agosto 2020  Pag. 95 di 122</p>
---	---

#### 8.4.2 Urto di veicolo in svio

Alla forza di urto, pari a 100 kN, si associa il passaggio di un carico tandem (schema 2):  
Si adotta una diffusione a 45° fino all'asse trave:

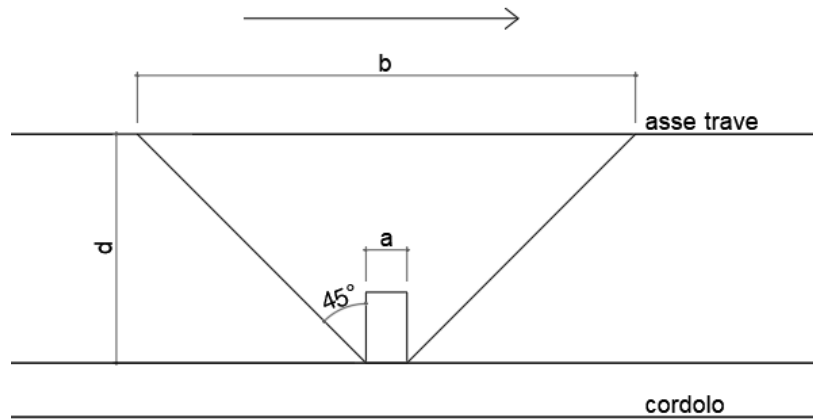


Figura 8.25 -. Schema diffusione carico

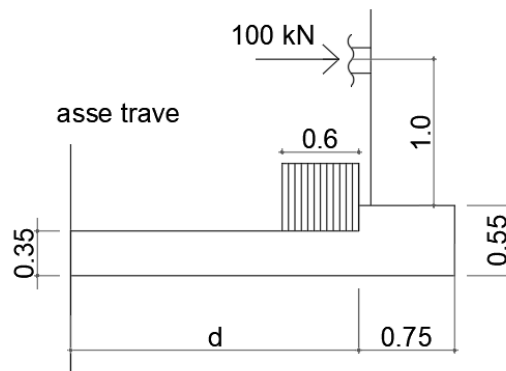


Figura 8.26 -. Schema applicazione carico

Pertanto, indicando con:

$V/m$  = entità del carico per metro di lunghezza

$b$  = lunghezza di carico considerata, ottenuta tramite diffusione a 45°

$V = V/m * b$  = entità del carico complessivo

Dist. = punto di applicazione del carico rispetto all'asse della trave/soletta

$M = V * \text{dist}$  = momento agente

$N$  = sforzo normale agente

nella sezione di incastro sulla trave, si ha:



	$kN/m$	$m$	$kN$	$m$	$kN*m$	$kN$
G1	<b>V/m</b>	<b>b</b>	<b>V</b>	<b>dist.</b>	<b>M</b>	<b>N</b>
soletta h=35cm	25.4	4.3	109	1.45	158	
<b>G2</b>						
pavimentazione	6.45	4.3	28	0.7	19	
cordolo	3.75	4.3	16	2.5	41	
barriere	2	4.3	9	2.5	22	
veletta	3	4.3	13	2.9	37	
collettori	2	4.3	9	2.9	25	
<b>Q</b>						
tandem 1			200	1.85	370	
tandem 2			0	0	0	
urto				1.31	131	-100
			<b>383</b>		<b>803</b>	<b>-100</b>
						<b>TOT</b>

Che riportato al metro di soletta:

$$v_{Ak} = V / b = 383 / 4.3 = 89 \text{ kN/m}$$

$$n_{Ak} = N / b = -100 / 4.3 = -23 \text{ kN/m}$$

$$m_{Ak} = M / b = -803 / 4.3 = -187 \text{ kN*m/m}$$

### Verifica delle sezioni

#### **Dati sezione**

b	1000	mm	Base sezione
h	350	mm	Altezza sezione
c	60	mm	Copriferro
fck	32	Mpa	Resistenza caratteristica
d	290	mm	Altezza utile
Ned	-23	kN	Azione Normale agente
$\gamma_c$	1.5		Fattore parziale

#### **Senza staffe**

$\phi 1$	22	mm	Diametro 1 ferri
n1	10		
$\phi 2$	0	mm	Diametro 2 ferri
n2	0		
k	1.83		
k filtrato	1.83		
$\rho$	0.013		Rapporto geometrico di armatura longitudinale ( $\leq 0.02$ )
$\rho$ filtrato	0.013		
$\sigma$	-0.07	Mpa	Tensione media di compressione nella sezione ( $\leq 0.2f_{cd}$ )
Vrd	218.5	kN	Resistenza a Taglio
Vmin	139	kN	

### CARATTERISTICHE DI RESISTENZA DEI MATERIALI IMPIEGATI

<b>ANAS S.p.A.</b> S.S. 389 TRONCO VILLANOVA – LANUSEI – TORTOLI LOTTO BIVIO VILLAGRANDE – SVINCOLO DI ARZANA DAL Km 51+100,00 DELLA S.S. 389 VAR AL Km 177+930,00 DELLA S.S. 389 <b>Viadotto VI02 - Relazione di calcolo impalcato</b>	File: T00_VI02_STR_RE01_A Data: Agosto 2020 Pag. 97 di 122
---	--

CALCESTRUZZO -	Classe:	C32/40	
	Resis. compr. di progetto fcd:	18.800	MPa
	Def.unit. max resistenza ec2:	0.0020	
	Def.unit. ultima ecu:	0.0035	
	Diagramma tensione-deformaz.:	Parabola-Rettangolo	
	Modulo Elastico Normale Ec:	33643.0	MPa
	Resis. media a trazione fctm:	3.100	MPa
ACCIAIO -	Tipo:	B450C	
	Resist. caratt. snervam. fyk:	450.00	MPa
	Resist. caratt. rottura ftk:	450.00	MPa
	Resist. snerv. di progetto fyd:	391.30	MPa
	Resist. ultima di progetto ftd:	391.30	MPa
	Deform. ultima di progetto Epu:	0.068	
	Modulo Elastico Ef	2000000	daN/cm <sup>2</sup>
Diagramma tensione-deformaz.:	Bilineare finito		

#### CARATTERISTICHE DOMINIO CONGLOMERATO

Forma del Dominio: Poligonale  
Classe Conglomerato: C32/40

N°vertice:	X [cm]	Y [cm]
1	-50.0	0.0
2	-50.0	35.0
3	50.0	35.0
4	50.0	0.0

#### DATI BARRE ISOLATE

N°Barra	X [cm]	Y [cm]	DiamØ[mm]
1	-44.9	29.9	22
2	44.9	29.9	22

#### DATI GENERAZIONI LINEARI DI BARRE

N°Gen. Numero assegnato alla singola generazione lineare di barre  
N°Barra Ini. Numero della barra iniziale cui si riferisce la generazione  
N°Barra Fin. Numero della barra finale cui si riferisce la generazione  
N°Barre Numero di barre generate equidistanti cui si riferisce la generazione  
Ø Diametro in mm delle barre della generazione

N°Gen.	N°Barra Ini.	N°Barra Fin.	N°Barre	Ø
1	1	2	8	22

#### CALCOLO DI RESISTENZA - SFORZI PER OGNI COMBINAZIONE ASSEGNATA

N	Sforzo normale [kN] applicato nel Baric. (+ se di compressione)			
Mx	Momento flettente [daNm] intorno all'asse X di riferimento delle coordinate con verso positivo se tale da comprimere il lembo sup. della sez.			
Vy	Componente del Taglio [kN] parallela all'asse Y di riferimento delle coordinate			
N°Comb.	N	Mx	Vy	

<b>ANAS S.p.A.</b> <b>S.S. 389 TRONCO VILLANOVA – LANUSEI – TORTOLI</b> <b>LOTTO BIVIO VILLAGRANDE – SVINCOLO DI ARZANA</b> <b>DAL Km 51+100,00 DELLA S.S. 389 VAR AL Km 177+930,00 DELLA S.S. 389</b> <b>Viadotto VI02 - Relazione di calcolo impalcato</b>	File: T00_VI02_STR_RE01_A Data: Agosto 2020 Pag. 98 di 122
--	--

1            -23.00            -187.00            0.00

### RISULTATI DEL CALCOLO

Sezione verificata per tutte le combinazioni assegnate

Copriferro netto minimo barre longitudinali:            4.0    cm  
Interferro netto minimo barre longitudinali:            7.8    cm

### VERIFICHE DI RESISTENZA IN PRESSO-TENSO FLESSIONE ALLO STATO LIMITE ULTIMO

Ver            S = combinazione verificata / N = combin. non verificata  
N               Sforzo normale assegnato [kN] nel baricentro B sezione cls.(positivo se di compressione)  
Mx              Componente del momento assegnato [kNm] riferito all'asse x princ. d'inerzia  
N Res          Sforzo normale resistente [kN] nel baricentro B sezione cls.(positivo se di compress.)  
Mx Res        Momento flettente resistente [kNm] riferito all'asse x princ. d'inerzia  
Mis.Sic.       Misura sicurezza = rapporto vettoriale tra (N r,Mx Res,My Res) e (N,Mx,My)  
Verifica positiva se tale rapporto risulta >=1.000  
As Totale     Area totale barre longitudinali [cm²]. [Tra parentesi il valore minimo di normativa]

N°Comb	Ver	N	Mx	N Res	Mx Res	Mis.Sic.	As Totale
1	S	-23.00	-187.00	-23.13	-382.04		
2.06	38.0(10.5)						

### METODO AGLI STATI LIMITE ULTIMI - DEFORMAZIONI UNITARIE ALLO STATO ULTIMO

ec max        Deform. unit. massima del conglomerato a compressione  
Deform. unit. massima del conglomerato a compressione  
Xc max        Ascissa in cm della fibra corrisp. a ec max (sistema rif. X,Y,O sez.)  
Yc max        Ordinata in cm della fibra corrisp. a ec max (sistema rif. X,Y,O sez.)  
es min        Deform. unit. minima nell'acciaio (negativa se di trazione)  
Xs min        Ascissa in cm della barra corrisp. a es min (sistema rif. X,Y,O sez.)  
Ys min        Ordinata in cm della barra corrisp. a es min (sistema rif. X,Y,O sez.)  
es max        Deform. unit. massima nell'acciaio (positiva se di compress.)  
Xs max        Ascissa in cm della barra corrisp. a es max (sistema rif. X,Y,O sez.)  
Ys max        Ordinata in cm della barra corrisp. a es max (sistema rif. X,Y,O sez.)

N°Comb	ec max	Xc max	Yc max	es min	Xs min	Ys min	es max	Xs max	Ys max
1	0.00350	-50.0	0.0	-0.00736	-44.9	29.9	-0.00736	44.9	29.9

### POSIZIONE ASSE NEUTRO PER OGNI COMB. DI RESISTENZA

a, b, c        Coeff. a, b, c nell'eq. dell'asse neutro aX+bY+c=0 nel rif. X,Y,O gen.  
x/d            Rapp. di duttilità (travi e solette)[§ 4.1.2.1.2.1 NTC]: deve essere < 0.45  
C.Rid.        Coeff. di riduz. momenti per sola flessione in travi continue

N°Comb	a	b	c	x/d	C.Rid.
1	0.000000000	-0.000363359	0.003500000	----	----

### VERIFICA CORDOLI

Le verifiche strutturali dei cordoli sono state effettuate considerando, a favore di sicurezza, le sollecitazioni derivanti dall'azione dell'urto pari a  $F_{urto} = 100$  kN, applicata a 1.0m dal piano della pavimentazione, come da normativa.

Pertanto le azioni prodotte dall'urto sono:

<b>ANAS S.p.A.</b> S.S. 389 TRONCO VILLANOVA – LANUSEI – TORTOLI LOTTO BIVIO VILLAGRANDE – SVINCOLO DI ARZANA DAL Km 51+100,00 DELLA S.S. 389 VAR AL Km 177+930,00 DELLA S.S. 389 <b>Viadotto VI02 - Relazione di calcolo impalcato</b>	File: T00_VI02_STR_RE01_A Data: Agosto 2020 Pag. 99 di 122
---	--

$$F_{urto} = 100 \text{ kN}$$

$$T_{urto} = 100 * 1 = 100 \text{ kN*m}$$

### Verifica a Taglio/Torsione

#### CARATTERISTICHE DI RESISTENZA DEI MATERIALI IMPIEGATI

CALCESTRUZZO -	Classe:	C32/40	
	Resistenza compress. di progetto fcd:	18.80	MPa
	Resistenza compress. ridotta fcd:	9.400	MPa
	Deform. unitaria max resistenza ec2:	0.0020	
	Deformazione unitaria ultima ecu:	0.0035	
	Diagramma tensioni-deformaz.:	Parabola-Rettangolo	
	Modulo Elastico Normale Ec:	33643.0	MPa
Resis. media a trazione fctm:	3.100	MPa	
ACCIAIO -	Tipo:	B450C	
	Resist. caratt. a snervamento fyk:	450.00	MPa
	Resist. caratt. a rottura ftk:	450.00	MPa
	Resist. a snerv. di progetto fyd:	391.30	MPa
	Resist. ultima di progetto ftd:	391.30	MPa
	Deform. ultima di progetto Epu:	0.068	
	Modulo Elastico Ef:	200000.0	MPa
Diagramma tensioni-deformaz.:	Bilineare finito		

#### CARATTERISTICHE GEOMETRICHE ED ARMATURE SEZIONE

Base:	75.0	cm
Altezza:	55.0	cm
Barre inferiori:	4Ø20	(12.6 cm <sup>2</sup> )
Barre superiori:	4Ø20	(12.6 cm <sup>2</sup> )
Barre laterali:	1+1Ø20	(6.3 cm <sup>2</sup> )
Coprif.Inf.(dal baric. barre):	6.0	cm
Coprif.Sup.(dal baric. barre):	6.0	cm
Coprif.Lat. (dal baric.barre):	6.0	cm

#### CALCOLO DI RESISTENZA - SFORZI PER OGNI COMBINAZIONE ASSEGNATA

N	Sforzo normale [kN] applicato nel baricentro (posit. se di compress.)			
Mx	Momento flettente [kNm] intorno all'asse x baric. della sezione con verso positivo se tale da comprimere il lembo sup. della sezione			
Vy	Taglio [kN] in direzione parallela all'asse Y del riferim. generale			
MT	Momento torcente [kN m]			
N°Comb.	N	Mx	Vy	MT
1	0.00	0.10	100.00	100.00

#### RISULTATI DEL CALCOLO

Sezione verificata per tutte le combinazioni assegnate

Copriferro netto minimo barre longitudinali:	5.0	cm
Interferro netto minimo barre longitudinali:	19.0	cm
Interferro massimo barre longitudinali:	21.5	cm [deve essere < 30.0]
Copriferro netto minimo staffe:	4.2	cm

#### VERIFICHE DI RESISTENZA IN PRESSO-TENSO FLESSIONE ALLO STATO LIMITE ULTIMO

<b>ANAS S.p.A.</b> <b>S.S. 389 TRONCO VILLANOVA – LANUSEI – TORTOLI</b> <b>LOTTO BIVIO VILLAGRANDE – SVINCOLO DI ARZANA</b> <b>DAL Km 51+100,00 DELLA S.S. 389 VAR AL Km 177+930,00 DELLA S.S. 389</b> <b>Viadotto VI02 - Relazione di calcolo impalcato</b>	File: T00_VI02_STR_RE01_A Data: Agosto 2020 Pag. 100 di 122
--	---

Ver	S = combinazione verificata / N = combin. non verificata
N	Sforzo normale baricentrico assegnato [kN] (positivo se di compressione)
Mx	Momento flettente assegnato [kNm] riferito all'asse x baricentrico
N Ult	Sforzo normale alla massima resistenza [kN] nella sezione (positivo se di compress.)
Mx rd	Momento resistente ultimo [kNm] riferito all'asse x baricentrico
Mis.Sic.	Misura sicurezza = rapporto vettoriale tra (N rd, Mx rd) e (N, Mx) Verifica positiva se tale rapporto risulta $\geq 1.000$
Yn	Ordinata [cm] dell'asse neutro alla massima resistenza nel sistema di rif. X,Y,O sez.
As Tot.	Area complessiva armature long. pilastro [cm <sup>2</sup> ]. (tra parentesi l'area minima di normativa) Area efficace a flessione barre inf. (per presenza di torsione)= 6.8 cm <sup>2</sup> Area efficace a flessione barre sup. (per presenza di torsione)= 6.8 cm <sup>2</sup>

N°Comb	Ver	N	Mx	N rd	Mx rd	Mis.Sic.	Yn	x/d	C.Rid.	As Tot.
1	S	0.00	0.10	0.04	135.18	1351.790	50.8	---	---	31.4 (12.4)

#### DEFORMAZIONI UNITARIE ALLO STATO LIMITE ULTIMO

ec max	Deform. unit. massima del conglomerato a compressione
Yc max	Ordinata in cm della fibra corrisp. a ec max (sistema rif. X,Y,O sez.)
es min	Deform. unit. minima nell'acciaio (negativa se di trazione)
Ys min	Ordinata in cm della barra corrisp. a es min (sistema rif. X,Y,O sez.)
es max	Deform. unit. massima nell'acciaio (positiva se di compressione)
Ys max	Ordinata in cm della barra corrisp. a es max (sistema rif. X,Y,O sez.)

N°Comb	ec max	Yc max	es min	Ys min	es max	Ys max
1	0.00350	55.0	-0.00153	49.0	-0.03757	6.0

#### ARMATURE A TAGLIO E/O TORSIONE DI INVILUPPO PER LE COMBINAZIONI ASSEGNATE

Diametro staffe:	8	mm	
Passo staffe:	18.2	cm	[Passo massimo di normativa = 24.0 cm]
N.Bracci staffe:	4		
Area staffe/m :	11.0	cm <sup>2</sup> /m	[Area Staffe Minima NTC = 2.4 cm <sup>2</sup> /m]
Barre long. tors.:	6Ø20	(18.8 cm <sup>2</sup> )	

#### VERIFICHE A TAGLIO-TORSIONE

Ver	S = comb.verificata a taglio-tors./ N = comb. non verificata
Ved	Taglio agente [kN] uguale al taglio Vy di comb. (sollecit. retta)
Vrd	Taglio resistente [kN] in assenza di staffe [formula (4.1.23)NTC]
Vcd	Taglio compressione resistente [kN] lato conglomerato [formula (4.1.28)NTC]
Vwd	Taglio trazione resistente [kN] assorbito dalle staffe [formula (4.1.27)NTC]
Tsdu	Momento torcente assegnato nella combinazione corrente [kNm]
Trdu	Momento torcente resistente ultimo [kNm] (lato conglomerato)
Mis.Sic.	Misura sicur. = Vsdu/Vcd + Tsdu/Trdu. Verifica OK se Mis.Sic $\leq 1$
bw z	Larghezza minima [cm] sezione misurata parallelam. all'asse neutro   Braccio coppia interna
Ctg	Cotangente dell'angolo di inclinazione dei puntoni di conglomerato
Acw	Coefficiente maggiorativo della resistenza a taglio per compressione
Ast	Area staffe/metro strettamente necessaria per taglio e torsione [cm <sup>2</sup> /m]

N°Comb	Ver	Ved	Vrd	Vcd	Vwd	Tsdu	Trdu	Mis.Sic.	bw   z	Ctg	Acw	AST
1	S	100.00		1150.61	306.98	100.00	238.02	0.507	75.0			
47.3	2.500	1.000	2.2									

#### RISULTATI DEL SOLO CALCOLO A TORSIONE

<p>ANAS S.p.A.</p> <p>S.S. 389 TRONCO VILLANOVA – LANUSEI – TORTOLI</p> <p>LOTTO BIVIO VILLAGRANDE – SVINCOLO DI ARZANA</p> <p>DAL Km 51+100,00 DELLA S.S. 389 VAR AL Km 177+930,00 DELLA S.S. 389</p> <p><b>Viadotto VI02 - Relazione di calcolo impalcato</b></p>	<p>File: T00_VI02_STR_RE01_A</p> <p>Data: Agosto 2020</p> <p>Pag. 101 di 122</p>
---	--

Area Nucl.	Area del nucleo della sezione tubolare resistente [cm <sup>2</sup> ]
Per.Nucl.	Perimetro del nucleo della sezione tubolare resistente [cm]
Sp.Nucl.	Spessore del nucleo della sezione tubolare resistente [cm]
Ast	Area calcolata delle staffe al metro per sola torsione [cm <sup>2</sup> /m]
As long.	Area dei ferri longitudinali calcolati per sola torsione [cm <sup>2</sup> ]
Tsdu	Momento torcente assegnato nella combinazione corrente [kNm]
Trsd	Momento torc. resist. reso dall'area staffe riservata alla torsione [kNm]
Trld	Momento torc. resist. reso da apposite barre longitudinali(compresa una aliquota delle barre longitudinali soggette a flessione)

N°Comb	Area Nucl.	Per.Nucl.	Sp.Nucl.	Ast	As long.	Tsdu	Trsd	Trld
1	2314	197	15.9	2.2	27.1	100.00	100.00	111.79

## 8.5 Verifica predalle in fase di getto

Nella presente sezione si verifica l'armatura delle predalles in fase di getto. Tutte le armature principali della soletta saranno realizzate con acciaio B450C.

Le solette degli impalcato saranno realizzate con l'ausilio di predalles autoportanti, aventi spessore di 5 cm e larghezza pari a 120 cm, tessute trasversalmente e appoggiate sulle travi metalliche principali.

Le predalles sono dotate di tralicci tipo HD 20/20/10, H = 25 cm. Il getto della soletta è previsto mediante 2 fasi di getto distinte, mostrate in figura, così definite:

- Fase 1: getto nella zona compresa fra le travi metalliche e sullo sbalzo per una larghezza pari a 50 cm dall'asse della trave principale;
- Fase 2: getto nella zona rimanente dello sbalzo; tale getto di completamento sarà realizzato soltanto dopo che il calcestruzzo del getto di prima fase abbia raggiunto una resistenza maggiore di 25 MPa.

Di seguito sono stati riportati gli schemi di calcolo delle fasi di getto della soletta, definendo per ognuno le sollecitazioni massime. Si prescrive che **i tempi di getto tra una fase e l'altra siano tali da consentire la maturazione del calcestruzzo gettato** (maggiori a 03 giorni). A favore si sicurezza non si tiene conto negli schemi che seguono delle zone di soletta già maturate. I grafici che seguono riportano i parametri della sollecitazione sulla singola lastra predalle, avente larghezza pari a 1.20 m, con i loro valori già amplificati con il coefficiente di norma per ottenere i valori allo SLU.

Si sono considerate tutte le disposizioni di carico accidentale al fine di massimizzare le sollecitazioni massime (sono trascurate quelle ottenute per simmetria). La verifica è eseguita sulla larghezza massima dello sbalzo e sull'interasse massimo tra gli appoggi.

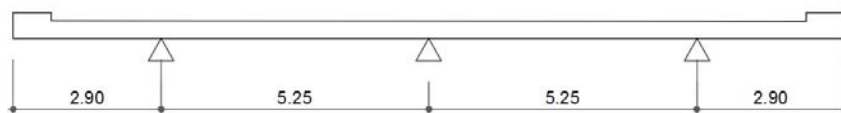


Figura 8.27 -. Schema statico

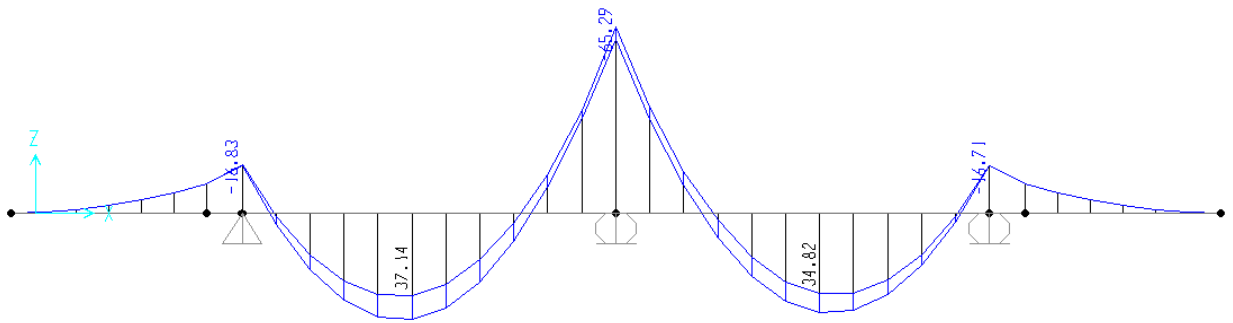


Figura 8.28 -diagramma momenti FASE 1

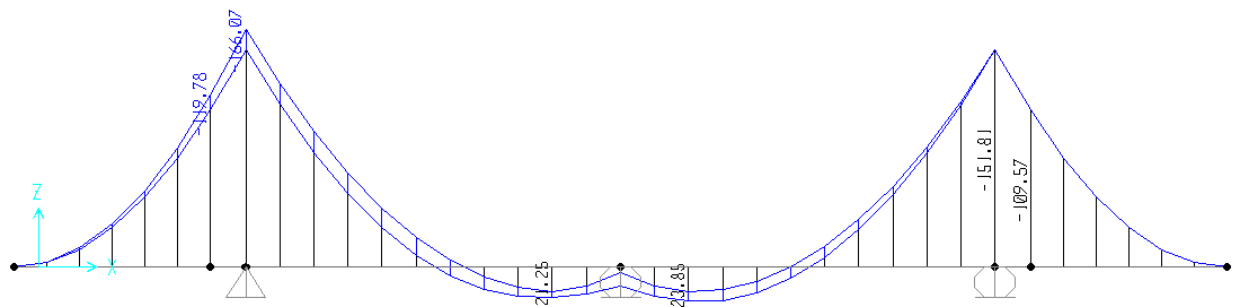


Figura 8.29 -diagramma momenti FASE 2

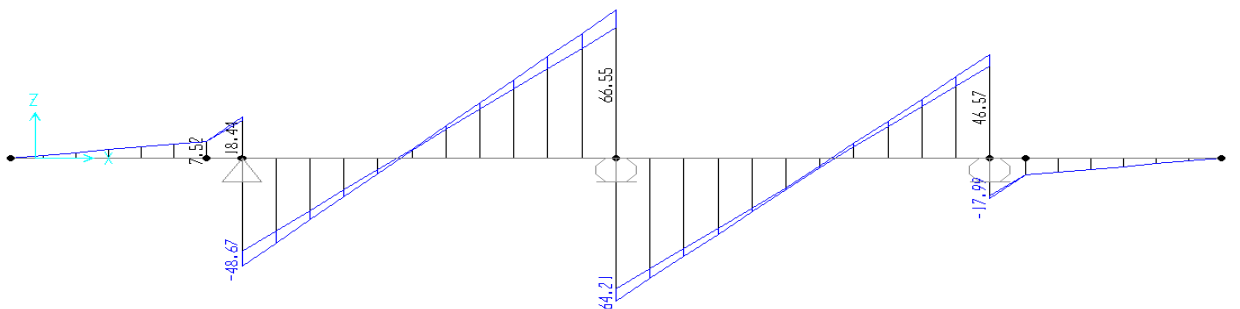


Figura 8.30 -diagramma taglio FASE 1

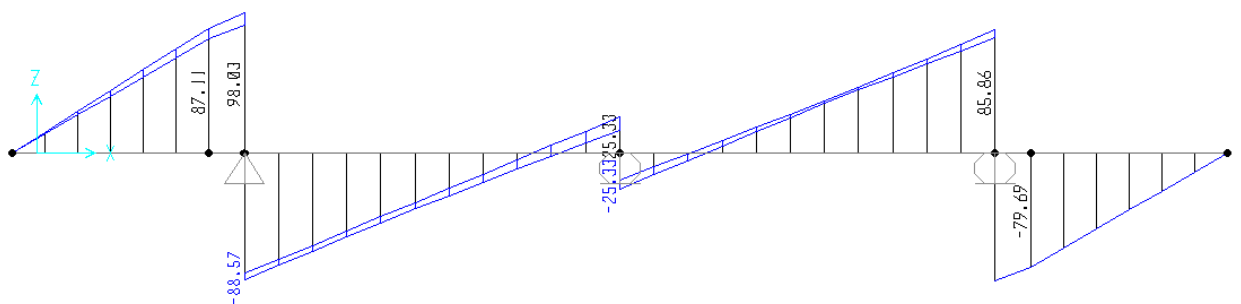
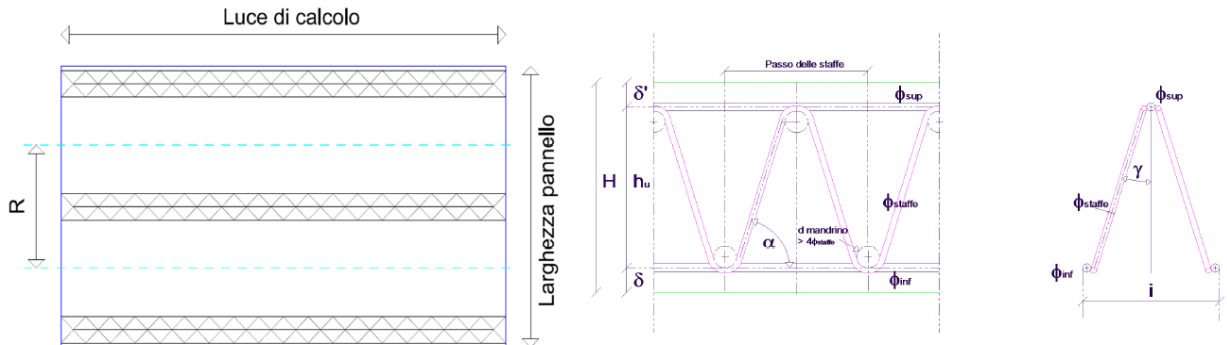


Figura 8.31 -diagramma taglio FASE 2

La verifica delle lastre predalle autoportanti è di seguito riportata effettuata, a favore di sicurezza, sulla sezione trasversale più sfavorevole.



### DATI DI INGRESSO

<b>Predalla:</b>	spessore predalla	0.05 m
	spessore soletta + predalla	0.35 m
	larghezza pannello	1.20 m
	varco tra coppelle (vedi figura)	0.50 m
	lunghezza dello sbalzo di sola coppella ( $l_{sbalzi}$ )	3.25 m
	luce tra gli appoggi	5.25 m
	lunghezza di getto in 1° fase dello sbalzo da "a1" a "c" ( $l_{1^a\ fase, sb}$ )	0.50 m
<b>Tralicci:</b>	numero di tralicci per predalla	6
	altezza fuonitutto del traliccio	0.250 m
	diametro delle barre del corrente superiore	20 mm
	diametro delle barre del corrente inferiore	20 mm
	diametro delle barre diagonali	10 mm
	passo degli elementi diagonali	0.20 m
	lunghezza del tratto di saldatura degli elementi diagonali al corrente superiore	0.03 m
	lunghezza del tratto di saldatura degli elementi diagonali al corrente inferiore	0.03 m
	interasse tra le barre del corrente inferiore (vedi schema nell'immagine)	0.10 m
	coprifero inferiore	0.035 m

### SOLLECITAZIONI MASSIME

Massimo momento positivo di calcolo sull'intera predalla	37.14 kNm/lastra
Massimo momento negativo di calcolo sull'intera predalla	-166.07 kNm/lastra
Massimo sforzo di taglio di calcolo sull'intera predalla	98.03 kN/lastra

### DATI CALCOLATI

Interasse verticale fra correnti superiore e inferiore:	$i_c = 0.23$ m
Lunghezza della proiezione longitudinale sul piano della coppella della diagonale:	$a = 0.07$ m
Inclinazione della diagonale rispetto alla verticale sul piano longitudinale:	$\alpha = 16.93^\circ$
Lunghezza della proiezione trasversale sul piano della coppella della diagonale:	$b = 0.050$ m
Inclinazione del diagonale rispetto alla verticale sul piano trasversale:	$\beta = 12.26^\circ$

### ANALISI DEI CARICHI

Peso proprio dell'impalcato	25.00 kN/m <sup>3</sup>	*	0.350 m * 1.20 m *	1.35 =	14.18 kN/m
Sovr. mezzi d'opera	1.00 kN/m <sup>2</sup>	*	1.20 m *	1.50 =	1.80 kN/m
Altri sovraccarichi	0.00 kN/m <sup>2</sup>	*	1.20 m *	1.50 =	0.00 kN/m

**Totale carichi su impalcato = 15.98 daN/m**



### VERIFICA TRALICCI PREDALLE

Convenzione: sforzi e tensioni >0 se di trazione

#### MATERIALI

$f_{yk}$	450 MPa
E	210000 MPa
c	curva di stabilità (a,b,c,d) EN1993-1-1 Table 6.2
$\alpha$	0.49 Fattore di imperfezione EN1993-1-1 Table 6.2
$\gamma_{M1}$	1.10
$\gamma_{M0}$	1.05

#### VERIFICA CORRENTE SUPERIORE

$M_{camp}$	= -37.14 kNm/coppella	Compressione	
$M_{app}$	= 166.07 kNm/coppella	Trazione	
-----			
$\varnothing_{corr, sup}$	= 20 mm		
$A_{corr, sup}$	= 314 mm <sup>2</sup>	Area	
$I_{min}$	= 7854 mm <sup>4</sup>	Momento d'inerzia minimo	
$l_0$	= 200 mm	Lunghezza libera di inflessione	
-----			
$N_{cr}$	= -406957 N	Carico critico elastico	
$\lambda$	= 0.59	Snellezza adimensionale	EN1993-1-1 6.3.1.2 (6.49)
$\varnothing$	= 0.77		EN1993-1-1 6.3.1.2 (6.49)
$\chi$	= 0.79		EN1993-1-1 6.3.1.2 (6.49)
-----			
$N_{b,Rd}$	= -101.74 kN	Carico critico elastico	EN1993-1-1 6.3.1.1 (6.47)
$N_{t,Rd}$	= 134.64 kN	Resistenza plastica della sezione lorda	EN1993-1-1 6.2.3 (6.6)
$N_{Ed}$	= -26.91 kN/barra	Verificato a compressione c.s.=	✔ 0.265
$N_{Ed}$	= 120.34 kN/barra	Verificato a trazione c.s.=	✔ 0.894
-----			

**VERIFICA CORRENTE INFERIORE**

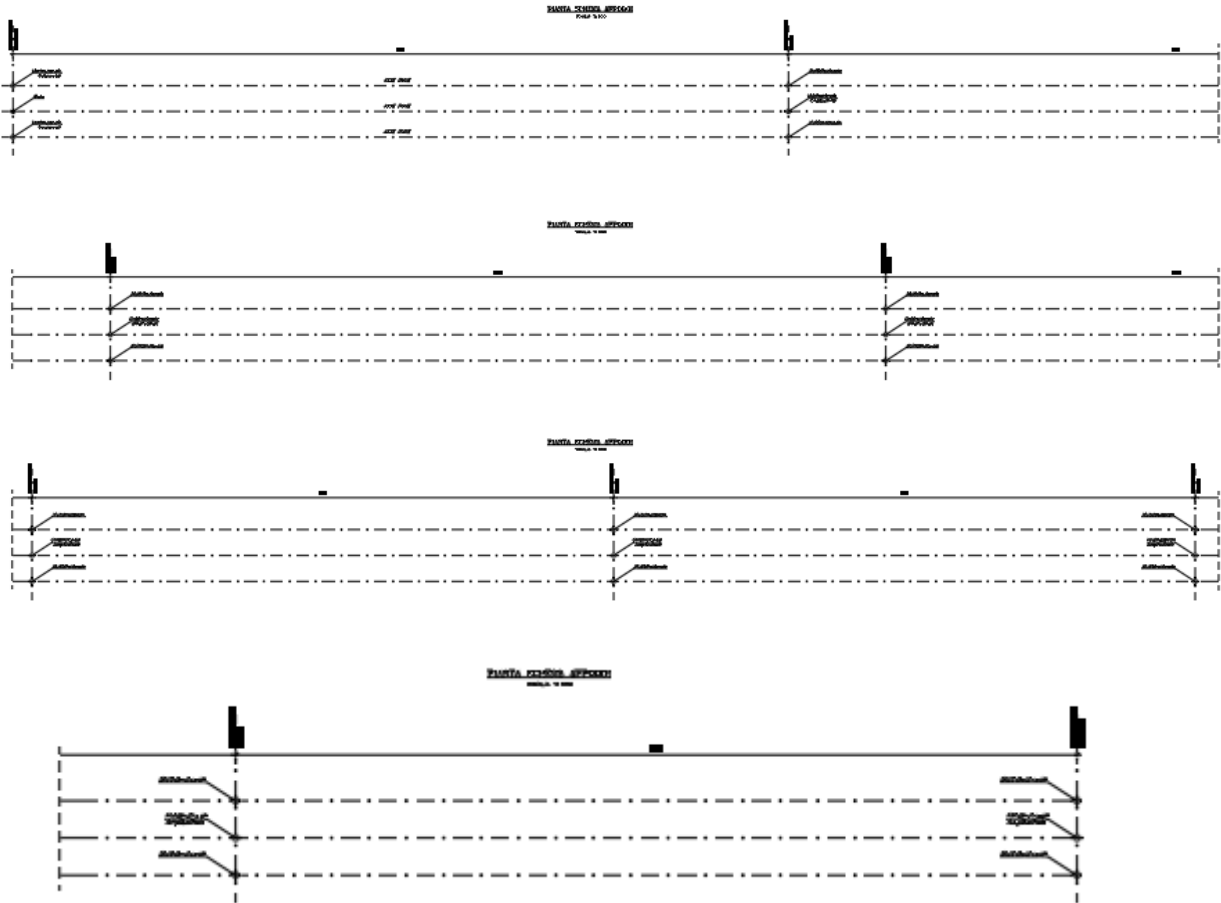
$M_{app} =$	-166.07 kNm/coppella	Compressione	
$M_{camp} =$	37.14 kNm/coppella	Trazione	
<hr/>			
$\varnothing_{corr, inf} =$	20 mm		
$A_{corr, inf} =$	314 mm <sup>2</sup>	Area	
$I_{min} =$	7854 mm <sup>4</sup>	Momento d'inerzia minimo	
$l_0 =$	280 mm	Lunghezza libera di inflessione	
<hr/>			
$N_{cr} =$	-207631 N	Carico critico elastico	
$\lambda =$	0.83	Snellezza adimensionale	EN1993-1-1 6.3.1.2 (6.49)
$\varnothing =$	0.99		EN1993-1-1 6.3.1.2 (6.49)
$\chi =$	✔ 0.65		EN1993-1-1 6.3.1.2 (6.49)
<hr/>			
$N_{b,Rd} =$	-83.07 kN	Carico critico elastico	EN1993-1-1 6.3.1.1 (6.47)
$N_{t,Rd} =$	134.64 kN	Resistenza plastica della sezione lorda	EN1993-1-1 6.2.3 (6.6)
$N_{Ed} =$	-60.17 kN/barra	Verificato a compressione c.s. =	✔ 0.724
$N_{Ed} =$	13.46 kN/barra	Verificato a trazione c.s. =	✔ 0.100

**VERIFICA DIAGONALE**

$T_{max} =$	98.03 kN/coppella	Compressione	
<hr/>			
$\varnothing_{corr, sup} =$	10 mm		
$A_{corr, sup} =$	79 mm <sup>2</sup>	Area	
$I_{min} =$	491 mm <sup>4</sup>	Momento d'inerzia minimo	
$l_0 =$	246 mm	Lunghezza libera di inflessione	
<hr/>			
$N_{cr} =$	-16808 N	Carico critico elastico	
$\lambda =$	1.45	Snellezza adimensionale	EN1993-1-1 6.3.1.2 (6.49)
$\varnothing =$	1.86		EN1993-1-1 6.3.1.2 (6.49)
$\chi =$	✔ 0.33		EN1993-1-1 6.3.1.2 (6.49)
<hr/>			
$N_{b,Rd} =$	10.64 kN	Carico critico elastico	EN1993-1-1 6.3.1.1 (6.47)
$N_{t,Rd} =$	33.66 kN	Resistenza plastica della sezione lorda	EN1993-1-1 6.2.3 (6.6)
$N_{Ed} =$	8.74 kN/barra	Verificato a compressione c.s. =	✔ 0.821

**8.6 Appoggi e giunti**

Lo schema dei vincoli della travata metallica è il seguente:



Si riportano di seguito le reazioni agli appoggi per le principali combinazioni di carico:  
**FISSO:**

TABLE: Element Forces - Links								
Link	LinkElem	Station	OutputCase	CaseType	StepType	P	V2	V3
Text	Text	Text	Text	Text	Text	KN	KN	KN
2	2	I-End	COMB2	Combination	Min	-4152	-1151	-62
2	2	J-End	COMB2	Combination	Min	-4152	-1151	-62
2	2	I-End	COMB1	Combination	Min	-3915	-1151	-10
2	2	J-End	COMB1	Combination	Min	-3915	-1151	-10
2	2	I-End	COMB2	Combination	Max	-2180	-462	598
2	2	J-End	COMB2	Combination	Max	-2180	-462	598
2	2	I-End	EX	Combination	Min	-2171	-359	-2110
2	2	J-End	EX	Combination	Min	-2171	-359	-2110
2	2	I-End	COMB1	Combination	Max	-1943	-462	651
2	2	J-End	COMB1	Combination	Max	-1943	-462	651
2	2	I-End	EZ	Combination	Min	-1939	-359	-627
2	2	J-End	EZ	Combination	Min	-1939	-359	-627

<b>ANAS S.p.A.</b> S.S. 389 TRONCO VILLANOVA – LANUSEI – TORTOLI LOTTO BIVIO VILLAGRANDE – SVINCOLO DI ARZANA DAL Km 51+100,00 DELLA S.S. 389 VAR AL Km 177+930,00 DELLA S.S. 389 <b>Viadotto VI02 - Relazione di calcolo impalcato</b>	File: T00_VI02_STR_RE01_A Data: Agosto 2020 Pag. 107 di 122
---	---

2	2	I-End	EY	Combination	Min	-1910	-1196	-540
2	2	J-End	EY	Combination	Min	-1910	-1196	-540
2	2	I-End	EY	Combination	Max	-1662	1196	879
2	2	J-End	EY	Combination	Max	-1662	1196	879
2	2	I-End	EZ	Combination	Max	-1633	359	966
2	2	J-End	EZ	Combination	Max	-1633	359	966
2	2	I-End	EX	Combination	Max	-1401	359	2449
2	2	J-End	EX	Combination	Max	-1401	359	2449

UNI – T:

TABLE: Element Forces - Links								
Link	LinkElem	Station	OutputCase	CaseType	StepType	P	V2	V3
Text	Text	Text	Text	Text	Text	KN	KN	KN
1	1	I-End	COMB2	Combination	Min	-5768	0	-3827
1	1	J-End	COMB2	Combination	Min	-5768	0	-3827
1	1	I-End	COMB1	Combination	Min	-5606	0	-3854
1	1	J-End	COMB1	Combination	Min	-5606	0	-3854
3	3	I-End	COMB2	Combination	Min	-3240	0	-670
3	3	J-End	COMB2	Combination	Min	-3240	0	-670
3	3	I-End	COMB1	Combination	Min	-3078	0	-697
3	3	J-End	COMB1	Combination	Min	-3078	0	-697
1	1	I-End	COMB2	Combination	Max	-2974	0	346
1	1	J-End	COMB2	Combination	Max	-2974	0	346
1	1	I-End	COMB1	Combination	Max	-2811	0	319
1	1	J-End	COMB1	Combination	Max	-2811	0	319
1	1	I-End	EY	Combination	Min	-2662	0	-1502
1	1	J-End	EY	Combination	Min	-2662	0	-1502
3	3	I-End	EY	Combination	Min	-2662	0	-1502
3	3	J-End	EY	Combination	Min	-2662	0	-1502
1	1	I-End	EX	Combination	Min	-2544	0	-2562
1	1	J-End	EX	Combination	Min	-2544	0	-2562
3	3	I-End	EX	Combination	Min	-2544	0	-2562
3	3	J-End	EX	Combination	Min	-2544	0	-2562
1	1	I-End	EZ	Combination	Min	-2301	0	-1092
1	1	J-End	EZ	Combination	Min	-2301	0	-1092
3	3	I-End	EZ	Combination	Min	-2301	0	-1092
3	3	J-End	EZ	Combination	Min	-2301	0	-1092
1	1	I-End	EZ	Combination	Max	-1642	0	923
1	1	J-End	EZ	Combination	Max	-1642	0	923
3	3	I-End	EZ	Combination	Max	-1642	0	923
3	3	J-End	EZ	Combination	Max	-1642	0	923
3	3	I-End	COMB2	Combination	Max	-1539	0	3395
3	3	J-End	COMB2	Combination	Max	-1539	0	3395
1	1	I-End	EX	Combination	Max	-1399	0	2393
1	1	J-End	EX	Combination	Max	-1399	0	2393
3	3	I-End	EX	Combination	Max	-1399	0	2393
3	3	J-End	EX	Combination	Max	-1399	0	2393
3	3	I-End	COMB1	Combination	Max	-1377	0	3369
3	3	J-End	COMB1	Combination	Max	-1377	0	3369
1	1	I-End	EY	Combination	Max	-1281	0	1333
1	1	J-End	EY	Combination	Max	-1281	0	1333
3	3	I-End	EY	Combination	Max	-1281	0	1333
3	3	J-End	EY	Combination	Max	-1281	0	1333

<p>ANAS S.p.A.</p> <p>S.S. 389 TRONCO VILLANOVA – LANUSEI – TORTOLI</p> <p>LOTTO BIVIO VILLAGRANDE – SVINCOLO DI ARZANA</p> <p>DAL Km 51+100,00 DELLA S.S. 389 VAR AL Km 177+930,00 DELLA S.S. 389</p> <p><b>Viadotto VI02 - Relazione di calcolo impalcato</b></p>	<p>File: T00_VI02_STR_RE01_A</p> <p>Data: Agosto 2020</p> <p>Pag. 108 di 122</p>
---	--

UNI:

TABLE: Element Forces - Links								
Link	LinkElem	Station	OutputCase	CaseType	StepType	P	V2	V3
Text	Text	Text	Text	Text	Text	KN	KN	KN
157	157	I-End	COMB1	Combination	Min	-14145	0	0
157	157	J-End	COMB1	Combination	Min	-14145	0	0
157	157	I-End	COMB2	Combination	Min	-13850	0	0
157	157	J-End	COMB2	Combination	Min	-13850	0	0
163	163	I-End	COMB1	Combination	Min	-10805	0	0
163	163	J-End	COMB1	Combination	Min	-10805	0	0
163	163	I-End	COMB2	Combination	Min	-10772	0	0
163	163	J-End	COMB2	Combination	Min	-10772	0	0
175	175	I-End	COMB1	Combination	Min	-10674	0	0
175	175	J-End	COMB1	Combination	Min	-10674	0	0
175	175	I-End	COMB2	Combination	Min	-10413	0	0
175	175	J-End	COMB2	Combination	Min	-10413	0	0
161	161	I-End	COMB1	Combination	Min	-10331	0	0
161	161	J-End	COMB1	Combination	Min	-10331	0	0
161	161	I-End	COMB2	Combination	Min	-10037	0	0
161	161	J-End	COMB2	Combination	Min	-10037	0	0
157	157	I-End	COMB1	Combination	Max	-9936	0	0
157	157	J-End	COMB1	Combination	Max	-9936	0	0
157	157	I-End	COMB2	Combination	Max	-9641	0	0
157	157	J-End	COMB2	Combination	Max	-9641	0	0
169	169	I-End	COMB2	Combination	Min	-8638	0	0
169	169	J-End	COMB2	Combination	Min	-8638	0	0
169	169	I-End	COMB1	Combination	Min	-8571	0	0
169	169	J-End	COMB1	Combination	Min	-8571	0	0
161	161	I-End	COMB1	Combination	Max	-7628	0	0
161	161	J-End	COMB1	Combination	Max	-7628	0	0
179	179	I-End	COMB1	Combination	Min	-7562	0	0
179	179	J-End	COMB1	Combination	Min	-7562	0	0
157	157	I-End	EY	Combination	Min	-7481	0	0
157	157	J-End	EY	Combination	Min	-7481	0	0
161	161	I-End	EY	Combination	Min	-7481	0	0
161	161	J-End	EY	Combination	Min	-7481	0	0
161	161	I-End	COMB2	Combination	Max	-7333	0	0
161	161	J-End	COMB2	Combination	Max	-7333	0	0
179	179	I-End	COMB2	Combination	Min	-7301	0	0
179	179	J-End	COMB2	Combination	Min	-7301	0	0
167	167	I-End	COMB1	Combination	Min	-7202	0	0
167	167	J-End	COMB1	Combination	Min	-7202	0	0
167	167	I-End	COMB2	Combination	Min	-7169	0	0
167	167	J-End	COMB2	Combination	Min	-7169	0	0
175	175	I-End	COMB1	Combination	Max	-7077	0	0
175	175	J-End	COMB1	Combination	Max	-7077	0	0
157	157	I-End	EX	Combination	Min	-7069	0	0
157	157	J-End	EX	Combination	Min	-7069	0	0
161	161	I-End	EX	Combination	Min	-7069	0	0
161	161	J-End	EX	Combination	Min	-7069	0	0
175	175	I-End	COMB2	Combination	Max	-6816	0	0
175	175	J-End	COMB2	Combination	Max	-6816	0	0
157	157	I-End	EZ	Combination	Min	-6666	0	0
157	157	J-End	EZ	Combination	Min	-6666	0	0

<p><b>ANAS S.p.A.</b></p> <p>S.S. 389 TRONCO VILLANOVA – LANUSEI – TORTOLI</p> <p>LOTTO BIVIO VILLAGRANDE – SVINCOLO DI ARZANA</p> <p>DAL Km 51+100,00 DELLA S.S. 389 VAR AL Km 177+930,00 DELLA S.S. 389</p> <p><b>Viadotto VI02 - Relazione di calcolo impalcato</b></p>	<p>File: T00_VI02_STR_RE01_A</p> <p>Data: Agosto 2020</p> <p>Pag. 109 di 122</p>
--	--

161	161	I-End	EZ	Combination	Min	-6666	0	0
161	161	J-End	EZ	Combination	Min	-6666	0	0
163	163	I-End	COMB1	Combination	Max	-6607	0	0
163	163	J-End	COMB1	Combination	Max	-6607	0	0
163	163	I-End	COMB2	Combination	Max	-6574	0	0
163	163	J-End	COMB2	Combination	Max	-6574	0	0
163	163	I-End	EY	Combination	Min	-5767	0	0
163	163	J-End	EY	Combination	Min	-5767	0	0
167	167	I-End	EY	Combination	Min	-5767	0	0
167	167	J-End	EY	Combination	Min	-5767	0	0
173	173	I-End	COMB2	Combination	Min	-5729	0	0
173	173	J-End	COMB2	Combination	Min	-5729	0	0
173	173	I-End	COMB1	Combination	Min	-5663	0	0
173	173	J-End	COMB1	Combination	Min	-5663	0	0
179	179	I-End	COMB1	Combination	Max	-5433	0	0
179	179	J-End	COMB1	Combination	Max	-5433	0	0
157	157	I-End	EZ	Combination	Max	-5286	0	0
157	157	J-End	EZ	Combination	Max	-5286	0	0
161	161	I-End	EZ	Combination	Max	-5286	0	0
161	161	J-End	EZ	Combination	Max	-5286	0	0
179	179	I-End	COMB2	Combination	Max	-5172	0	0
179	179	J-End	COMB2	Combination	Max	-5172	0	0
163	163	I-End	EX	Combination	Min	-5125	0	0
163	163	J-End	EX	Combination	Min	-5125	0	0
167	167	I-End	EX	Combination	Min	-5125	0	0
167	167	J-End	EX	Combination	Min	-5125	0	0
175	175	I-End	EY	Combination	Min	-5059	0	0
175	175	J-End	EY	Combination	Min	-5059	0	0
179	179	I-End	EY	Combination	Min	-5059	0	0
179	179	J-End	EY	Combination	Min	-5059	0	0
163	163	I-End	EZ	Combination	Min	-4928	0	0
163	163	J-End	EZ	Combination	Min	-4928	0	0
167	167	I-End	EZ	Combination	Min	-4928	0	0
167	167	J-End	EZ	Combination	Min	-4928	0	0
157	157	I-End	EX	Combination	Max	-4883	0	0
157	157	J-End	EX	Combination	Max	-4883	0	0
161	161	I-End	EX	Combination	Max	-4883	0	0
161	161	J-End	EX	Combination	Max	-4883	0	0
169	169	I-End	COMB2	Combination	Max	-4865	0	0
169	169	J-End	COMB2	Combination	Max	-4865	0	0
169	169	I-End	COMB1	Combination	Max	-4798	0	0
169	169	J-End	COMB1	Combination	Max	-4798	0	0
175	175	I-End	EX	Combination	Min	-4725	0	0
175	175	J-End	EX	Combination	Min	-4725	0	0
179	179	I-End	EX	Combination	Min	-4725	0	0
179	179	J-End	EX	Combination	Min	-4725	0	0
167	167	I-End	COMB1	Combination	Max	-4699	0	0
167	167	J-End	COMB1	Combination	Max	-4699	0	0
167	167	I-End	COMB2	Combination	Max	-4666	0	0
167	167	J-End	COMB2	Combination	Max	-4666	0	0
175	175	I-End	EZ	Combination	Min	-4610	0	0
175	175	J-End	EZ	Combination	Min	-4610	0	0
179	179	I-End	EZ	Combination	Min	-4610	0	0
179	179	J-End	EZ	Combination	Min	-4610	0	0
157	157	I-End	EY	Combination	Max	-4471	0	0
157	157	J-End	EY	Combination	Max	-4471	0	0

<b>ANAS S.p.A.</b> S.S. 389 TRONCO VILLANOVA – LANUSEI – TORTOLI LOTTO BIVIO VILLAGRANDE – SVINCOLO DI ARZANA DAL Km 51+100,00 DELLA S.S. 389 VAR AL Km 177+930,00 DELLA S.S. 389 <b>Viadotto VI02 - Relazione di calcolo impalcato</b>	File: T00_VI02_STR_RE01_A Data: Agosto 2020 Pag. 110 di 122
---	---

161	161	I-End	EY	Combination	Max	-4471	0	0
161	161	J-End	EY	Combination	Max	-4471	0	0
169	169	I-End	EY	Combination	Min	-4315	0	0
169	169	J-End	EY	Combination	Min	-4315	0	0
173	173	I-End	EY	Combination	Min	-4315	0	0
173	173	J-End	EY	Combination	Min	-4315	0	0
148	148	I-End	COMB2	Combination	Min	-4078	0	0
148	148	J-End	COMB2	Combination	Min	-4078	0	0
148	148	I-End	COMB1	Combination	Min	-3925	0	0
148	148	J-End	COMB1	Combination	Min	-3925	0	0
169	169	I-End	EX	Combination	Min	-3921	0	0
169	169	J-End	EX	Combination	Min	-3921	0	0
173	173	I-End	EX	Combination	Min	-3921	0	0
173	173	J-End	EX	Combination	Min	-3921	0	0
169	169	I-End	EZ	Combination	Min	-3827	0	0
169	169	J-End	EZ	Combination	Min	-3827	0	0
173	173	I-End	EZ	Combination	Min	-3827	0	0
173	173	J-End	EZ	Combination	Min	-3827	0	0
175	175	I-End	EZ	Combination	Max	-3775	0	0
175	175	J-End	EZ	Combination	Max	-3775	0	0
179	179	I-End	EZ	Combination	Max	-3775	0	0
179	179	J-End	EZ	Combination	Max	-3775	0	0
175	175	I-End	EX	Combination	Max	-3660	0	0
175	175	J-End	EX	Combination	Max	-3660	0	0
179	179	I-End	EX	Combination	Max	-3660	0	0
179	179	J-End	EX	Combination	Max	-3660	0	0
173	173	I-End	COMB2	Combination	Max	-3596	0	0
173	173	J-End	COMB2	Combination	Max	-3596	0	0
163	163	I-End	EZ	Combination	Max	-3588	0	0
163	163	J-End	EZ	Combination	Max	-3588	0	0
167	167	I-End	EZ	Combination	Max	-3588	0	0
167	167	J-End	EZ	Combination	Max	-3588	0	0
173	173	I-End	COMB1	Combination	Max	-3529	0	0
173	173	J-End	COMB1	Combination	Max	-3529	0	0
163	163	I-End	EX	Combination	Max	-3391	0	0
163	163	J-End	EX	Combination	Max	-3391	0	0
167	167	I-End	EX	Combination	Max	-3391	0	0
167	167	J-End	EX	Combination	Max	-3391	0	0
175	175	I-End	EY	Combination	Max	-3325	0	0
175	175	J-End	EY	Combination	Max	-3325	0	0
179	179	I-End	EY	Combination	Max	-3325	0	0
179	179	J-End	EY	Combination	Max	-3325	0	0
169	169	I-End	EZ	Combination	Max	-2816	0	0
169	169	J-End	EZ	Combination	Max	-2816	0	0
173	173	I-End	EZ	Combination	Max	-2816	0	0
173	173	J-End	EZ	Combination	Max	-2816	0	0
163	163	I-End	EY	Combination	Max	-2749	0	0
163	163	J-End	EY	Combination	Max	-2749	0	0
167	167	I-End	EY	Combination	Max	-2749	0	0
167	167	J-End	EY	Combination	Max	-2749	0	0
169	169	I-End	EX	Combination	Max	-2721	0	0
169	169	J-End	EX	Combination	Max	-2721	0	0
173	173	I-End	EX	Combination	Max	-2721	0	0
173	173	J-End	EX	Combination	Max	-2721	0	0
150	150	I-End	COMB2	Combination	Min	-2391	0	0
150	150	J-End	COMB2	Combination	Min	-2391	0	0

<b>ANAS S.p.A.</b> S.S. 389 TRONCO VILLANOVA – LANUSEI – TORTOLI LOTTO BIVIO VILLAGRANDE – SVINCOLO DI ARZANA DAL Km 51+100,00 DELLA S.S. 389 VAR AL Km 177+930,00 DELLA S.S. 389 <b>Viadotto VI02 - Relazione di calcolo impalcato</b>	File: T00_VI02_STR_RE01_A Data: Agosto 2020 Pag. 111 di 122
---	---

169	169	I-End	EY	Combination	Max	-2328	0	0
169	169	J-End	EY	Combination	Max	-2328	0	0
173	173	I-End	EY	Combination	Max	-2328	0	0
173	173	J-End	EY	Combination	Max	-2328	0	0
150	150	I-End	COMB1	Combination	Min	-2238	0	0
150	150	J-End	COMB1	Combination	Min	-2238	0	0
148	148	I-End	COMB2	Combination	Max	-2033	0	0
148	148	J-End	COMB2	Combination	Max	-2033	0	0
148	148	I-End	COMB1	Combination	Max	-1881	0	0
148	148	J-End	COMB1	Combination	Max	-1881	0	0
148	148	I-End	EY	Combination	Min	-1762	0	0
148	148	J-End	EY	Combination	Min	-1762	0	0
150	150	I-End	EY	Combination	Min	-1762	0	0
150	150	J-End	EY	Combination	Min	-1762	0	0
148	148	I-End	EX	Combination	Min	-1674	0	0
148	148	J-End	EX	Combination	Min	-1674	0	0
150	150	I-End	EX	Combination	Min	-1674	0	0
150	150	J-End	EX	Combination	Min	-1674	0	0
148	148	I-End	EZ	Combination	Min	-1568	0	0
148	148	J-End	EZ	Combination	Min	-1568	0	0
150	150	I-End	EZ	Combination	Min	-1568	0	0
150	150	J-End	EZ	Combination	Min	-1568	0	0
150	150	I-End	COMB2	Combination	Max	-1381	0	0
150	150	J-End	COMB2	Combination	Max	-1381	0	0
150	150	I-End	COMB1	Combination	Max	-1229	0	0
150	150	J-End	COMB1	Combination	Max	-1229	0	0
148	148	I-End	EZ	Combination	Max	-1211	0	0
148	148	J-End	EZ	Combination	Max	-1211	0	0
150	150	I-End	EZ	Combination	Max	-1211	0	0
150	150	J-End	EZ	Combination	Max	-1211	0	0
148	148	I-End	EX	Combination	Max	-1104	0	0
148	148	J-End	EX	Combination	Max	-1104	0	0
150	150	I-End	EX	Combination	Max	-1104	0	0
150	150	J-End	EX	Combination	Max	-1104	0	0
148	148	I-End	EY	Combination	Max	-1016	0	0
148	148	J-End	EY	Combination	Max	-1016	0	0
150	150	I-End	EY	Combination	Max	-1016	0	0
150	150	J-End	EY	Combination	Max	-1016	0	0

UNI-LONG.:

TABLE: Element Forces - Links								
Link	LinkElem	Station	OutputCase	CaseType	StepType	P	V2	V3
Text	Text	Text	Text	Text	Text	KN	KN	KN
159	159	I-End	COMB1	Combination	Min	-12378	-1417	0
159	159	J-End	COMB1	Combination	Min	-12378	-1417	0
159	159	I-End	COMB2	Combination	Min	-12215	-1417	0
159	159	J-End	COMB2	Combination	Min	-12215	-1417	0
177	177	I-End	COMB1	Combination	Min	-9152	-1021	0
177	177	J-End	COMB1	Combination	Min	-9152	-1021	0
177	177	I-End	COMB2	Combination	Min	-9002	-1021	0
177	177	J-End	COMB2	Combination	Min	-9002	-1021	0
159	159	I-End	COMB1	Combination	Max	-8972	-700	0
159	159	J-End	COMB1	Combination	Max	-8972	-700	0
165	165	I-End	COMB2	Combination	Min	-8928	-1264	0
165	165	J-End	COMB2	Combination	Min	-8928	-1264	0



<p><b>ANAS S.p.A.</b>  S.S. 389 TRONCO VILLANOVA – LANUSEI – TORTOLI  LOTTO BIVIO VILLAGRANDE – SVINCOLO DI ARZANA  DAL Km 51+100,00 DELLA S.S. 389 VAR AL Km 177+930,00 DELLA S.S. 389  <b>Viadotto VI02 - Relazione di calcolo impalcato</b></p>	<p>File: T00_VI02_STR_RE01_A  Data: Agosto 2020  Pag. 112 di 122</p>
--	--

165	165	I-End	COMB1	Combination	Min	-8825	-1264	0
165	165	J-End	COMB1	Combination	Min	-8825	-1264	0
159	159	I-End	COMB2	Combination	Max	-8809	-700	0
159	159	J-End	COMB2	Combination	Max	-8809	-700	0
171	171	I-End	COMB2	Combination	Min	-7169	-1126	0
171	171	J-End	COMB2	Combination	Min	-7169	-1126	0
171	171	I-End	COMB1	Combination	Min	-6984	-1126	0
171	171	J-End	COMB1	Combination	Min	-6984	-1126	0
159	159	I-End	EX	Combination	Min	-6510	-1031	0
159	159	J-End	EX	Combination	Min	-6510	-1031	0
177	177	I-End	COMB1	Combination	Max	-6231	-789	0
177	177	J-End	COMB1	Combination	Max	-6231	-789	0
159	159	I-End	EZ	Combination	Min	-6093	-1031	0
159	159	J-End	EZ	Combination	Min	-6093	-1031	0
177	177	I-End	COMB2	Combination	Max	-6081	-789	0
177	177	J-End	COMB2	Combination	Max	-6081	-789	0
159	159	I-End	EY	Combination	Min	-6018	-3436	0
159	159	J-End	EY	Combination	Min	-6018	-3436	0
165	165	I-End	COMB2	Combination	Max	-5574	-956	0
165	165	J-End	COMB2	Combination	Max	-5574	-956	0
159	159	I-End	EY	Combination	Max	-5532	3436	0
159	159	J-End	EY	Combination	Max	-5532	3436	0
165	165	I-End	COMB1	Combination	Max	-5471	-956	0
165	165	J-End	COMB1	Combination	Max	-5471	-956	0
159	159	I-End	EZ	Combination	Max	-5457	1031	0
159	159	J-End	EZ	Combination	Max	-5457	1031	0
159	159	I-End	EX	Combination	Max	-5039	1031	0
159	159	J-End	EX	Combination	Max	-5039	1031	0
165	165	I-End	EX	Combination	Min	-4515	-953	0
165	165	J-End	EX	Combination	Min	-4515	-953	0
165	165	I-End	EZ	Combination	Min	-4318	-953	0
165	165	J-End	EZ	Combination	Min	-4318	-953	0
177	177	I-End	EX	Combination	Min	-4315	-584	0
177	177	J-End	EX	Combination	Min	-4315	-584	0
165	165	I-End	EY	Combination	Min	-4217	-3175	0
165	165	J-End	EY	Combination	Min	-4217	-3175	0
177	177	I-End	EZ	Combination	Min	-4202	-584	0
177	177	J-End	EZ	Combination	Min	-4202	-584	0
177	177	I-End	EY	Combination	Min	-4123	-1946	0
177	177	J-End	EY	Combination	Min	-4123	-1946	0
171	171	I-End	COMB2	Combination	Max	-4113	-787	0
171	171	J-End	COMB2	Combination	Max	-4113	-787	0
171	171	I-End	COMB1	Combination	Max	-3928	-787	0
171	171	J-End	COMB1	Combination	Max	-3928	-787	0
177	177	I-End	EY	Combination	Max	-3892	1946	0
177	177	J-End	EY	Combination	Max	-3892	1946	0
165	165	I-End	EY	Combination	Max	-3876	3175	0
165	165	J-End	EY	Combination	Max	-3876	3175	0
177	177	I-End	EZ	Combination	Max	-3814	584	0
177	177	J-End	EZ	Combination	Max	-3814	584	0
165	165	I-End	EZ	Combination	Max	-3775	953	0
165	165	J-End	EZ	Combination	Max	-3775	953	0
177	177	I-End	EX	Combination	Max	-3700	584	0
177	177	J-End	EX	Combination	Max	-3700	584	0
165	165	I-End	EX	Combination	Max	-3578	953	0
165	165	J-End	EX	Combination	Max	-3578	953	0



<b>ANAS S.p.A.</b> S.S. 389 TRONCO VILLANOVA – LANUSEI – TORTOLI LOTTO BIVIO VILLAGRANDE – SVINCOLO DI ARZANA DAL Km 51+100,00 DELLA S.S. 389 VAR AL Km 177+930,00 DELLA S.S. 389 <b>Viadotto VI02 - Relazione di calcolo impalcato</b>	File: T00_VI02_STR_RE01_A Data: Agosto 2020 Pag. 114 di 122
---	---

2	2	I-End	Barriers and Sidewalks	StagedConst	Max	-57	0	130
2	2	J-End	Barriers and Sidewalks	StagedConst	Max	-57	0	130
2	2	I-End	Barriers and Sidewalks	StagedConst	Min	-57	0	130
2	2	J-End	Barriers and Sidewalks	StagedConst	Min	-57	0	130
2	2	I-End	Deck Plus	StagedConst	Max	-966	0	89
2	2	J-End	Deck Plus	StagedConst	Max	-966	0	89
2	2	I-End	Deck Plus	StagedConst	Min	-966	0	89
2	2	J-End	Deck Plus	StagedConst	Min	-966	0	89
2	2	I-End	Girders and Diaphragms	StagedConst	Max	-340	0	9
2	2	J-End	Girders and Diaphragms	StagedConst	Max	-340	0	9
2	2	I-End	Girders and Diaphragms	StagedConst	Min	-340	0	9
2	2	J-End	Girders and Diaphragms	StagedConst	Min	-340	0	9
2	2	I-End	TRAFFICO CARATTERISTICO	LinMoving	Max	114	161	172
2	2	J-End	TRAFFICO CARATTERISTICO	LinMoving	Max	114	161	172
2	2	I-End	TRAFFICO CARATTERISTICO	LinMoving	Min	-1347	-349	-317
2	2	J-End	TRAFFICO CARATTERISTICO	LinMoving	Min	-1347	-349	-317
2	2	I-End	Wearing Surface	StagedConst	Max	-343	0	-3
2	2	J-End	Wearing Surface	StagedConst	Max	-343	0	-3
2	2	I-End	Wearing Surface	StagedConst	Min	-343	0	-3
2	2	J-End	Wearing Surface	StagedConst	Min	-343	0	-3

UNI-T:

TABLE: Element Forces - Links								
Link	LinkElem	Station	OutputCase	CaseType	StepType	P	V2	V3
Text	Text	Text	Text	Text	Text	KN	KN	KN
1	1	I-End	Barriers and Sidewalks	StagedConst	Max	-240	0	-65
1	1	J-End	Barriers and Sidewalks	StagedConst	Max	-240	0	-65
1	1	I-End	Barriers and Sidewalks	StagedConst	Min	-240	0	-65
1	1	J-End	Barriers and Sidewalks	StagedConst	Min	-240	0	-65
3	3	I-End	Barriers and Sidewalks	StagedConst	Max	-240	0	-65
3	3	J-End	Barriers and Sidewalks	StagedConst	Max	-240	0	-65
3	3	I-End	Barriers and Sidewalks	StagedConst	Min	-240	0	-65
3	3	J-End	Barriers and Sidewalks	StagedConst	Min	-240	0	-65
1	1	I-End	Deck Plus	StagedConst	Max	-1118	0	-44
1	1	J-End	Deck Plus	StagedConst	Max	-1118	0	-44
1	1	I-End	Deck Plus	StagedConst	Min	-1118	0	-44
1	1	J-End	Deck Plus	StagedConst	Min	-1118	0	-44
3	3	I-End	Deck Plus	StagedConst	Max	-1118	0	-44
3	3	J-End	Deck Plus	StagedConst	Max	-1118	0	-44
3	3	I-End	Deck Plus	StagedConst	Min	-1118	0	-44
3	3	J-End	Deck Plus	StagedConst	Min	-1118	0	-44
1	1	I-End	Girders and Diaphragms	StagedConst	Max	-334	0	-4
1	1	J-End	Girders and Diaphragms	StagedConst	Max	-334	0	-4
1	1	I-End	Girders and Diaphragms	StagedConst	Min	-334	0	-4
1	1	J-End	Girders and Diaphragms	StagedConst	Min	-334	0	-4
3	3	I-End	Girders and Diaphragms	StagedConst	Max	-334	0	-4
3	3	J-End	Girders and Diaphragms	StagedConst	Max	-334	0	-4
3	3	I-End	Girders and Diaphragms	StagedConst	Min	-334	0	-4
3	3	J-End	Girders and Diaphragms	StagedConst	Min	-334	0	-4
1	1	I-End	TRAFFICO CARATTERISTICO	LinMoving	Max	319	0	965
1	1	J-End	TRAFFICO CARATTERISTICO	LinMoving	Max	319	0	965
1	1	I-End	TRAFFICO CARATTERISTICO	LinMoving	Min	-1751	0	-2127
1	1	J-End	TRAFFICO CARATTERISTICO	LinMoving	Min	-1751	0	-2127
3	3	I-End	TRAFFICO CARATTERISTICO	LinMoving	Max	502	0	2078
3	3	J-End	TRAFFICO CARATTERISTICO	LinMoving	Max	502	0	2078

<b>ANAS S.p.A.</b> S.S. 389 TRONCO VILLANOVA – LANUSEI – TORTOLI LOTTO BIVIO VILLAGRANDE – SVINCOLO DI ARZANA DAL Km 51+100,00 DELLA S.S. 389 VAR AL Km 177+930,00 DELLA S.S. 389 <b>Viadotto VI02 - Relazione di calcolo impalcato</b>	File: T00_VI02_STR_RE01_A Data: Agosto 2020 Pag. 115 di 122
---	---

3	3	I-End	TRAFFICO CARATTERISTICO	LinMoving	Min	-758	0	-934
3	3	J-End	TRAFFICO CARATTERISTICO	LinMoving	Min	-758	0	-934
1	1	I-End	Wearing Surface	StagedConst	Max	-326	0	1
1	1	J-End	Wearing Surface	StagedConst	Max	-326	0	1
1	1	I-End	Wearing Surface	StagedConst	Min	-326	0	1
1	1	J-End	Wearing Surface	StagedConst	Min	-326	0	1
3	3	I-End	Wearing Surface	StagedConst	Max	-326	0	1
3	3	J-End	Wearing Surface	StagedConst	Max	-326	0	1
3	3	I-End	Wearing Surface	StagedConst	Min	-326	0	1
3	3	J-End	Wearing Surface	StagedConst	Min	-326	0	1

### UNI

TABLE: Element Forces - Links								
Link	LinkElem	Station	OutputCase	CaseType	StepType	P	V2	V3
Text	Text	Text	Text	Text	Text	KN	KN	KN
148	148	I-End	Barriers and Sidewalks	StagedConst	Max	-171	0	0
148	148	J-End	Barriers and Sidewalks	StagedConst	Max	-171	0	0
148	148	I-End	Barriers and Sidewalks	StagedConst	Min	-171	0	0
148	148	J-End	Barriers and Sidewalks	StagedConst	Min	-171	0	0
150	150	I-End	Barriers and Sidewalks	StagedConst	Max	-171	0	0
150	150	J-End	Barriers and Sidewalks	StagedConst	Max	-171	0	0
150	150	I-End	Barriers and Sidewalks	StagedConst	Min	-171	0	0
150	150	J-End	Barriers and Sidewalks	StagedConst	Min	-171	0	0
157	157	I-End	Barriers and Sidewalks	StagedConst	Max	-678	0	0
157	157	J-End	Barriers and Sidewalks	StagedConst	Max	-678	0	0
157	157	I-End	Barriers and Sidewalks	StagedConst	Min	-678	0	0
157	157	J-End	Barriers and Sidewalks	StagedConst	Min	-678	0	0
161	161	I-End	Barriers and Sidewalks	StagedConst	Max	-678	0	0
161	161	J-End	Barriers and Sidewalks	StagedConst	Max	-678	0	0
161	161	I-End	Barriers and Sidewalks	StagedConst	Min	-678	0	0
161	161	J-End	Barriers and Sidewalks	StagedConst	Min	-678	0	0
163	163	I-End	Barriers and Sidewalks	StagedConst	Max	-529	0	0
163	163	J-End	Barriers and Sidewalks	StagedConst	Max	-529	0	0
163	163	I-End	Barriers and Sidewalks	StagedConst	Min	-529	0	0
163	163	J-End	Barriers and Sidewalks	StagedConst	Min	-529	0	0
167	167	I-End	Barriers and Sidewalks	StagedConst	Max	-529	0	0
167	167	J-End	Barriers and Sidewalks	StagedConst	Max	-529	0	0
167	167	I-End	Barriers and Sidewalks	StagedConst	Min	-529	0	0
167	167	J-End	Barriers and Sidewalks	StagedConst	Min	-529	0	0
169	169	I-End	Barriers and Sidewalks	StagedConst	Max	-435	0	0
169	169	J-End	Barriers and Sidewalks	StagedConst	Max	-435	0	0
169	169	I-End	Barriers and Sidewalks	StagedConst	Min	-435	0	0
169	169	J-End	Barriers and Sidewalks	StagedConst	Min	-435	0	0
173	173	I-End	Barriers and Sidewalks	StagedConst	Max	-435	0	0
173	173	J-End	Barriers and Sidewalks	StagedConst	Max	-435	0	0
173	173	I-End	Barriers and Sidewalks	StagedConst	Min	-435	0	0
173	173	J-End	Barriers and Sidewalks	StagedConst	Min	-435	0	0
175	175	I-End	Barriers and Sidewalks	StagedConst	Max	-524	0	0
175	175	J-End	Barriers and Sidewalks	StagedConst	Max	-524	0	0
175	175	I-End	Barriers and Sidewalks	StagedConst	Min	-524	0	0
175	175	J-End	Barriers and Sidewalks	StagedConst	Min	-524	0	0
179	179	I-End	Barriers and Sidewalks	StagedConst	Max	-524	0	0
179	179	J-End	Barriers and Sidewalks	StagedConst	Max	-524	0	0
179	179	I-End	Barriers and Sidewalks	StagedConst	Min	-524	0	0
179	179	J-End	Barriers and Sidewalks	StagedConst	Min	-524	0	0

<p><b>ANAS S.p.A.</b>  S.S. 389 TRONCO VILLANOVA – LANUSEI – TORTOLI  LOTTO BIVIO VILLAGRANDE – SVINCOLO DI ARZANA  DAL Km 51+100,00 DELLA S.S. 389 VAR AL Km 177+930,00 DELLA S.S. 389  <b>Viadotto VI02 - Relazione di calcolo impalcato</b></p>	<p>File: T00_VI02_STR_RE01_A  Data: Agosto 2020  Pag. 116 di 122</p>
--	--

148	148	I-End	Deck Plus	StagedConst	Max	-799	0	0
148	148	J-End	Deck Plus	StagedConst	Max	-799	0	0
148	148	I-End	Deck Plus	StagedConst	Min	-799	0	0
148	148	J-End	Deck Plus	StagedConst	Min	-799	0	0
150	150	I-End	Deck Plus	StagedConst	Max	-799	0	0
150	150	J-End	Deck Plus	StagedConst	Max	-799	0	0
150	150	I-End	Deck Plus	StagedConst	Min	-799	0	0
150	150	J-End	Deck Plus	StagedConst	Min	-799	0	0
157	157	I-End	Deck Plus	StagedConst	Max	-3168	0	0
157	157	J-End	Deck Plus	StagedConst	Max	-3168	0	0
157	157	I-End	Deck Plus	StagedConst	Min	-3168	0	0
157	157	J-End	Deck Plus	StagedConst	Min	-3168	0	0
161	161	I-End	Deck Plus	StagedConst	Max	-3168	0	0
161	161	J-End	Deck Plus	StagedConst	Max	-3168	0	0
161	161	I-End	Deck Plus	StagedConst	Min	-3168	0	0
161	161	J-End	Deck Plus	StagedConst	Min	-3168	0	0
163	163	I-End	Deck Plus	StagedConst	Max	-2265	0	0
163	163	J-End	Deck Plus	StagedConst	Max	-2265	0	0
163	163	I-End	Deck Plus	StagedConst	Min	-2265	0	0
163	163	J-End	Deck Plus	StagedConst	Min	-2265	0	0
167	167	I-End	Deck Plus	StagedConst	Max	-2265	0	0
167	167	J-End	Deck Plus	StagedConst	Max	-2265	0	0
167	167	I-End	Deck Plus	StagedConst	Min	-2265	0	0
167	167	J-End	Deck Plus	StagedConst	Min	-2265	0	0
169	169	I-End	Deck Plus	StagedConst	Max	-1825	0	0
169	169	J-End	Deck Plus	StagedConst	Max	-1825	0	0
169	169	I-End	Deck Plus	StagedConst	Min	-1825	0	0
169	169	J-End	Deck Plus	StagedConst	Min	-1825	0	0
173	173	I-End	Deck Plus	StagedConst	Max	-1825	0	0
173	173	J-End	Deck Plus	StagedConst	Max	-1825	0	0
173	173	I-End	Deck Plus	StagedConst	Min	-1825	0	0
173	173	J-End	Deck Plus	StagedConst	Min	-1825	0	0
175	175	I-End	Deck Plus	StagedConst	Max	-2289	0	0
175	175	J-End	Deck Plus	StagedConst	Max	-2289	0	0
175	175	I-End	Deck Plus	StagedConst	Min	-2289	0	0
175	175	J-End	Deck Plus	StagedConst	Min	-2289	0	0
179	179	I-End	Deck Plus	StagedConst	Max	-2289	0	0
179	179	J-End	Deck Plus	StagedConst	Max	-2289	0	0
179	179	I-End	Deck Plus	StagedConst	Min	-2289	0	0
179	179	J-End	Deck Plus	StagedConst	Min	-2289	0	0
148	148	I-End	Girders and Diaphragms	StagedConst	Max	-220	0	0
148	148	J-End	Girders and Diaphragms	StagedConst	Max	-220	0	0
148	148	I-End	Girders and Diaphragms	StagedConst	Min	-220	0	0
148	148	J-End	Girders and Diaphragms	StagedConst	Min	-220	0	0
150	150	I-End	Girders and Diaphragms	StagedConst	Max	-220	0	0
150	150	J-End	Girders and Diaphragms	StagedConst	Max	-220	0	0
150	150	I-End	Girders and Diaphragms	StagedConst	Min	-220	0	0
150	150	J-End	Girders and Diaphragms	StagedConst	Min	-220	0	0
157	157	I-End	Girders and Diaphragms	StagedConst	Max	-1086	0	0
157	157	J-End	Girders and Diaphragms	StagedConst	Max	-1086	0	0
157	157	I-End	Girders and Diaphragms	StagedConst	Min	-1086	0	0
157	157	J-End	Girders and Diaphragms	StagedConst	Min	-1086	0	0
161	161	I-End	Girders and Diaphragms	StagedConst	Max	-1086	0	0
161	161	J-End	Girders and Diaphragms	StagedConst	Max	-1086	0	0
161	161	I-End	Girders and Diaphragms	StagedConst	Min	-1086	0	0
161	161	J-End	Girders and Diaphragms	StagedConst	Min	-1086	0	0

<p><b>ANAS S.p.A.</b>  S.S. 389 TRONCO VILLANOVA – LANUSEI – TORTOLI  LOTTO BIVIO VILLAGRANDE – SVINCOLO DI ARZANA  DAL Km 51+100,00 DELLA S.S. 389 VAR AL Km 177+930,00 DELLA S.S. 389  <b>Viadotto VI02 - Relazione di calcolo impalcato</b></p>	<p>File: T00_VI02_STR_RE01_A  Data: Agosto 2020  Pag. 117 di 122</p>
--	--

163	163	I-End	Girders and Diaphragms	StagedConst	Max	-776	0	0
163	163	J-End	Girders and Diaphragms	StagedConst	Max	-776	0	0
163	163	I-End	Girders and Diaphragms	StagedConst	Min	-776	0	0
163	163	J-End	Girders and Diaphragms	StagedConst	Min	-776	0	0
167	167	I-End	Girders and Diaphragms	StagedConst	Max	-776	0	0
167	167	J-End	Girders and Diaphragms	StagedConst	Max	-776	0	0
167	167	I-End	Girders and Diaphragms	StagedConst	Min	-776	0	0
167	167	J-End	Girders and Diaphragms	StagedConst	Min	-776	0	0
169	169	I-End	Girders and Diaphragms	StagedConst	Max	-524	0	0
169	169	J-End	Girders and Diaphragms	StagedConst	Max	-524	0	0
169	169	I-End	Girders and Diaphragms	StagedConst	Min	-524	0	0
169	169	J-End	Girders and Diaphragms	StagedConst	Min	-524	0	0
173	173	I-End	Girders and Diaphragms	StagedConst	Max	-524	0	0
173	173	J-End	Girders and Diaphragms	StagedConst	Max	-524	0	0
173	173	I-End	Girders and Diaphragms	StagedConst	Min	-524	0	0
173	173	J-End	Girders and Diaphragms	StagedConst	Min	-524	0	0
175	175	I-End	Girders and Diaphragms	StagedConst	Max	-676	0	0
175	175	J-End	Girders and Diaphragms	StagedConst	Max	-676	0	0
175	175	I-End	Girders and Diaphragms	StagedConst	Min	-676	0	0
175	175	J-End	Girders and Diaphragms	StagedConst	Min	-676	0	0
179	179	I-End	Girders and Diaphragms	StagedConst	Max	-676	0	0
179	179	J-End	Girders and Diaphragms	StagedConst	Max	-676	0	0
179	179	I-End	Girders and Diaphragms	StagedConst	Min	-676	0	0
179	179	J-End	Girders and Diaphragms	StagedConst	Min	-676	0	0
148	148	I-End	TRAFFICO CARATTERISTICO	LinMoving	Max	158	0	0
148	148	J-End	TRAFFICO CARATTERISTICO	LinMoving	Max	158	0	0
148	148	I-End	TRAFFICO CARATTERISTICO	LinMoving	Min	-1356	0	0
148	148	J-End	TRAFFICO CARATTERISTICO	LinMoving	Min	-1356	0	0
150	150	I-End	TRAFFICO CARATTERISTICO	LinMoving	Max	189	0	0
150	150	J-End	TRAFFICO CARATTERISTICO	LinMoving	Max	189	0	0
150	150	I-End	TRAFFICO CARATTERISTICO	LinMoving	Min	-559	0	0
150	150	J-End	TRAFFICO CARATTERISTICO	LinMoving	Min	-559	0	0
157	157	I-End	TRAFFICO CARATTERISTICO	LinMoving	Max	275	0	0
157	157	J-End	TRAFFICO CARATTERISTICO	LinMoving	Max	275	0	0
157	157	I-End	TRAFFICO CARATTERISTICO	LinMoving	Min	-2843	0	0
157	157	J-End	TRAFFICO CARATTERISTICO	LinMoving	Min	-2843	0	0
161	161	I-End	TRAFFICO CARATTERISTICO	LinMoving	Max	363	0	0
161	161	J-End	TRAFFICO CARATTERISTICO	LinMoving	Max	363	0	0
161	161	I-End	TRAFFICO CARATTERISTICO	LinMoving	Min	-1640	0	0
161	161	J-End	TRAFFICO CARATTERISTICO	LinMoving	Min	-1640	0	0
163	163	I-End	TRAFFICO CARATTERISTICO	LinMoving	Max	481	0	0
163	163	J-End	TRAFFICO CARATTERISTICO	LinMoving	Max	481	0	0
163	163	I-End	TRAFFICO CARATTERISTICO	LinMoving	Min	-2629	0	0
163	163	J-End	TRAFFICO CARATTERISTICO	LinMoving	Min	-2629	0	0
167	167	I-End	TRAFFICO CARATTERISTICO	LinMoving	Max	453	0	0
167	167	J-End	TRAFFICO CARATTERISTICO	LinMoving	Max	453	0	0
167	167	I-End	TRAFFICO CARATTERISTICO	LinMoving	Min	-1401	0	0
167	167	J-End	TRAFFICO CARATTERISTICO	LinMoving	Min	-1401	0	0
169	169	I-End	TRAFFICO CARATTERISTICO	LinMoving	Max	482	0	0
169	169	J-End	TRAFFICO CARATTERISTICO	LinMoving	Max	482	0	0
169	169	I-End	TRAFFICO CARATTERISTICO	LinMoving	Min	-2312	0	0
169	169	J-End	TRAFFICO CARATTERISTICO	LinMoving	Min	-2312	0	0
173	173	I-End	TRAFFICO CARATTERISTICO	LinMoving	Max	397	0	0
173	173	J-End	TRAFFICO CARATTERISTICO	LinMoving	Max	397	0	0
173	173	I-End	TRAFFICO CARATTERISTICO	LinMoving	Min	-1184	0	0
173	173	J-End	TRAFFICO CARATTERISTICO	LinMoving	Min	-1184	0	0

<p>ANAS S.p.A.  S.S. 389 TRONCO VILLANOVA – LANUSEI – TORTOLI  LOTTO BIVIO VILLAGRANDE – SVINCOLO DI ARZANA  DAL Km 51+100,00 DELLA S.S. 389 VAR AL Km 177+930,00 DELLA S.S. 389  <b>Viadotto VI02 - Relazione di calcolo impalcato</b></p>	<p>File: T00_VI02_STR_RE01_A  Data: Agosto 2020  Pag. 118 di 122</p>
---	--

175	175	I-End	TRAFFICO CARATTERISTICO	LinMoving	Max	241	0	0
175	175	J-End	TRAFFICO CARATTERISTICO	LinMoving	Max	241	0	0
175	175	I-End	TRAFFICO CARATTERISTICO	LinMoving	Min	-2424	0	0
175	175	J-End	TRAFFICO CARATTERISTICO	LinMoving	Min	-2424	0	0
179	179	I-End	TRAFFICO CARATTERISTICO	LinMoving	Max	317	0	0
179	179	J-End	TRAFFICO CARATTERISTICO	LinMoving	Max	317	0	0
179	179	I-End	TRAFFICO CARATTERISTICO	LinMoving	Min	-1260	0	0
179	179	J-End	TRAFFICO CARATTERISTICO	LinMoving	Min	-1260	0	0
148	148	I-End	Wearing Surface	StagedConst	Max	-232	0	0
148	148	J-End	Wearing Surface	StagedConst	Max	-232	0	0
148	148	I-End	Wearing Surface	StagedConst	Min	-232	0	0
148	148	J-End	Wearing Surface	StagedConst	Min	-232	0	0
150	150	I-End	Wearing Surface	StagedConst	Max	-232	0	0
150	150	J-End	Wearing Surface	StagedConst	Max	-232	0	0
150	150	I-End	Wearing Surface	StagedConst	Min	-232	0	0
150	150	J-End	Wearing Surface	StagedConst	Min	-232	0	0
157	157	I-End	Wearing Surface	StagedConst	Max	-968	0	0
157	157	J-End	Wearing Surface	StagedConst	Max	-968	0	0
157	157	I-End	Wearing Surface	StagedConst	Min	-968	0	0
157	157	J-End	Wearing Surface	StagedConst	Min	-968	0	0
161	161	I-End	Wearing Surface	StagedConst	Max	-968	0	0
161	161	J-End	Wearing Surface	StagedConst	Max	-968	0	0
161	161	I-End	Wearing Surface	StagedConst	Min	-968	0	0
161	161	J-End	Wearing Surface	StagedConst	Min	-968	0	0
163	163	I-End	Wearing Surface	StagedConst	Max	-675	0	0
163	163	J-End	Wearing Surface	StagedConst	Max	-675	0	0
163	163	I-End	Wearing Surface	StagedConst	Min	-675	0	0
163	163	J-End	Wearing Surface	StagedConst	Min	-675	0	0
167	167	I-End	Wearing Surface	StagedConst	Max	-675	0	0
167	167	J-End	Wearing Surface	StagedConst	Max	-675	0	0
167	167	I-End	Wearing Surface	StagedConst	Min	-675	0	0
167	167	J-End	Wearing Surface	StagedConst	Min	-675	0	0
169	169	I-End	Wearing Surface	StagedConst	Max	-539	0	0
169	169	J-End	Wearing Surface	StagedConst	Max	-539	0	0
169	169	I-End	Wearing Surface	StagedConst	Min	-539	0	0
169	169	J-End	Wearing Surface	StagedConst	Min	-539	0	0
173	173	I-End	Wearing Surface	StagedConst	Max	-539	0	0
173	173	J-End	Wearing Surface	StagedConst	Max	-539	0	0
173	173	I-End	Wearing Surface	StagedConst	Min	-539	0	0
173	173	J-End	Wearing Surface	StagedConst	Min	-539	0	0
175	175	I-End	Wearing Surface	StagedConst	Max	-685	0	0
175	175	J-End	Wearing Surface	StagedConst	Max	-685	0	0
175	175	I-End	Wearing Surface	StagedConst	Min	-685	0	0
175	175	J-End	Wearing Surface	StagedConst	Min	-685	0	0
179	179	I-End	Wearing Surface	StagedConst	Max	-685	0	0
179	179	J-End	Wearing Surface	StagedConst	Max	-685	0	0
179	179	I-End	Wearing Surface	StagedConst	Min	-685	0	0
179	179	J-End	Wearing Surface	StagedConst	Min	-685	0	0

UNI-L

TABLE: Element Forces - Links								
Link	LinkElem	Station	OutputCase	CaseType	StepType	P	V2	V3
Text	Text	Text	Text	Text	Text	KN	KN	KN
149	149	I-End	Barriers and Sidewalks	StagedConst	Max	-65	0	0
149	149	J-End	Barriers and Sidewalks	StagedConst	Max	-65	0	0

<b>ANAS S.p.A.</b> S.S. 389 TRONCO VILLANOVA – LANUSEI – TORTOLI LOTTO BIVIO VILLAGRANDE – SVINCOLO DI ARZANA DAL Km 51+100,00 DELLA S.S. 389 VAR AL Km 177+930,00 DELLA S.S. 389 <b>Viadotto VI02 - Relazione di calcolo impalcato</b>	File: T00_VI02_STR_RE01_A Data: Agosto 2020 Pag. 119 di 122
---	---

149	149	I-End	Barriers and Sidewalks	StagedConst	Min	-65	0	0
149	149	J-End	Barriers and Sidewalks	StagedConst	Min	-65	0	0
159	159	I-End	Barriers and Sidewalks	StagedConst	Max	-296	0	0
159	159	J-End	Barriers and Sidewalks	StagedConst	Max	-296	0	0
159	159	I-End	Barriers and Sidewalks	StagedConst	Min	-296	0	0
159	159	J-End	Barriers and Sidewalks	StagedConst	Min	-296	0	0
165	165	I-End	Barriers and Sidewalks	StagedConst	Max	-152	0	0
165	165	J-End	Barriers and Sidewalks	StagedConst	Max	-152	0	0
165	165	I-End	Barriers and Sidewalks	StagedConst	Min	-152	0	0
165	165	J-End	Barriers and Sidewalks	StagedConst	Min	-152	0	0
171	171	I-End	Barriers and Sidewalks	StagedConst	Max	-94	0	0
171	171	J-End	Barriers and Sidewalks	StagedConst	Max	-94	0	0
171	171	I-End	Barriers and Sidewalks	StagedConst	Min	-94	0	0
171	171	J-End	Barriers and Sidewalks	StagedConst	Min	-94	0	0
177	177	I-End	Barriers and Sidewalks	StagedConst	Max	-175	0	0
177	177	J-End	Barriers and Sidewalks	StagedConst	Max	-175	0	0
177	177	I-End	Barriers and Sidewalks	StagedConst	Min	-175	0	0
177	177	J-End	Barriers and Sidewalks	StagedConst	Min	-175	0	0
149	149	I-End	Deck Plus	StagedConst	Max	-711	0	0
149	149	J-End	Deck Plus	StagedConst	Max	-711	0	0
149	149	I-End	Deck Plus	StagedConst	Min	-711	0	0
149	149	J-End	Deck Plus	StagedConst	Min	-711	0	0
159	159	I-End	Deck Plus	StagedConst	Max	-3389	0	0
159	159	J-End	Deck Plus	StagedConst	Max	-3389	0	0
159	159	I-End	Deck Plus	StagedConst	Min	-3389	0	0
159	159	J-End	Deck Plus	StagedConst	Min	-3389	0	0
165	165	I-End	Deck Plus	StagedConst	Max	-2313	0	0
165	165	J-End	Deck Plus	StagedConst	Max	-2313	0	0
165	165	I-End	Deck Plus	StagedConst	Min	-2313	0	0
165	165	J-End	Deck Plus	StagedConst	Min	-2313	0	0
171	171	I-End	Deck Plus	StagedConst	Max	-1826	0	0
171	171	J-End	Deck Plus	StagedConst	Max	-1826	0	0
171	171	I-End	Deck Plus	StagedConst	Min	-1826	0	0
171	171	J-End	Deck Plus	StagedConst	Min	-1826	0	0
177	177	I-End	Deck Plus	StagedConst	Max	-2385	0	0
177	177	J-End	Deck Plus	StagedConst	Max	-2385	0	0
177	177	I-End	Deck Plus	StagedConst	Min	-2385	0	0
177	177	J-End	Deck Plus	StagedConst	Min	-2385	0	0
149	149	I-End	Girders and Diaphragms	StagedConst	Max	-225	0	0
149	149	J-End	Girders and Diaphragms	StagedConst	Max	-225	0	0
149	149	I-End	Girders and Diaphragms	StagedConst	Min	-225	0	0
149	149	J-End	Girders and Diaphragms	StagedConst	Min	-225	0	0
159	159	I-End	Girders and Diaphragms	StagedConst	Max	-1247	0	0
159	159	J-End	Girders and Diaphragms	StagedConst	Max	-1247	0	0
159	159	I-End	Girders and Diaphragms	StagedConst	Min	-1247	0	0
159	159	J-End	Girders and Diaphragms	StagedConst	Min	-1247	0	0
165	165	I-End	Girders and Diaphragms	StagedConst	Max	-860	0	0
165	165	J-End	Girders and Diaphragms	StagedConst	Max	-860	0	0
165	165	I-End	Girders and Diaphragms	StagedConst	Min	-860	0	0
165	165	J-End	Girders and Diaphragms	StagedConst	Min	-860	0	0
171	171	I-End	Girders and Diaphragms	StagedConst	Max	-589	0	0
171	171	J-End	Girders and Diaphragms	StagedConst	Max	-589	0	0
171	171	I-End	Girders and Diaphragms	StagedConst	Min	-589	0	0
171	171	J-End	Girders and Diaphragms	StagedConst	Min	-589	0	0
177	177	I-End	Girders and Diaphragms	StagedConst	Max	-771	0	0
177	177	J-End	Girders and Diaphragms	StagedConst	Max	-771	0	0



<b>ANAS S.p.A.</b> S.S. 389 TRONCO VILLANOVA – LANUSEI – TORTOLI LOTTO BIVIO VILLAGRANDE – SVINCOLO DI ARZANA DAL Km 51+100,00 DELLA S.S. 389 VAR AL Km 177+930,00 DELLA S.S. 389 <b>Viadotto VI02 - Relazione di calcolo impalcato</b>	File: T00_VI02_STR_RE01_A Data: Agosto 2020 Pag. 120 di 122
---	---

177	177	I-End	Girders and Diaphragms	StagedConst	Min	-771	0	0
177	177	J-End	Girders and Diaphragms	StagedConst	Min	-771	0	0
149	149	I-End	TRAFFICO CARATTERISTICO	LinMoving	Max	91	26	0
149	149	J-End	TRAFFICO CARATTERISTICO	LinMoving	Max	91	26	0
149	149	I-End	TRAFFICO CARATTERISTICO	LinMoving	Min	-1180	-31	0
149	149	J-End	TRAFFICO CARATTERISTICO	LinMoving	Min	-1180	-31	0
159	159	I-End	TRAFFICO CARATTERISTICO	LinMoving	Max	137	352	0
159	159	J-End	TRAFFICO CARATTERISTICO	LinMoving	Max	137	352	0
159	159	I-End	TRAFFICO CARATTERISTICO	LinMoving	Min	-2386	-178	0
159	159	J-End	TRAFFICO CARATTERISTICO	LinMoving	Min	-2386	-178	0
165	165	I-End	TRAFFICO CARATTERISTICO	LinMoving	Max	307	121	0
165	165	J-End	TRAFFICO CARATTERISTICO	LinMoving	Max	307	121	0
165	165	I-End	TRAFFICO CARATTERISTICO	LinMoving	Min	-2178	-107	0
165	165	J-End	TRAFFICO CARATTERISTICO	LinMoving	Min	-2178	-107	0
171	171	I-End	TRAFFICO CARATTERISTICO	LinMoving	Max	307	126	0
171	171	J-End	TRAFFICO CARATTERISTICO	LinMoving	Max	307	126	0
171	171	I-End	TRAFFICO CARATTERISTICO	LinMoving	Min	-1957	-125	0
171	171	J-End	TRAFFICO CARATTERISTICO	LinMoving	Min	-1957	-125	0
177	177	I-End	TRAFFICO CARATTERISTICO	LinMoving	Max	138	93	0
177	177	J-End	TRAFFICO CARATTERISTICO	LinMoving	Max	138	93	0
177	177	I-End	TRAFFICO CARATTERISTICO	LinMoving	Min	-2025	-79	0
177	177	J-End	TRAFFICO CARATTERISTICO	LinMoving	Min	-2025	-79	0
149	149	I-End	Wearing Surface	StagedConst	Max	-250	0	0
149	149	J-End	Wearing Surface	StagedConst	Max	-250	0	0
149	149	I-End	Wearing Surface	StagedConst	Min	-250	0	0
149	149	J-End	Wearing Surface	StagedConst	Min	-250	0	0
159	159	I-End	Wearing Surface	StagedConst	Max	-1059	0	0
159	159	J-End	Wearing Surface	StagedConst	Max	-1059	0	0
159	159	I-End	Wearing Surface	StagedConst	Min	-1059	0	0
159	159	J-End	Wearing Surface	StagedConst	Min	-1059	0	0
165	165	I-End	Wearing Surface	StagedConst	Max	-760	0	0
165	165	J-End	Wearing Surface	StagedConst	Max	-760	0	0
165	165	I-End	Wearing Surface	StagedConst	Min	-760	0	0
165	165	J-End	Wearing Surface	StagedConst	Min	-760	0	0
171	171	I-End	Wearing Surface	StagedConst	Max	-612	0	0
171	171	J-End	Wearing Surface	StagedConst	Max	-612	0	0
171	171	I-End	Wearing Surface	StagedConst	Min	-612	0	0
171	171	J-End	Wearing Surface	StagedConst	Min	-612	0	0
177	177	I-End	Wearing Surface	StagedConst	Max	-767	0	0
177	177	J-End	Wearing Surface	StagedConst	Max	-767	0	0
177	177	I-End	Wearing Surface	StagedConst	Min	-767	0	0
177	177	J-End	Wearing Surface	StagedConst	Min	-767	0	0

Lo spostamento massimo è dato dal contributo di:

- Spostamento relativo terreno deg

deg = è lo spostamento relativo tra le parti dovuto agli spostamenti relativi del terreno, da valutare secondo il §3.2.3.3 e §3.2.4.2 delle NTC ;

In favore di sicurezza deg = dij max =

<p>ANAS S.p.A.</p> <p>S.S. 389 TRONCO VILLANOVA – LANUSEI – TORTOLÌ</p> <p>LOTTO BIVIO VILLAGRANDE – SVINCOLO DI ARZANA</p> <p>DAL Km 51+100,00 DELLA S.S. 389 VAR AL Km 177+930,00 DELLA S.S. 389</p> <p><b>Viadotto VI02 - Relazione di calcolo impalcato</b></p>	<p>File: T00_VI02_STR_RE01_A</p> <p>Data: Agosto 2020</p> <p>Pag. 121 di 122</p>
---	--

$$d_{ij,max} = 1,25 \sqrt{d_{gi}^2 + d_{gj}^2}$$

Dove  $d_{gi}$  e  $d_{gj}$  sono gli spostamenti massimi del suolo nei punti  $i$  e  $j$ , calcolati con riferimento alle caratteristiche locali del sottosuolo:

$$d_g = 0,025 \cdot a_g \cdot S \cdot T_C \cdot T_D$$

Risulta  $d_{ij,max} = 3.5\text{cm}$

- Allungamento dovuto alla variazione termica

L'azione termica viene valutata secondo C5.1.4.5:

C5.1.4.5 VERIFICHE ALLO STATO LIMITE DI DEFORMAZIONE

Per la valutazione della domanda relativa alla componente cinematica dei vincoli e per il calcolo della dimensione dei varchi, ovvero della distanza tra costruzioni contigue in corrispondenza delle interruzioni strutturali, si potranno prendere in conto, oltre alle combinazioni sismiche, anche le combinazioni SLU delle altre azioni significative per il caso in esame (ritiro, viscosità, variazioni termiche, frenatura, azione centrifuga, vento, precompressione, ecc.).

I valori di progetto della variazione termica uniforme per la valutazione agli SLU della massima espansione/contrazione si possono esprimere come segue:

$$\Delta T_{exp,d} = \Delta T_{exp} + \Delta T_0 \quad [C5.1.3]$$

$$\Delta T_{con,d} = \Delta T_{con} + \Delta T_0 \quad [C5.1.4]$$

In cui:

$$\Delta T_{exp} = +T_{e,max} - T_0 \quad [C5.1.5]$$

$$\Delta T_{con} = -T_{e,min} + T_0 \quad [C5.1.6]$$

- $T_{e,max}$  e  $T_{e,min}$  sono rispettivamente la massima e minima temperatura uniforme del ponte ricavabili, come indicato nel Capitolo 6 delle UNI EN 1991-1-5, in funzione della  $T_{min}$  e  $T_{max}$  dell'aria esterna di cui al § 3.5 delle NTC.
- $T_0$  è la temperatura iniziale all'atto della regolazione degli appoggi del ponte di cui al § 3.5.4 delle NTC.
- $\Delta T_0$  è indicato nella tabella seguente.

$\Delta T_0 = 5^\circ\text{C}$ per strutture di c.a., c.a.p. e acciaio/cls	Installazione con la misurazione accurata della temperatura della struttura e con prerogolazione per effetti termici a fine costruzione.
$\Delta T_0 = 5^\circ\text{C}$ per strutture di acciaio	
$\Delta T_0 = 10^\circ\text{C}$ per strutture di c.a., c.a.p. e acciaio/cls	Installazione con la stima della temperatura della struttura e

$\Delta T_0 = 15^\circ\text{C}$ per strutture di acciaio	con prerogolazione per effetti termici a fine costruzione. Per stima della temperatura della struttura si intende la valutazione secondo quanto indicato nel Capitolo 6 delle UNI EN 1991-1-5 con una accurata misura della temperatura dell'aria esterna.
$\Delta T_0 = 20^\circ\text{C}$ per strutture di c.a., c.a.p. e acciaio/cls	Installazione senza alcuna prerogolazione per effetti termici.
$\Delta T_0 = 30^\circ\text{C}$ per strutture di acciaio	

I valori caratteristici della variazione termica uniforme per la massima espansione/contrazione si possono esprimere con la seguente formulazione.

$$\Delta T_{exp,k} = \Delta T_{exp} \quad [C5.1.7]$$

$$\Delta T_{con,k} = \Delta T_{con} \quad [C5.1.8]$$

Da cui:

**Zona II**

Liguria, Toscana, Umbria, Lazio, Sardegna, Campania, Basilicata:

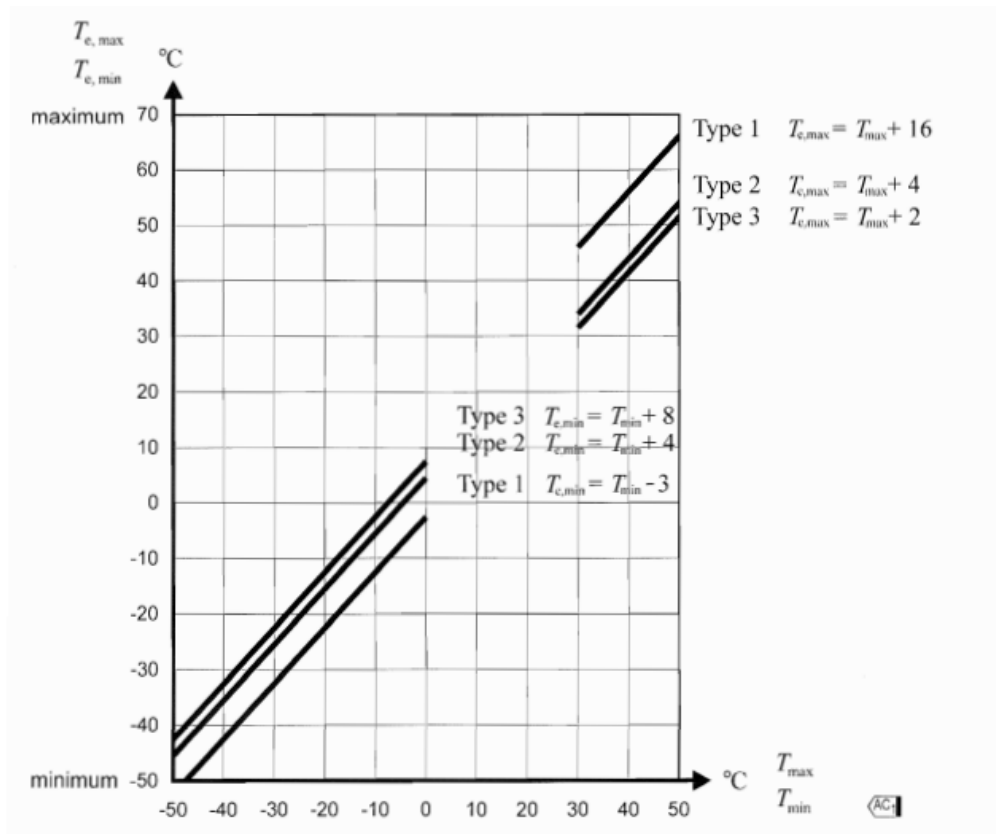
$$T_{\min} = -8 - 6 \cdot a_s / 1000 \quad [3.5.3]$$

$$T_{\max} = 42 - 2 \cdot a_s / 1000 \quad [3.5.4]$$

Tmin= -12.8°C

Tmax= 40.4°C

To=15°C



Te min= Tmin +4 = -8.8°C (type 2 composite deck)

Te max= Tmax +4 = 44.4°C (type 2 composite deck)

$\Delta T_{exp} = T_{e,max} - T_o = 25.4^\circ\text{C}$

$\Delta T_{con} = -T_{e,min} + T_o = 23.8^\circ\text{C}$

$\Delta T_{d,exp} = \Delta T_{exp} + \Delta T_o = 45.4^\circ\text{C}$  (in favore di sicurezza si adotta  $\Delta T_o = 20^\circ\text{C}$ )

$\Delta T_{d,con} = \Delta T_{con} + \Delta T_o = 43.8^\circ\text{C}$

$\alpha \cdot dT \cdot L = 1.2 \cdot 10^{-5} \cdot 45.4 \cdot 255\text{m} = 14\text{cm}$

<p style="text-align: center;">ANAS S.p.A. S.S. 389 TRONCO VILLANOVA – LANUSEI – TORTOLI LOTTO BIVIO VILLAGRANDE – SVINCOLO DI ARZANA DAL Km 51+100,00 DELLA S.S. 389 VAR AL Km 177+930,00 DELLA S.S. 389 <b>Viadotto VI02 - Relazione di calcolo impalcato</b></p>	<p>File: T00_VI02_STR_RE01_A Data: Agosto 2020 Pag. 123 di 124</p>
---	--

- Spostamento delle strutture

In direzione longitudinale lo spostamento della spalla è nullo; in direzione trasversale lo spostamento della pila è pari a 0.5cm.

Lo spostamento massimo in direzione longitudinale è dunque pari ad:

$$\text{MAX}(dT; dSisma+0.5dT)=\text{MAX}(14; 3.5+0.5*14)= 14\text{cm}$$

Lo spostamento massimo in direzione trasversale è dunque pari ad: 0.5cm

Si adotta un giunto con spostamento massimo di 280mm ( $\pm 140\text{mm}$ ).

## 9. GIUDIZIO MOTIVATO DI ACCETTABILITÀ

Si riportano i controlli effettuati confrontando modelli semplificati analitici di calcolo e risultati ottenuti dalle analisi FEM, in accordo a quanto prescritto al paragrafo 10.2 del “DM. 17/01/2018”.

Si controlla il taglio agente per carichi mobili sulla trave esterna:

Il taglio su una trave in corrispondenza della pila può essere calcolato come risultante del carico distribuito, per area di influenza, e del tandem in transito sull'appoggio della stessa:

$$V = [(9\text{kN/m}^2 \cdot 3\text{m} + 2.5 \cdot 10.7\text{m}) \cdot 60\text{m}] / 3 + 600 \text{ kN} = 1675 \text{ kN}$$

Dal calcolo risulta un taglio pari a 1786 kN confrontabile con quanto calcolato.

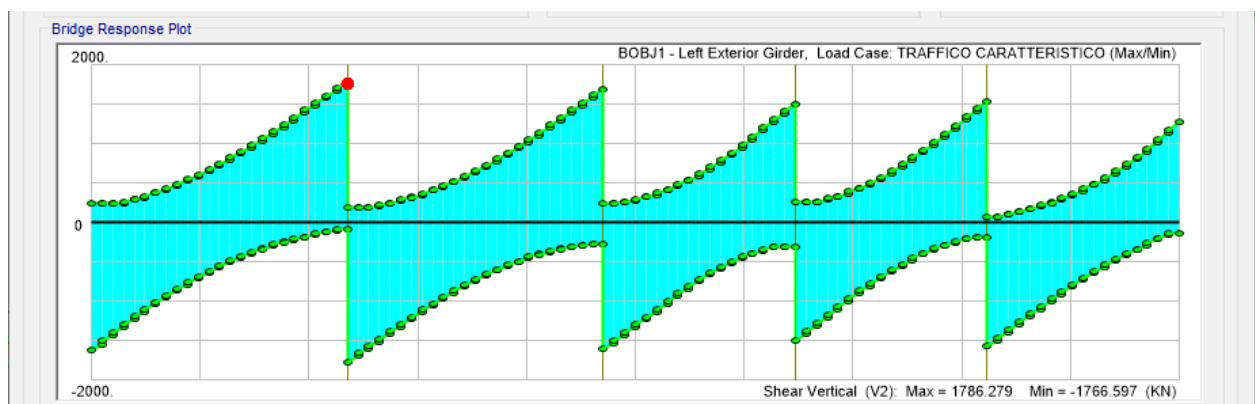


Figura 9.1 -. Taglio carichi mobili (kN)